

# **La Fisica Applicata ai Beni Culturali: l'effetto fotoelettrico per l'analisi non distruttiva di campioni di interesse storico-artistico**



**Giovanni BUCCOLIERI**

**e-mail: [giovanni.buccolieri@unisalento.it](mailto:giovanni.buccolieri@unisalento.it)**

**Università del SALENTO**

# Scopo delle indagini

- Conoscenza
- Conservazione
- Restauro

## L'effetto fotoelettrico (Einstein -1905)

Un raggio di luce consiste di piccoli pacchetti di energia chiamati **quanti di luce** o *fotoni*. L'energia di un fotone è proporzionale alla sua frequenza  $\nu$  secondo la relazione:

$$E=h\nu$$

**h** costante di **Planck** ( $6,626 \cdot 10^{-34}$  J·s).

Quando un fotone interagisce con la materia può trasferire la sua energia ad un elettrone: parte di tale energia, indicata con  $\phi$ , viene utilizzata dall'elettrone per vincere le forze che lo tengono legato e la rimanente costituisce l'energia cinetica dell'elettrone rimosso.

$$\text{Energia del fotone} = h\nu = \phi + \frac{1}{2} m_e v^2$$

Questo significa che il processo può avvenire a patto che:

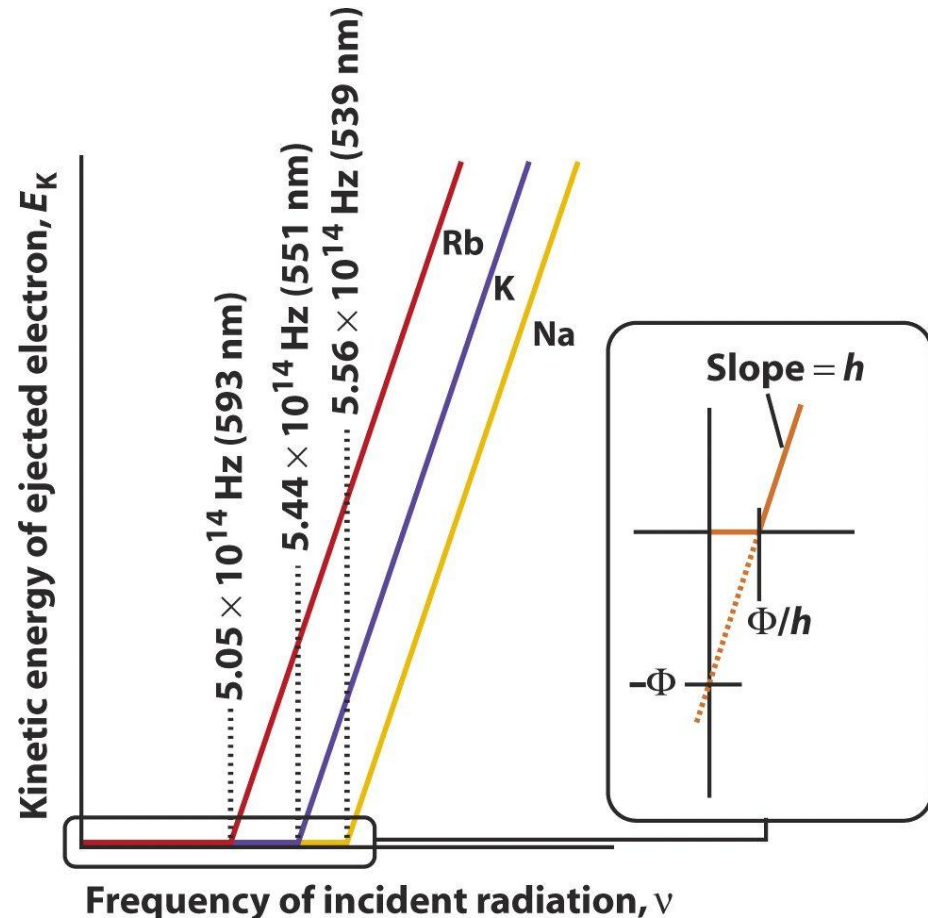
$$h\nu > \phi$$

# Effetto fotoelettrico

Se  $h\nu > \phi$ , aumentando la frequenza della luce gli elettroni che vengono emessi hanno energie cinetiche maggiori:

$$\frac{1}{2} m_e v^2 = h\nu - \phi = h\nu - h\nu_0 = h(\nu - \nu_0)$$

L'energia cinetica degli elettroni espulsi varia linearmente con la frequenza della radiazione incidente. I metalli che cedono più facilmente elettroni sono i *metalli alcalini* (I° gruppo). La luce rossa, avendo elevata lunghezza d'onda (bassa frequenza) produce effetto fotoelettrico nel rubidio (**Rb**) ma non nel sodio (**Na**).

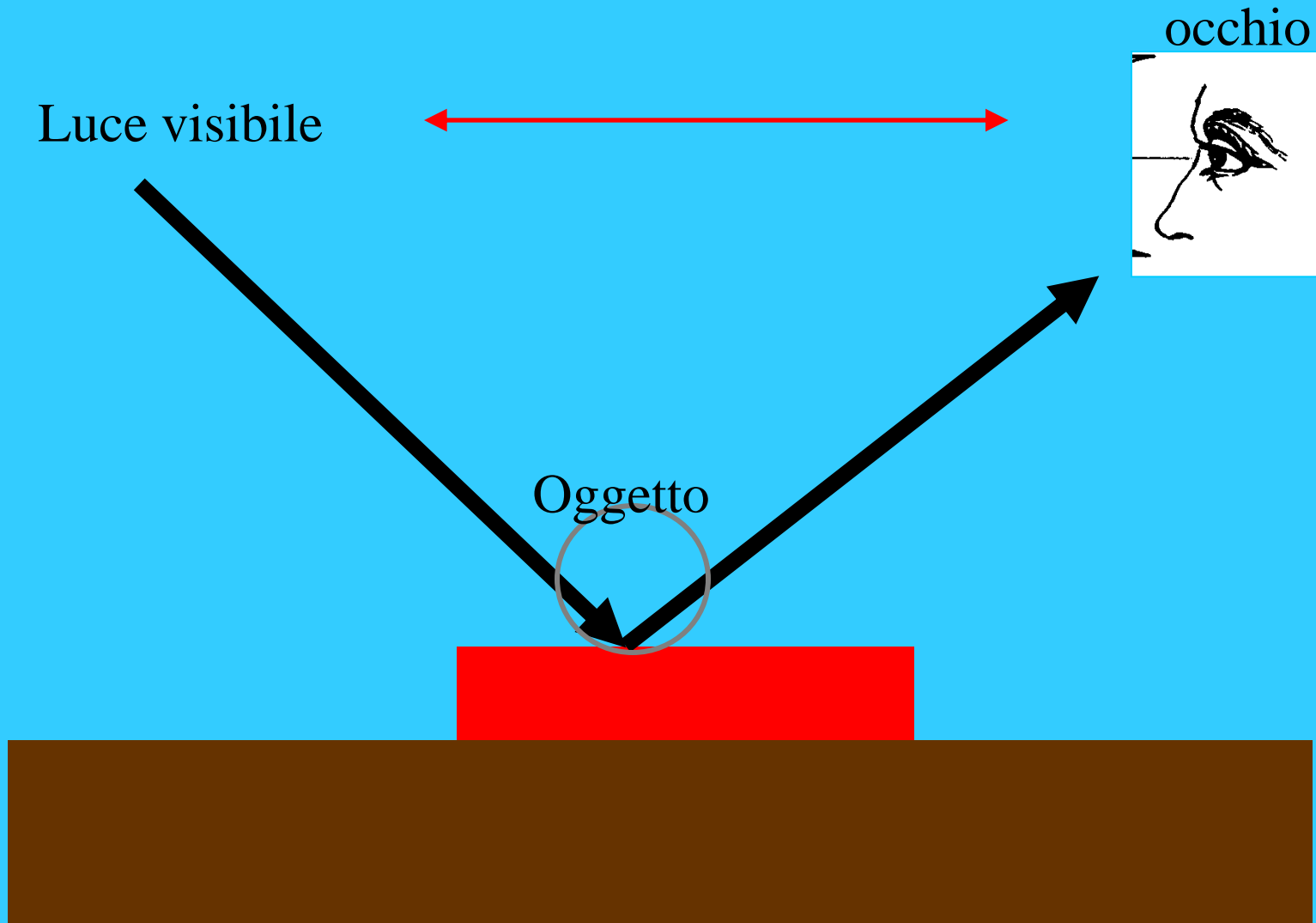


# Effetto fotoelettrico

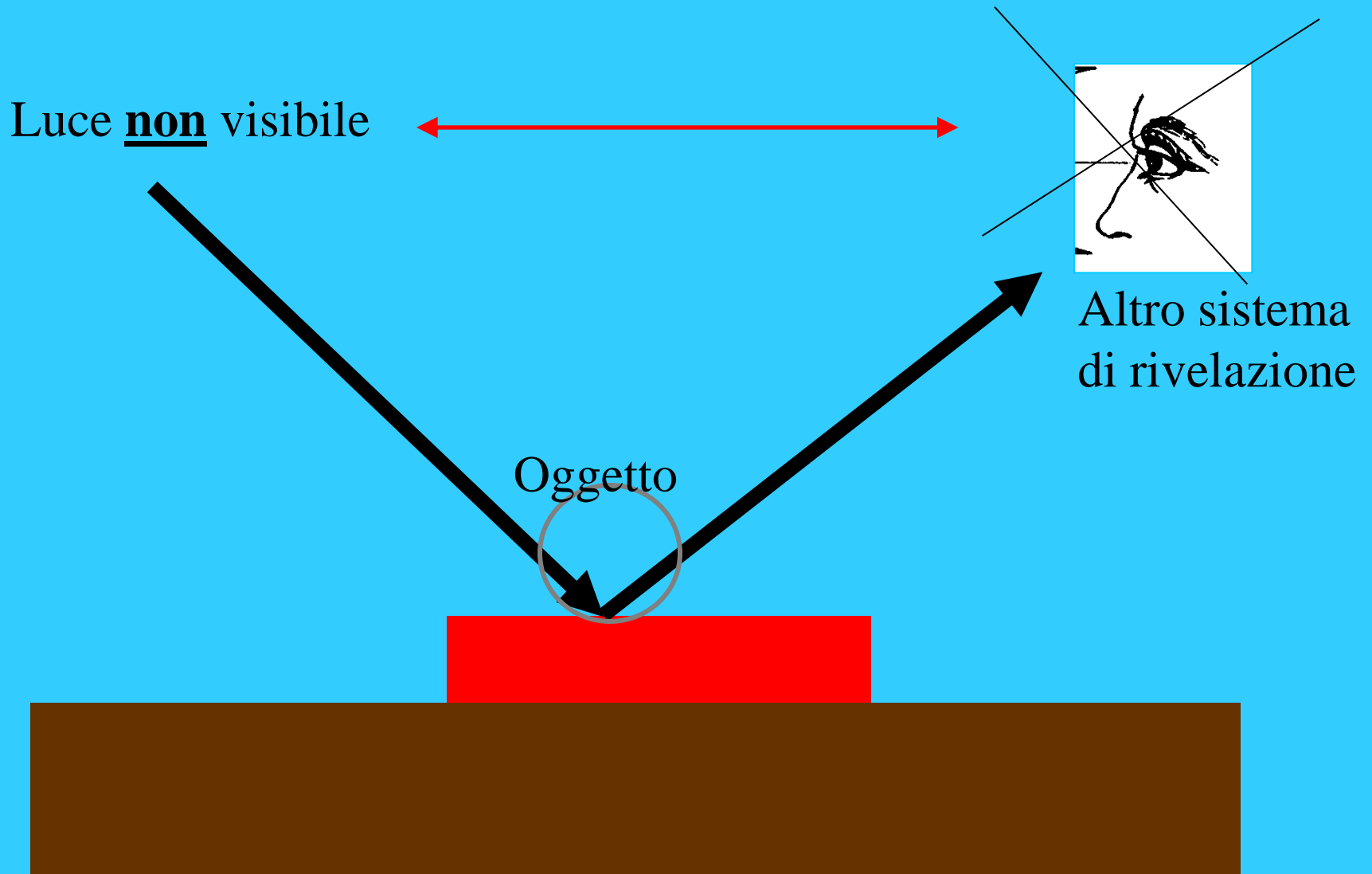
Aumentando l'energia della luce con cui illumino il campione è possibile rimuovere elettroni con energia di legame maggiore!

Cosa accade se uso luce ad energia ben più elevata di quella visibile?

# Osservare un oggetto



# Osservare un oggetto



# Osservare con raggi X

I raggi X sono radiazioni elettromagnetiche con energia comprese tra alcuni eV (eV=elettronvolt) e circa 100 keV. L'elettronvolt rappresenta l'unità di misura dell'energia (lavoro) più usata in fisica delle radiazioni.

Un eV è uguale al lavoro compiuto su una particella di carica  $e$  (carica dell'elettrone  $1.6 \cdot 10^{-19}$  C) quando viene spostata tra due punti la cui differenza di potenziale è pari ad 1 Volt.

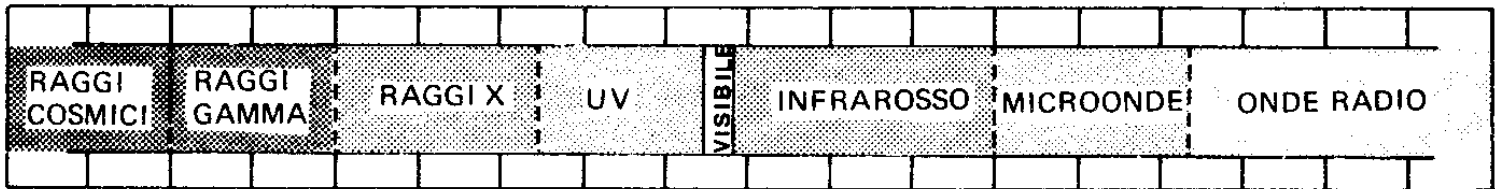
$$1\text{eV}=1.6 \cdot 10^{-19} \text{ J}$$

I raggi X sono prodotti dall'interazione con la materia di elettroni (o particelle cariche in generale) o fotoni (luce).

# Lo spettro elettromagnetico

LUNGHEZZA  
D'ONDA

m											1	10	10 <sup>2</sup>						
cm											1	10	10 <sup>2</sup>	10 <sup>3</sup>	10 <sup>4</sup>				
μm											1	10	10 <sup>2</sup>	10 <sup>3</sup>	10 <sup>4</sup>	10 <sup>5</sup>	10 <sup>6</sup>	10 <sup>7</sup>	10 <sup>8</sup>
nm	10 <sup>-5</sup>	10 <sup>-4</sup>	10 <sup>-3</sup>	10 <sup>-2</sup>	10 <sup>-1</sup>	1	10	10 <sup>2</sup>	10 <sup>3</sup>	10 <sup>4</sup>	10 <sup>5</sup>	10 <sup>6</sup>	10 <sup>7</sup>	10 <sup>8</sup>	10 <sup>9</sup>	10 <sup>10</sup>	10 <sup>11</sup>		



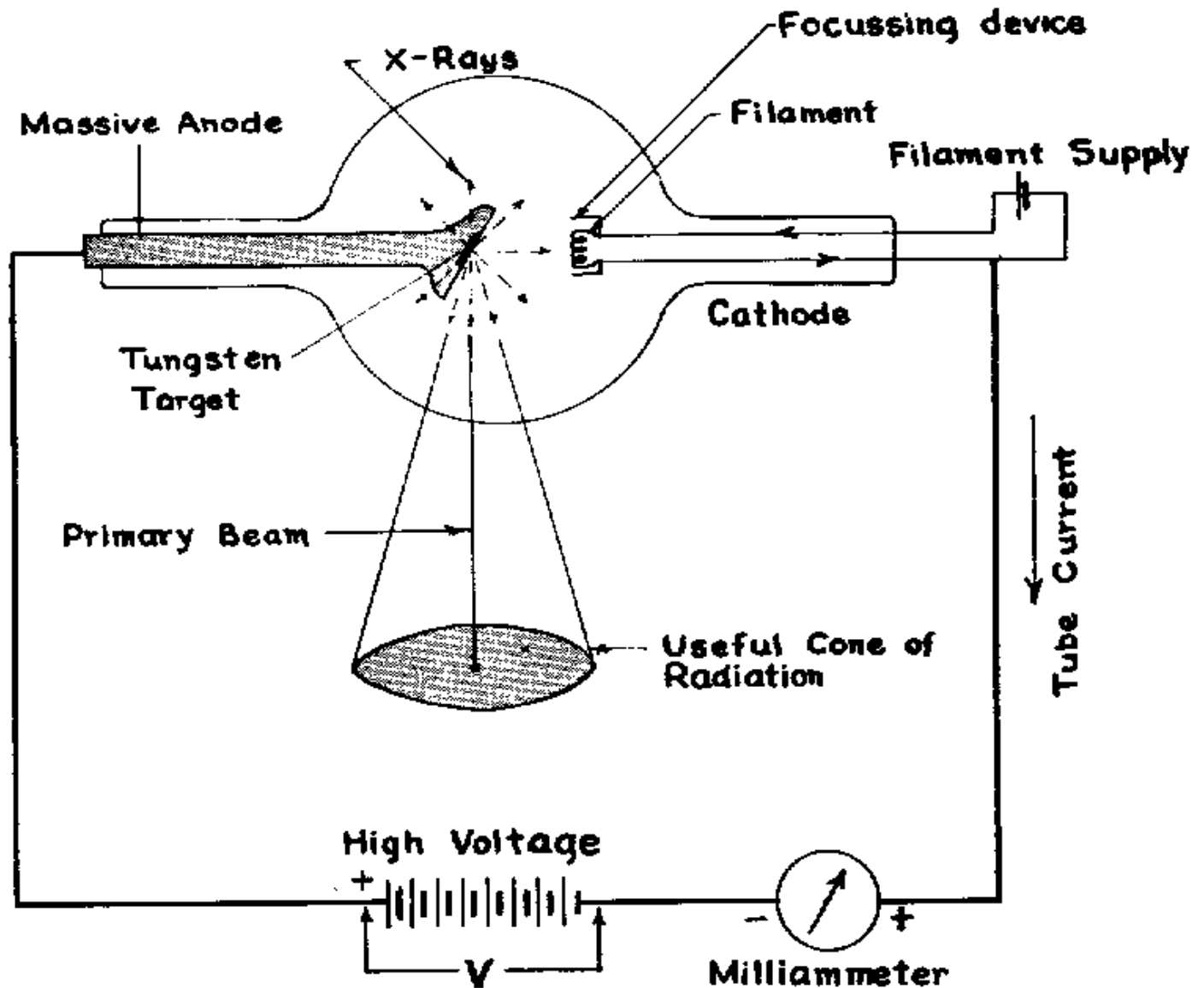
ENERGIA  
DEL FOTONE

Kcal/mole				28.7 · 10 <sup>4</sup>	28.7 · 10 <sup>2</sup>	28.7	28.7 · 10 <sup>-2</sup>	28.7 · 10 <sup>-4</sup>
eV				1.24 · 10 <sup>4</sup>	1.24 · 10 <sup>2</sup>	1.24	1.24 · 10 <sup>-2</sup>	1.24 · 10 <sup>-4</sup>

EFFETTO DELLA  
INTERAZIONE CON  
LA MATERIA

TRANSIZIONI NUCLEARI	TRANSIZIONI ELETTRONICHE		VIBRAZIONI MOLECOLARI	ROTAZIONI MOLECOLARI	ORIENTAZIONE DI SPIN NUCLEARI ED ELETTRONICI
	ELETTRONI INTERNI	ELETTRONI ESTERNI			

# Tubo a raggi X



## Interazione tra materia ed elettroni accelerati



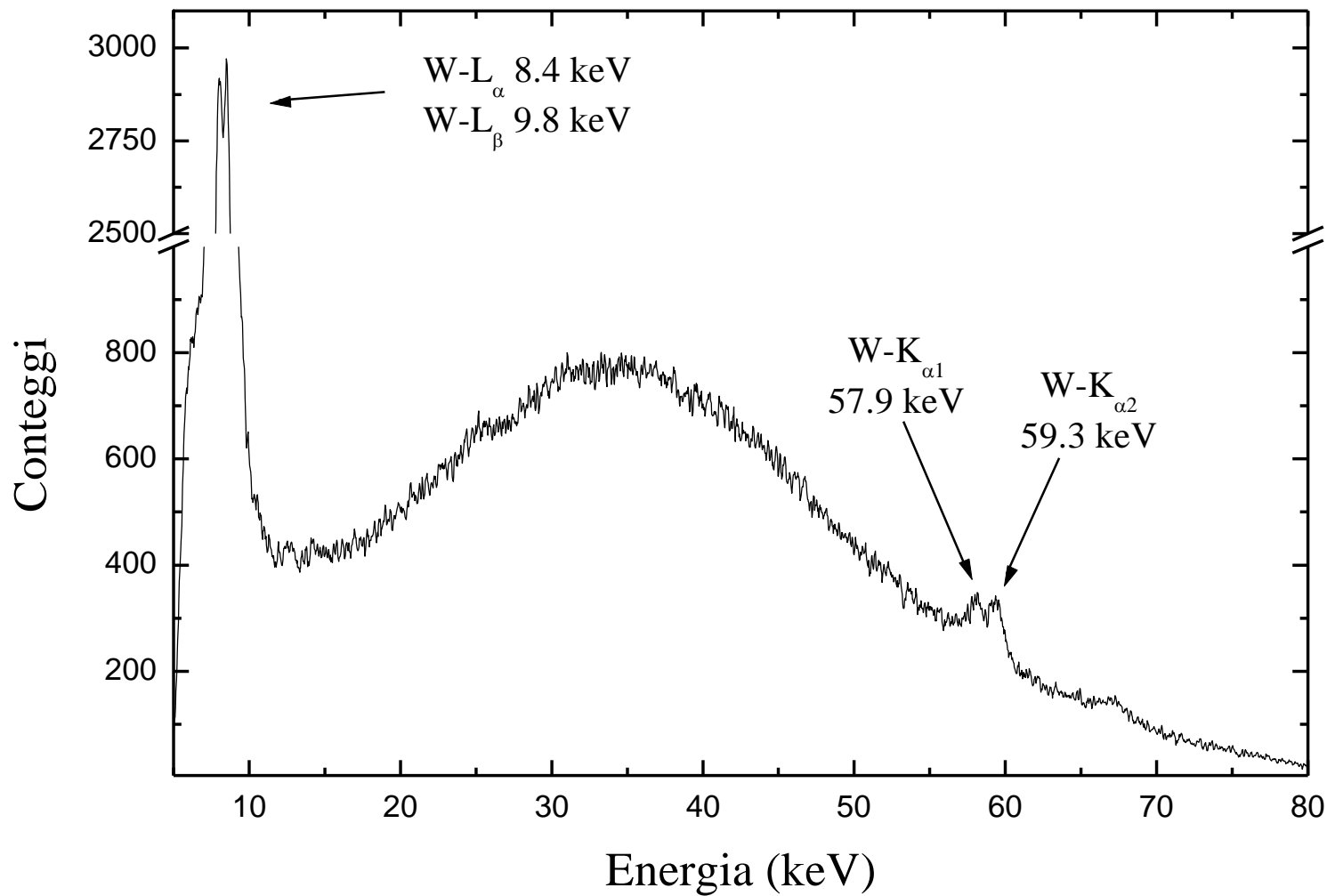
### Produzione di raggi X

Meccanismi attraverso i quali l'elettrone perde energia:

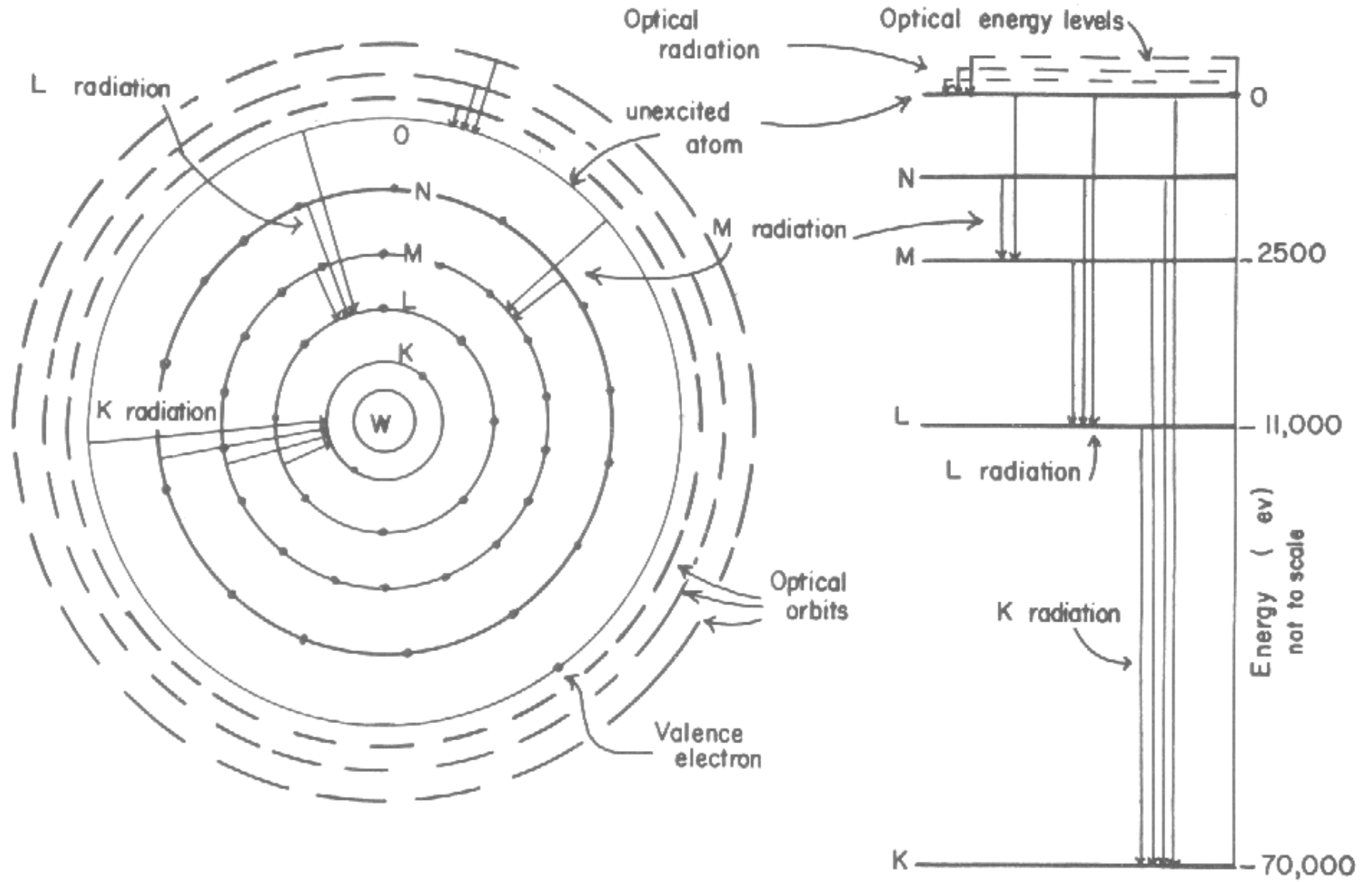
- 1.** l'elettrone eccita un atomo della sostanza colpita spostando un elettrone su un orbitale ottico. L'atomo torna poi allo stato fondamentale con emissione di radiazione nel visibile (perdita di energia di qualche eV);
- 2.** l'elettrone ionizza l'atomo rimuovendo un elettrone esterno (perdita di energia di centinaia di eV);
- 3.** l'elettrone interagisce con un elettrone interno della sostanza colpita (shell K o L) con relativa espulsione di quest'ultimo (con energia cinetica  $E_C$ ). Se  $W_{KL}$  indica l'energia di legame dell'elettrone all'orbita K o L, l'energia richiesta per il processo è  $E_C + W_{KL}$ . Un elettrone più esterno va a sostituire quello espulso con emissione della radiazione caratteristica della sostanza colpita;
- 4.** l'elettrone interagisce con il nucleo atomico: in questo caso l'elettrone orbita parzialmente intorno al nucleo e perde energia per decelerazione con produzione di una banda di lunghezza d'onda continuamente variabile il cui limite inferiore è determinato dalla energia degli elettroni incidenti (bremsstrahlung).

Quando dei fotoni interagiscono la materia i fenomeni **1, 2 e 3** continuano a verificarsi (interazione luce - materia)

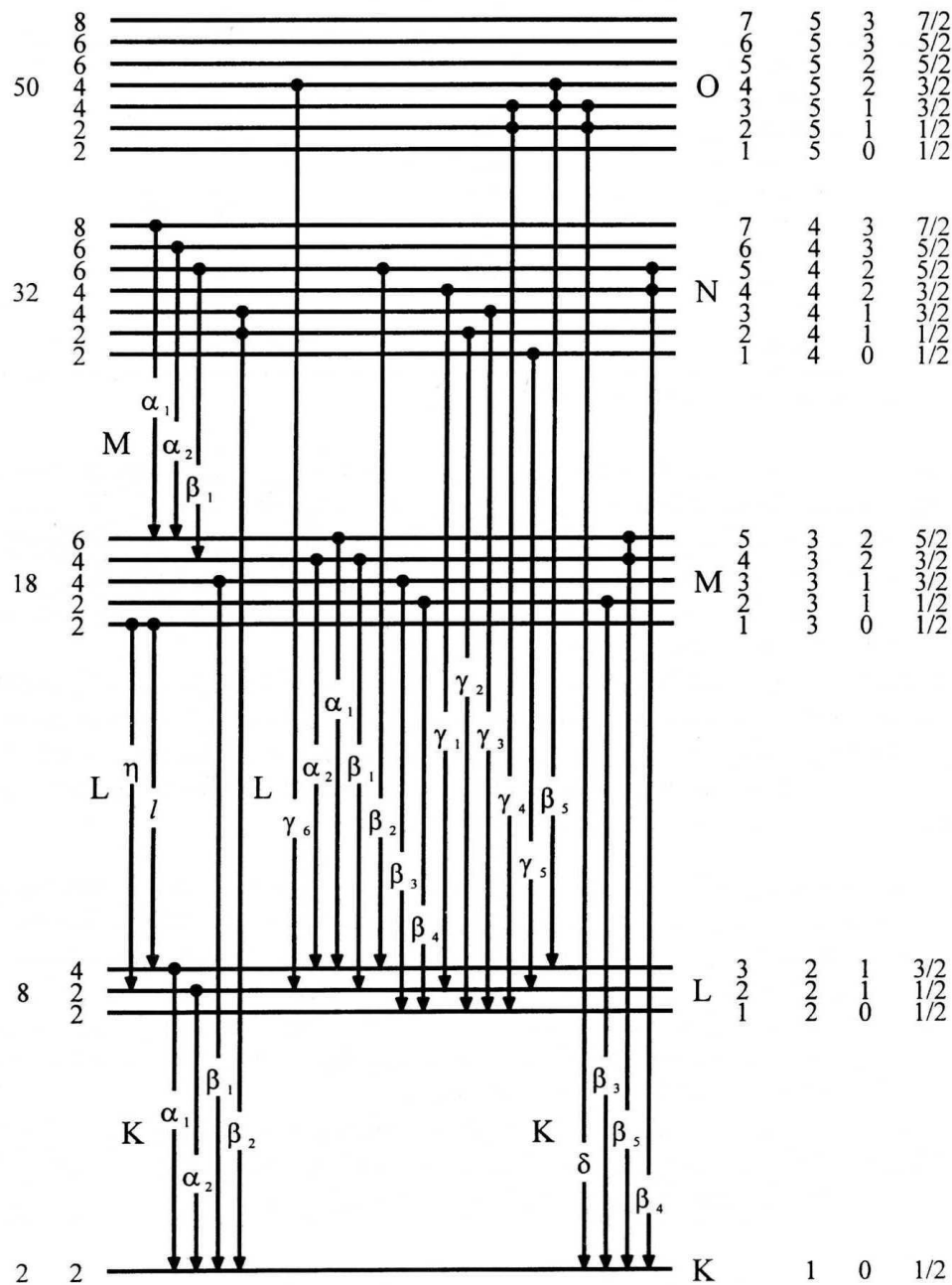
# Spettro prodotto da un tubo a raggi X con anodo di tungsteno alimentato a 80 kV



# Atomo tungsteno



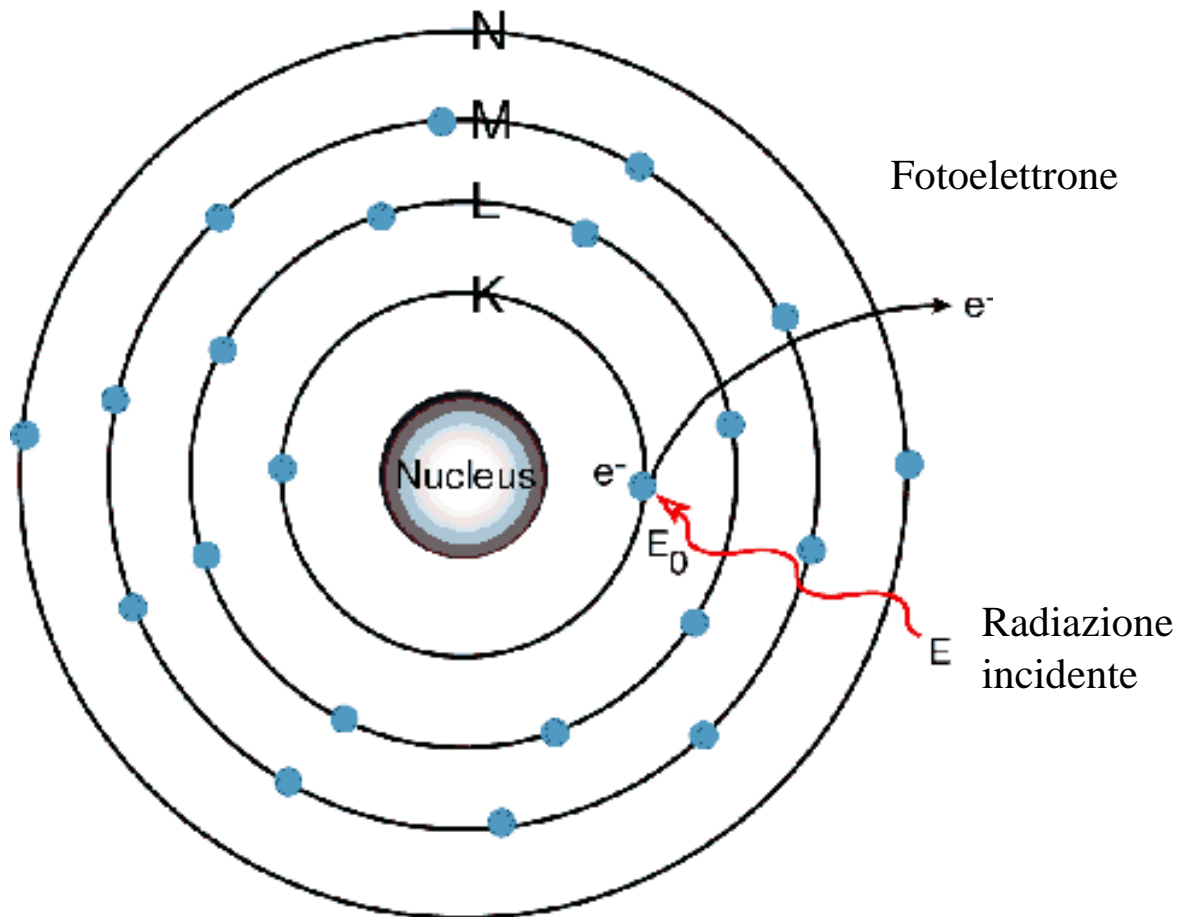
Number of electrons



Label	Orbital	eV
K	<a href="#">1s</a>	69525
L <sub>I</sub>	<a href="#">2s</a>	12100
L <sub>II</sub>	<a href="#">2p<sub>1/2</sub></a>	11544
L <sub>III</sub>	<a href="#">2p<sub>3/2</sub></a>	10207
M <sub>I</sub>	<a href="#">3s</a>	2820
M <sub>II</sub>	<a href="#">3p<sub>1/2</sub></a>	2575
M <sub>III</sub>	<a href="#">3p<sub>3/2</sub></a>	2281
M <sub>IV</sub>	<a href="#">3d<sub>3/2</sub></a>	1949
M <sub>V</sub>	<a href="#">3d<sub>5/2</sub></a>	1809
N <sub>I</sub>	<a href="#">4s</a>	594.1
N <sub>II</sub>	<a href="#">4p<sub>1/2</sub></a>	490.4
N <sub>III</sub>	<a href="#">4p<sub>3/2</sub></a>	423.6
N <sub>IV</sub>	<a href="#">4d<sub>3/2</sub></a>	255.9
N <sub>V</sub>	<a href="#">4d<sub>5/2</sub></a>	243.5
N <sub>VI</sub>	<a href="#">4f<sub>5/2</sub></a>	33.6
N <sub>VII</sub>	<a href="#">4f<sub>7/2</sub></a>	31.4
O <sub>I</sub>	<a href="#">5s</a>	75.6]
O <sub>II</sub>	<a href="#">5p<sub>1/2</sub></a>	45.3
O <sub>III</sub>	<a href="#">5p<sub>3/2</sub></a>	36.8

# Fluorescenza a raggi X

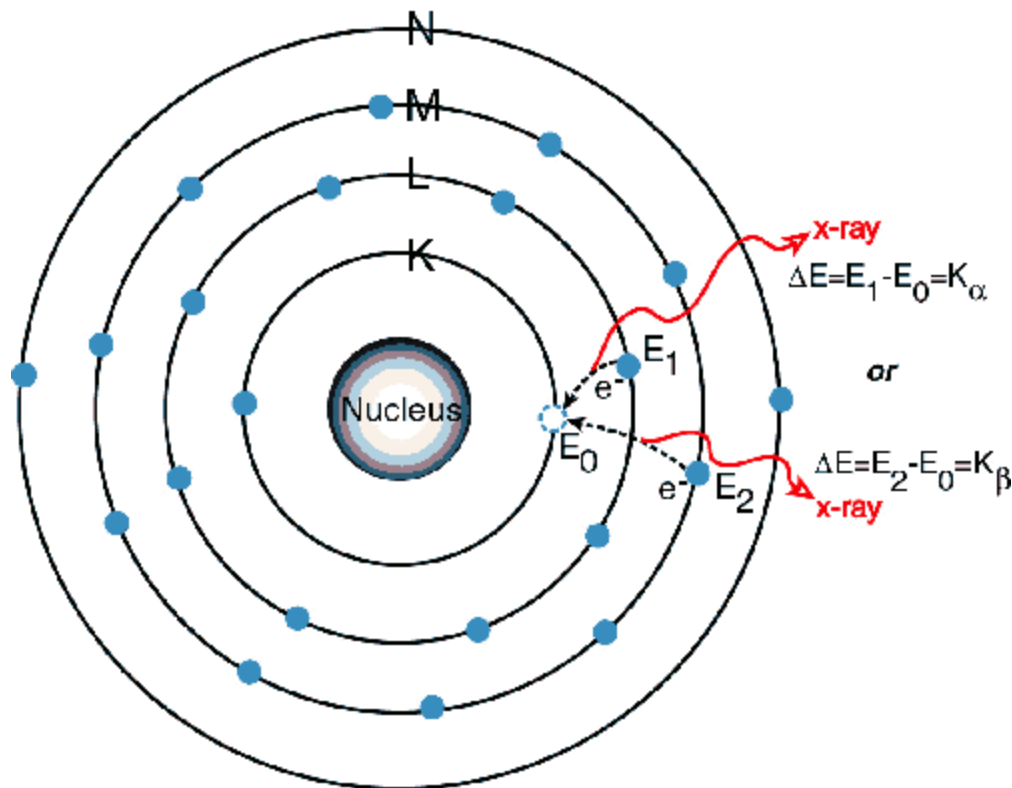
I raggi X, se di sufficiente energia, possono interagire con la materia rimuovendo elettroni interni (shell K, L o M)



# Fluorescenza a raggi X

L'elettrone rimosso è poi sostituito da uno più esterno.

Tale processo è accompagnato dall'emissione di un fotone caratteristico dell'atomo bersaglio



# “Campioni analitici”

Basilica Santa Croce-Lecce

“Perseo” di Benvenuto Cellini - Firenze

L'altare d'oro di Sant'Ambrogio -Milano

Affreschi di Piero della Francesca - Arezzo

Affreschi della scuola Mitrea - Basilica Inferiore di San Clemente - Roma

Cappella degli Scrovegni, Giotto - Padova

Apparato argenteo Basilica San Nicola - Bari

David di Michelangelo - Firenze

Affreschi di Raffaello - Musei Vaticani

Statua bronzea S. Castromediano – Lecce

Chiesa di Santo Stefano – Soleto (LE)

Opera in cartapesta “Madonna con Bambino” Iacopo Sansovino, Museo di Budapest

“Bronzi di Riace” Reggio Calabria

# La Cappella degli Scrovegni

La cappella degli Scrovegni è una costruzione in mattoni di cui si ignora l'architetto. Fu commissionata da Enrico Scrovegni in suffragio dell'anima del padre Reginaldo, reso famoso da Dante che, nel canto XVII dell'*Inferno*, lo accusa di usura, e contemporaneamente per allontanare da se il rischio di andare incontro alla stessa sorte in quanto anche egli era in odore di usura. Infatti, nella scena del *Giudizio Universale*, Enrico, in penitenza, con il sacro dono restituisce simbolicamente quanto aveva lucrato con l'usura.

Iniziata nel 1303, la chiesa fu consacrata nel 1305, dedicata alla *Vergine Annunziata*, e inizialmente utilizzata come cappella funeraria.

La chiesa è caratterizzata da un'unica navata con volta a botte e dalla presenza di due altari laterali. Per affrescare l'interno della chiesetta Enrico Scrovegni chiamò Giotto, che in questo ciclo pittorico raggiunse la piena maturità della propria espressione artistica.



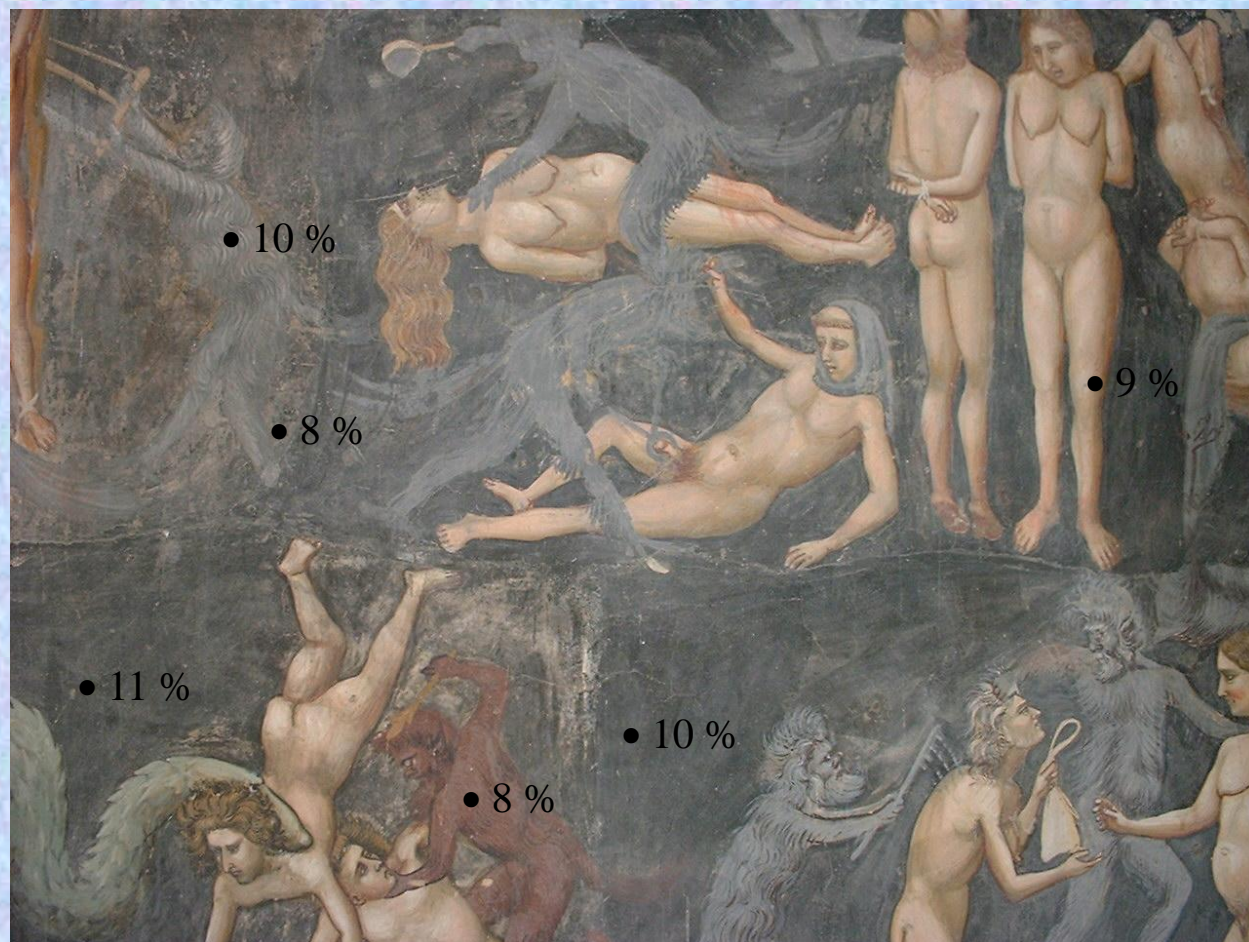
# Scopi delle misure

- Determinare il tenore di zolfo sulla superficie degli affreschi;
- Valutare se con opportuni trattamenti questo si riduceva o addirittura scompariva;
- Caratterizzare i pigmenti utilizzati da Giotto ed evidenziare quindi eventuali interventi di restauro.

La presenza dei composti di zolfo è correlata al degrado dell'opera d'arte e quindi la sua determinazione è alla base di ogni intervento di restauro

# Esempi di punti di misura

L'affresco del *Giudizio Universale* occupa l'intera controfacciata soprastante la porta principale. Alla destra della croce centrale si apre la voragine dell'inferno. Gran parte della parete è caratterizzata da un tenore di zolfo intorno al 10%. Nella figura sono indicati alcuni punti di misura.



# Esempi di punti di misura

Al contrario della controfacciata, la parete sinistra ed in particolare l'affresco *Cacciata dei mercanti dal tempio* è caratterizzata da valori molto bassi di zolfo (valori prossimi al limite di rivelabilità del metodo). Si comprende quindi la necessità di una campagna di misura prima di procedere ad eventuali trattamenti.

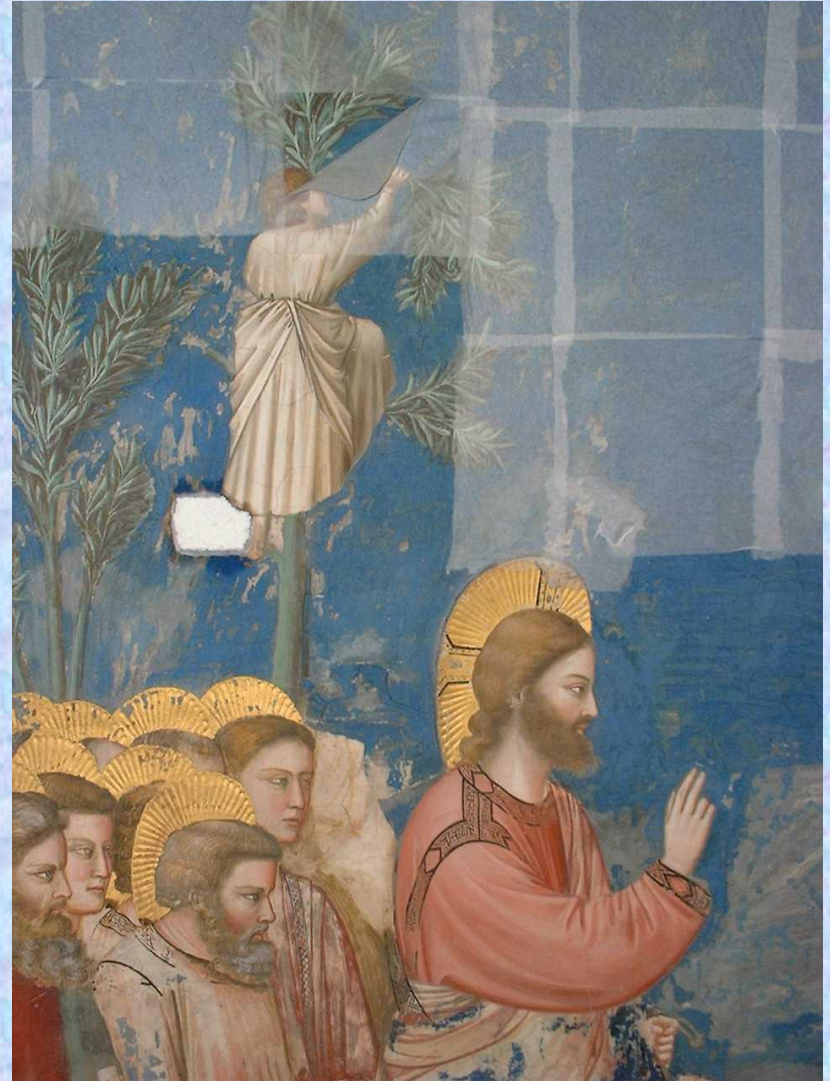


# Possibili trattamenti

In Figura (Entrata di Gesù a Gerusalemme) sono evidenti alcuni possibili trattamenti per l'eliminazione dei composti dello zolfo.

- In alto si possono vedere gli impacchi di carta giapponese.

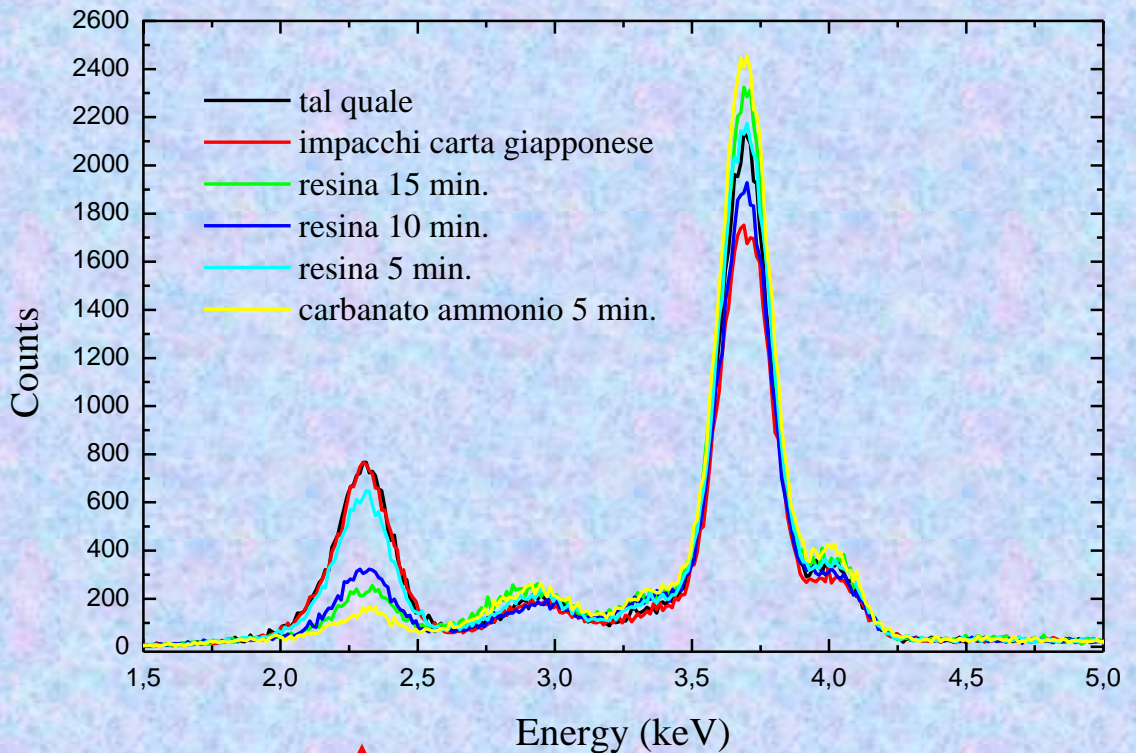
- La zona bianca (centro della foto in corrispondenza del piede dell'uomo sull'albero) corrisponde ad un trattamento con carbonato d'ammonio.



# Spettri relativi ai diversi processi di trattamento

Su una regione ad alto tenore di zolfo (circa il 13%) sono stati eseguiti 3 differenti processi di eliminazione dei solfati:

- mediante impacchi di polpa di carta con acqua calda deionizzata per 10 minuti (processo rilevatosi non adeguato);
- con resina a scambio anionico per 5, 10 e 15 minuti (lo zolfo è stato ridotto rispettivamente al 10%, 4% e 2% );
- con carbonato d'ammonio (riduzione all' 1/1.5%).





Con misure eseguite *in situ* è stato possibile:

- Valutare i diversi processi di pulitura;
- Indicarne i più idonei;
- Testare la pulitura;
- “Dare risposte” ad una serie direi infinita di domande.

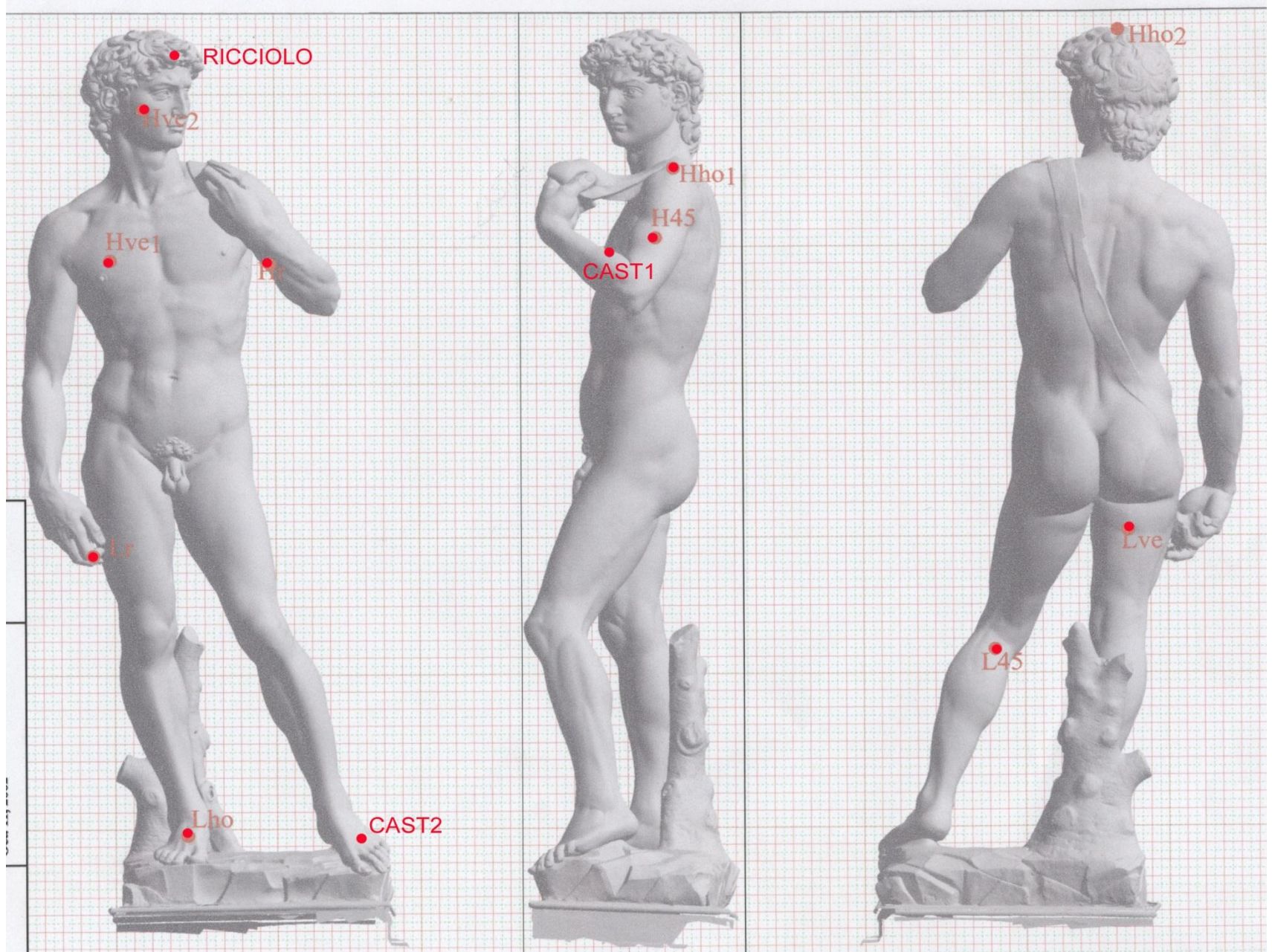
# Il David di Michelangelo



# Notizie sul David

- La statua, realizzata in marmo bianco e alta oltre 4 metri, fu eseguita da Michelangelo fra il 1501 e il 1504 e collocata in piazza della Signoria a Firenze. Il marmo non fu scelto da Michelangelo e la qualità è risultata scadente fino dalle sue origini.
- Nel 1512 un fulmine colpisce il basamento del David compromettendo la staticità dell'opera.
- Nel 1527 il braccio sinistro va in pezzi in occasione di sollevamenti popolari antimedicei: nel 1543 viene eseguita l'imperniatura dei pezzi frammentati.
- Nel 1813 Stefano Ricci eseguì il primo restauro documentato ripulendo e proteggendo la superficie marmorea con della cera stesa a caldo (encausto).
- Nel 1843 Aristodemo Costoli pulì il David con una soluzione di acido cloridrico al 50%.
- Nel 1847 Clemente Papi realizzò il calco del David: tale operazione può aver lasciato tracce di gesso ed altre sostanze. Inoltre, l'enorme peso dei tasselli ebbe conseguenze sulla già precaria situazione statica (perdita di coesione del basamento).
- Nel 1852 fu istituita la prima commissione incaricata di studiare le condizioni del David: fu osservato un profondo dilavamento che, nelle zone maggiormente battute dall'acqua, superava i 2 mm.
- Nel novembre del 1873 il David fu trasportato in Accademia: le condizioni del David risultavano visibilmente peggiori di quelle di altre statue coeve ed erano inoltre evidenti macchie di muffe.
- Nel 1991 il secondo dito del piede sinistro è danneggiato da un atto vandalico: per la ricostruzione è stata utilizzata resina e polvere di marmo.

# Punti di misura

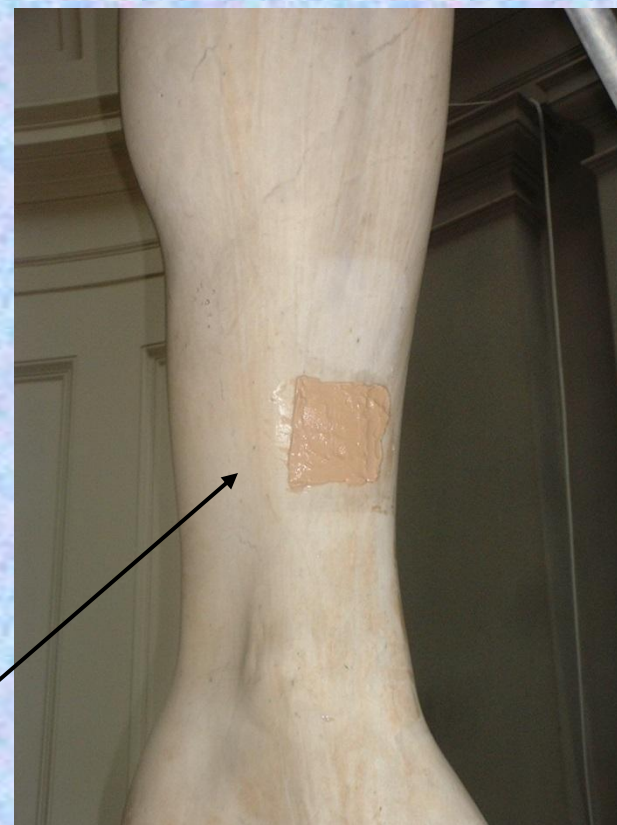
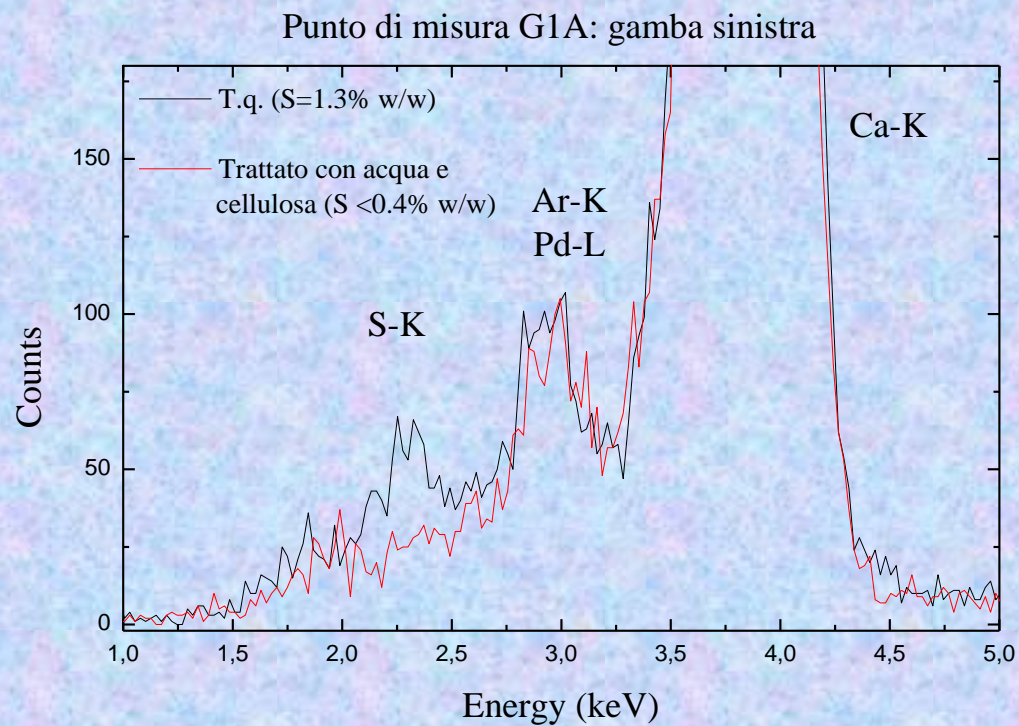


# Processi di desolforazione

Individuate zone ad elevato tenore di zolfo, sono state eseguite prove di pulitura al fine di testare i diversi processi di desolforazione:

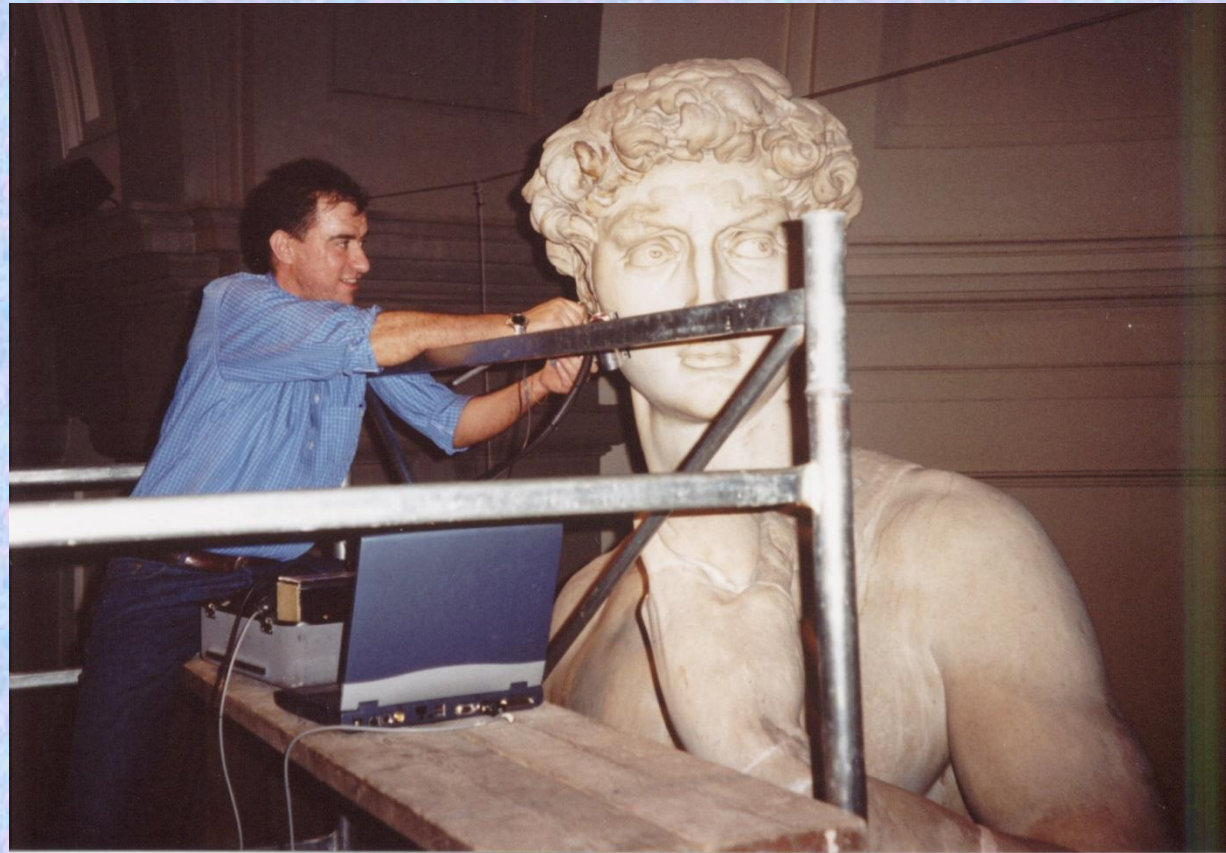
- Impacchi di carta giapponese con acqua distillata;
- Resina a scambio anionico (scambiano  $\text{SO}_4^{2-}$  con  $\text{OH}^-$ );
- Essenza di petrolio;
- Essenza di petrolio e acqua;
- Solvigel;
- Solvigel ed acqua.

# Processi di desolfurazione



# Risultati ottenuti

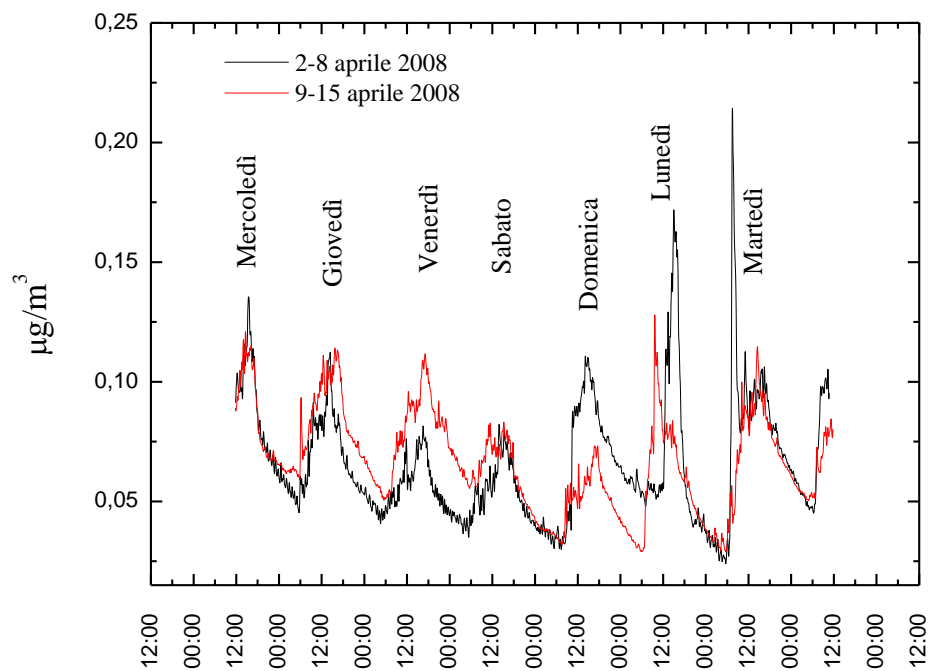
Le misure eseguite in situ hanno permesso di valutare “in corso d’opera” i diversi processi di pulitura indicandone quindi i più opportuni.



# Galleria dell'Accademia – Firenze



## Studio del particolato



# Il Perseo di Benvenuto Cellini

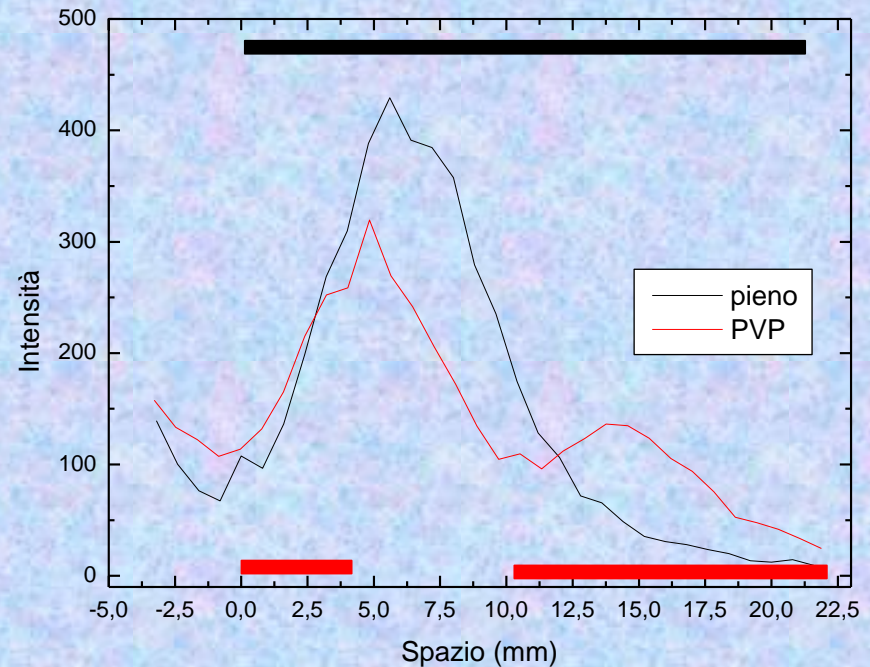
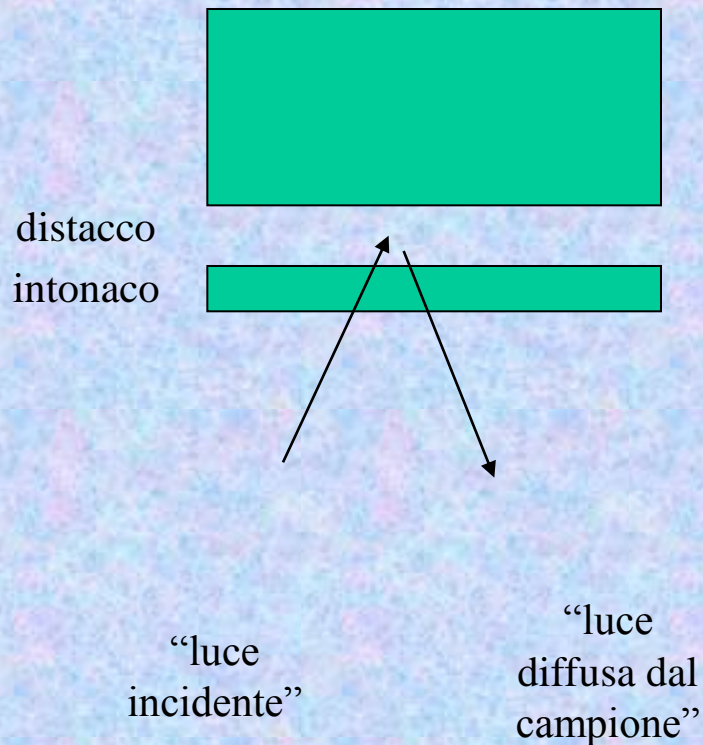




Gli affreschi di  
Piero della Francesca  
Arezzo

# Tomografia Compton

La produzione di “luce” Compton, da parte di un campione opportunamente “illuminato” dipende dalla densità del materiale impiegato e quindi in questo modo è possibile individuare e misurare i possibili distacchi dell’intonaci (affreschi).



# La tomografia Compton nella “Stanza di Eliodoro” affrescata da Raffaello (Musei Vaticani)



Gruppo di lavoro:

Prof. Cesareo - Università di Sassari;

Dr. Santamaria - responsabile restauri Musei Vaticani.

# **LA FLUORESCENZA A RAGGI X IN DISPERSIONE DI ENERGIA (EDXRF) PER LO STUDIO DELLA TELA “SAN FELICE IN TRONO” DI LORENZO LOTTO**

**Francesco ADDUCI<sup>a</sup>, Alessandro BUCCOLIERI<sup>b</sup>,  
Giovanni BUCCOLIERI<sup>b</sup>, Alfredo CASTELLANO<sup>b</sup>,  
Roberto CESAREO<sup>c</sup>, Fabrizio VONA<sup>d</sup>**

*<sup>a</sup> Università di Bari, Dipartimento di Fisica, via Orabona 4, 70125, Bari*

*<sup>b</sup> Università del Salento, Dipartimento di Scienza dei Materiali, via Monteroni, 73100, Lecce*

*<sup>c</sup> Università di Sassari, Dipartimento di Matematica e Fisica, via Vienna 2, 7100, Sassari*

*<sup>d</sup> Soprintendenza P.S.A.E. per le Province di Bari e Foggia, via Pier l'Eremita 25-B, 70122, Bari*

## *“San Felice in Trono”*

**Lorenzo Lotto (1542)**

Tela su tavola (cm. 139 x 57)

Chiesa di San Domenico a Giovinazzo (BA)





*Madonna Assunta e i santi Antonio abate e Ludovico da Tolosa (Pala di Asolo)*  
Olio su tavola, cm 175 x 162  
Asolo, duomo  
1506



*Madonna con il Bambino e santi (Pala Martinengo)*  
Olio su tavola, cm 520 x 250  
Bergamo, San Bartolomeo  
1513-1516



*Ritratto di Lucina Brembati*  
Olio su tavola,  
cm 52,6 x 44,8  
Bergamo, Accademia  
Carrara  
1518 circa



*Madonna con il Bambino e santi (Pala di Santo Spirito)*  
Olio su tela, cm 287 x 268  
Bergamo, Santo Spirito  
1521



*Madonna con il Bambino e santi (Pala di San Bernardino)*  
Olio su tela, cm 287 x 268  
Bergamo, San Bernardino  
in Pignolo  
1521



*Nozze mistiche di santa Caterina*  
Olio su tela,  
cm 189,3 x 134,3  
Bergamo, Accademia  
Carrara  
1523



*Trinità*  
Olio su tela,  
cm 170 x 115  
Bergamo, Sant'Alessandro  
della Croce  
1524 circa



*Sacra Famiglia con santa Caterina d'Alessandria*  
Olio su tela,  
cm 81,5 x 115,3  
Bergamo, Accademia  
Carrara  
1533



*Adorazione dei pastori*  
Olio su tela, cm 147 x 166  
Brescia, Pinacoteca Civica  
Tosio Martinengo  
1534 circa



*Madonna con il Bambino e santi (Madonna del Rosario)*  
Olio su tela, cm 384 x 264  
Cingoli, Pinacoteca Civica  
1539



*Susanna e i vecchioni*  
Olio su tavola, cm 66 x 51  
Firenze, Galleria degli Uffizi  
1517



*Deposizione nel sepolcro*  
Olio su tavola,  
cm 298 x 197  
Jesi, Pinacoteca Civica  
1512



*Pala di San Francesco al Monte*  
Olio su tavola,  
cm 85 x 160 e 155 x 160  
Jesi, Pinacoteca Civica  
1526



*Santa Lucia davanti al giudice*  
Olio su tavola,  
cm 243 x 237  
Jesi, Pinacoteca Civica  
1532



*Presentazione di Gesù al tempio*  
Olio su tela, cm 172 x 136,5  
Loreto, Delegazione  
Pontificia per il Santuario  
della Santa Casa  
1552-1556



*Ritratto di giovanetto*  
Olio su tavola,  
cm 34,5 x 27,5  
Milano, Museo d'Arte  
Antica del Castello  
Sforzesco, Pinacoteca  
1526 circa



*Ritratto di Febo da Brescia*  
Olio su tela, cm 82 x 78  
Milano, Pinacoteca di Brera  
1543-1544



*Ritratto di Laura da Pola*  
Olio su tela, cm 90 x 75  
Milano, Pinacoteca di Brera  
1543-1544



*Pietà*  
Olio su tela, cm 185 x 150  
Milano, Pinacoteca di Brera  
1545



*Crocifissione*  
Olio su tela, cm 425,5 x 248  
Monte San Giusto, Santa  
Maria in Telusiano  
1533-1534

## Italia



*Madonna con il Bambino e san Pietro martire*  
Olio su tavola, cm 55 x 88  
Napoli, Museo e Gallerie Nazionali di Capodimonte  
1503



*Ritratto di Bernardo de' Rossi*  
Olio su tavola,  
cm 54,7 x 41,3  
Napoli, Museo e Gallerie Nazionali di Capodimonte  
1505



*Polittico dei santi Vincenzo e Alessandro*  
Olio su tavola  
Ponteranica, Santi Vincenzo e Alessandro  
1525 (?)



*Polittico di Recanati*  
Olio su tavola  
Recanati, Pinacoteca Civica  
1506-1508



*Annunciazione*  
Olio su tela, cm 166 x 114  
Recanati, Pinacoteca Civica  
1534 circa



*Madonna con il Bambino, un santo vescovo e sant'Onofrio*  
Olio su tavola, cm 53 x 67  
Roma, Galleria Borghese  
1508



*San Gerolamo*  
Olio su tavola, cm 80,5 x 61  
Roma, Museo Nazionale di Castel Sant'Angelo  
1509 circa



*Madonna con Gesù Bambino e santi (Nozze mistiche di santa Caterina)*  
Olio su tela, cm 98 x 115  
Roma, Galleria Nazionale d'Arte Antica  
1524



*Ritratto di gentiluomo (Autoritratto?)*  
Olio su tela, cm 118 x 105  
Roma, Galleria Borghese  
1535 circa



*Cristo Vite e Storie di santa Barbara*  
Affresco, cm 356 x 812  
Trescore Balneario, Oratorio Suardi, parete nord  
1524

## Italia



*Pala di Santa Cristina*  
Olio su tavola, cm 90 x 179 e 177 x 162  
Santa Cristina di Quinto di Treviso, chiesa parrocchiale  
1504-1506



*San Nicola in gloria con san Giovanni Battista e santa Lucia*  
Olio su tela, cm 335 x 188  
Venezia, Santa Maria dei Carmini  
1527-1529



*Ritratto di giovane gentiluomo nello studio*  
Olio su tela, cm 98 x 111  
Venezia, Gallerie dell'Accademia  
1530 circa



*Elemosina di sant'Antonino*  
Olio su tela cm 332 x 235  
Venezia, Santi Giovanni e Paolo  
1540-1542

## Austria



*Ritratto di giovane con lucerna*  
Olio su tavola,  
cm 42,3 x 35,3  
Vienna, Kunsthistorisches Museum  
1506 circa



*Ritratto di gentiluomo con zampino di leone*  
Olio su tela, 95,5 x 69,5  
Vienna, Kunsthistorisches Museum  
1527 circa



*Madonna con il Bambino e i santi Caterina d'Alessandria e Tommaso*  
Olio su tela, cm 113,5 x 152  
Vienna, Kunsthistorisches Museum  
1528 circa



*Triplice ritratto di orefice*  
Olio su tela, cm 52,1 x 79,1  
Vienna, Kunsthistorisches Museum  
1530 circa

## Francia



*San Gerolamo*  
Olio su tavola, cm 48 x 40  
Parigi, Musée du Louvre  
1506



*Cristo portacroc*  
Olio su tela, cm 66 x 60  
Parigi, Musée du Louvre  
1526

# ....e il “San Felice in Trono”?

Francia



*Sacra Famiglia con angeli e santi*  
Olio su tela, cm 150 x 237  
Parigi, Musée du Louvre  
1536 circa

Germania



*Commiato di Cristo dalla Madre*  
Olio su tela, cm 126 x 99  
Berlino, Staatliche Museen zu Berlin, Preußischer Kulturbesitz, Gemäldegalerie  
1521

Gran Bretagna



*Madonna con il Bambino e i santi Gerolamo, Pietro, Chiara e Francesco*  
Olio su tavola, cm 82 x 105  
Edimburgo, National Gallery of Scotland  
1505 circa



*Ritratto di Giovanni Agostino della Torre con il figlio Niccolò*  
Olio su tela, cm 85 x 68,2  
Londra, National Gallery  
1515



*Ritratto di gentildonna in veste di Lucrezia*  
Olio su tela, cm 95,9 x 110,5  
Londra, National Gallery  
1533 circa



*Ritratto di Andrea Odoni*  
Olio su tela, cm 104 x 116,6  
Windsor Castle, Royal Collections  
1527

Russia



*Ritratto di coniugi*  
Olio su tela, cm 96 x 116  
San Pietroburgo, The State Hermitage Museum  
1524 circa

Spagna



*Ritratto di Marsilio Cassotti e della sua sposa Faustina*  
Olio su tavola, cm 71 x 84  
Madrid, Museo Nacional del Prado  
1523

USA



*Allegoria della Virtù e del Vizio*  
Olio su tavola, cm 56,5 x 42,2  
Washington, National Gallery of Art  
1505



*Allegoria della Castità (Sogno di fanciulla)*  
Olio su tavola, 42,9 x 33,7  
Washington, National Gallery of Art  
1506 circa

- Il dipinto fu ritrovato da Bernard Berenson, che lo rese noto nella sua monografia dedicata a Lorenzo Lotto, edita a Londra nel 1905. Lo studioso ebbe modo di usufruire di alcuni documenti scoperti e pubblicati alcuni anni prima da P. Giannuzzi (1894), il quale aveva scoperto l'esistenza di un contratto intercorso tra il pittore veneto e un mercante barlettano di nome Alouise Catelan. Il mercante commissiona, infatti, al pittore un trittico destinato ad ornare la Cattedrale di Giovinazzo, da consegnarsi entro la fine dell'anno 1542.

- L'artista ricorda la commissione nel suo *Libro dei Conti*, vero e proprio giornale di bordo del pittore, ricchissimo di notizie sulla sua attività e sui suoi rapporti con la committenza. Lotto parlando del dipinto lo menziona, appunto, come destinato a “*li homeni di Iuvenazo*”. Il *San Felice* risulta essere l'unico scomparto di un polittico, scampato ad un terribile incendio che interessò la cattedrale giovinazzese, sede vescovile nel secolo XVI. Dal luogo originario l'opera finì, seguendo una storia a noi ignota, nell'attuale chiesa settecentesca dedicata a San Domenico, a Giovinazzo, dove fu rinvenuta tra mille insignificanze, da Berenson, sul finire del diciannovesimo secolo.

- Nell'edizione italiana, della sua monografia (1955), lo storico dell'arte inglese, così racconta l'emozione della scoperta: “*Trovandomi in Puglia nell'Aprile 1897, mi fermai a Giovinazzo per vedere cosa era accaduto di quel trittico e, dopo varie peripezie, trovai il solo pannello col San Felice fra gli oggetti di sbratto ammassati dietro l'altare maggiore (Tela cm. 139 x 57). Era allora in condizioni pietose: oggi ripulito mostra la caratteristica tipologia lottesca*”.

- Il trittico iniziale affiancava al San Felice, un Sant'Antonio da Padova e un San Nicola da Tolentino, ed era sormontato da una cimasa raffigurante il tradizionale “cristo pietoso”.

•Il dipinto si inserisce dunque in quel traffico (per la verità ad unico senso) di opere d'arte che a partire dalla fine del Trecento e che fino a tutto il Cinquecento, interessa il Veneto e le sponde della Puglia. Traffico che comprendeva, come ormai i vari e fitti studi sul settore hanno dimostrato, oltre al ben noto e nutrito numero di dipinti, anche sculture e opere di arte sontuaria.

•Nell'opera, Lorenzo Lotto allinea la figura del santo vegliardo seduto su di un alto trono, incassando la figura in uno spazio assai modesto, facendola quindi giganteggiare all'interno della composizione; quasi che l'artista avesse inteso sovrapporre e identificare – non senza una punta d'ironia – spazio illusorio del quadro e spazio materiale della tela. La cromia del dipinto è nutrita di quel particolarissimo impasto di tonalità ricche ma sommesse, caratteristiche proprio dell'ultima fase dell'artista.

•Il santo vescovo brandisce con la destra un pastorale di cristallo terminante in ricciolo d'oro, che corrisponde ad una tipologia consueta durante il Rinascimento. La figura regge con la mano sinistra la Bibbia, segnandone con l'anulare una pagina, utilizzando cioè il dito a mo' di segnalibro.

•Sul ricco piviale sono riconoscibili tra le figure ricamate lungo il bordo, due santi: **San Sebastiano** e **San Rocco**, rispettivamente sulla sinistra e sulla destra dello spettatore, che concludono in basso le decorazioni del piviale. Si tratta di due santi molto ricorrenti e legati, la cui iconografia è legata, per tradizione devozionale alle pestilenze e alle epidemie.

La loro presenza potrebbe far ipotizzare perciò anche un significato votivo del dipinto, legandolo, pertanto ad una particolare grazia ricevuta dal committente, oppure ad un più esteso e funesto evento in terra di Giovinazzo.

- La tela è stata restaurata, per la prima volta in data antecedente il 1919 come indicato da Adolfo Venturi, ma si ignorano i trattamenti eseguiti.
- L'unico restauro documentato risale al 1951 ad opera dell' *Istituto Centrale del Restauro*, Roma.

*“Alcuni sollevamenti di colore e numerosi ritocchi .... Alterazioni delle vernici rimesse. La lacca del suppedaneo risultava, prima della fissatura, solubile in acqua”*  
Ministero della Pubblica Istruzione, Bollettino ICR, 1951

La tela è stata analizzata mediante Fluorescenza a Raggi X in Dispersione di Energia (EDXRF) al fine di:

- identificare i principali pigmenti utilizzati dal Lotto (rosso, verde, blu, bianco e giallo);
- determinare zone di precedenti restauri.

# Strumentazione utilizzata



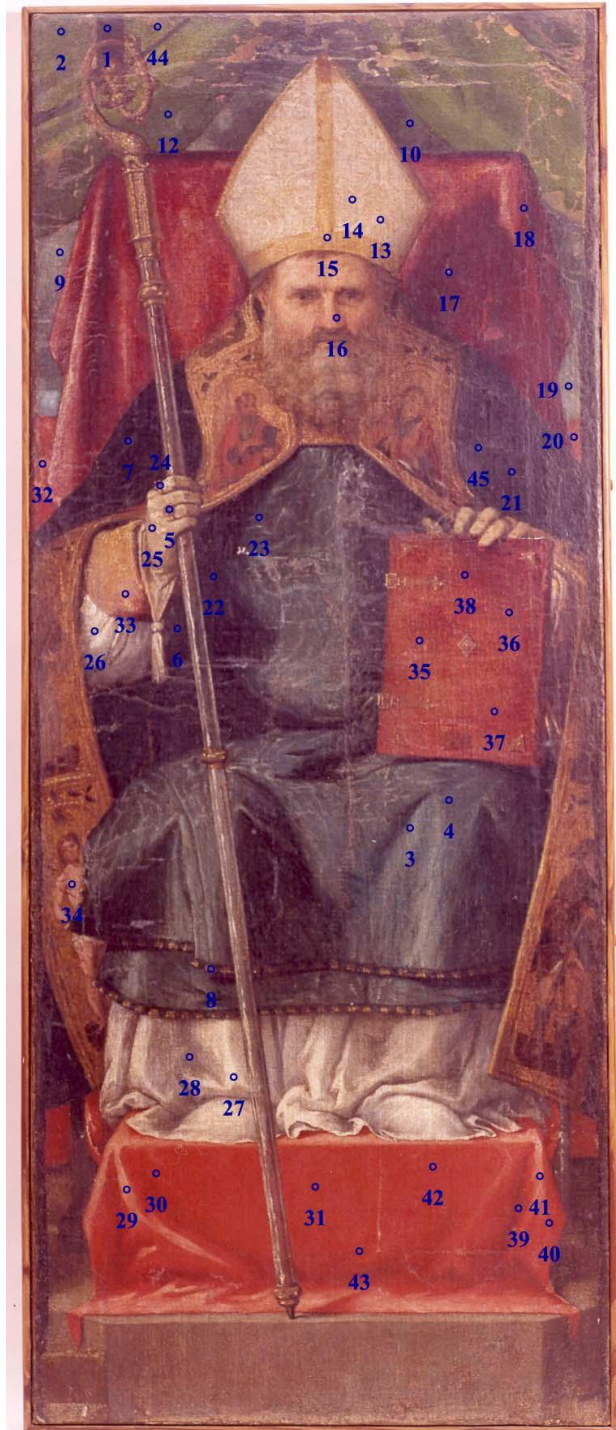
- Tubo a raggi X prodotto dalla OXFORD Instrument, con anodo di tungsteno operante a 30 kV e 5  $\mu$ A
- Rivelatore Si-PIN (mod. XR100T) prodotto dalla AMPTEK, raffreddato termoelettricamente, avente una finestra di Be da 25  $\mu$ m, con risoluzione di 190 eV at 5.9 keV
- Scheda multicanale prodotta dalla AMPTEK

# *PUNTI DI MISURA*

Pigmenti analizzati

- rossi
- verdi
- blu
- bianchi
- gialli

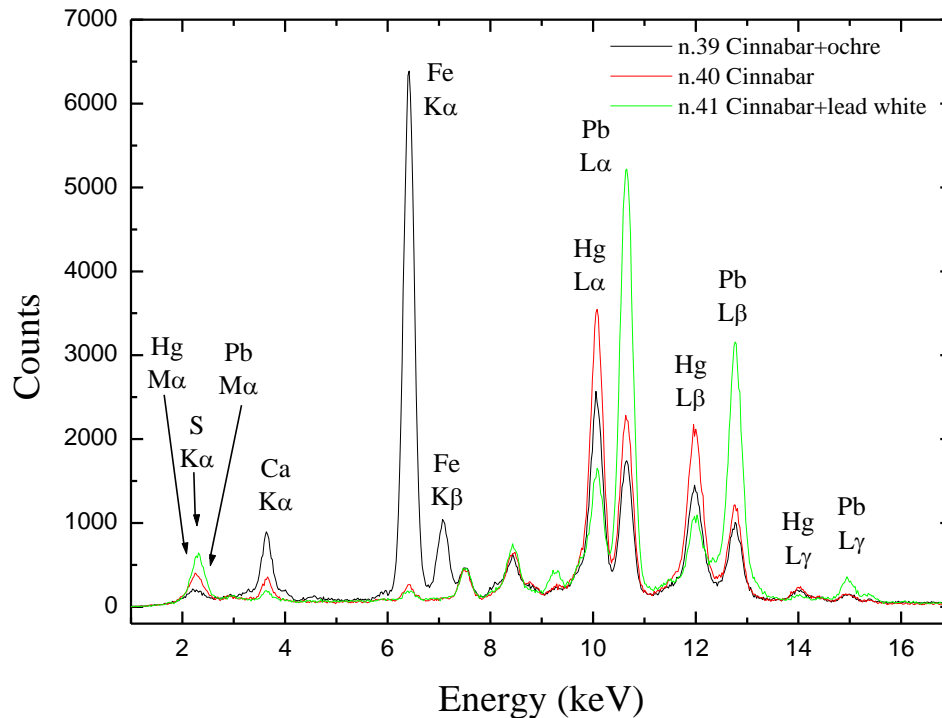
La presenza di piombo in tutti i pigmenti ha permesso di poter supporre una imprimitura dell'intera tela in bianco di biacca



# Pigmenti ROSSI

Sono stati individuati tre differenti rossi:

- Rosso costituito da Hg e S (cinabro): punti del suppedaneo (30, 31, 40, 42 e 43) e punti 32 e 20
- Rosso di Pb (minio): regioni 17 e 18
- Rosso contenente Fe, Hg e S (miscela di cinabro ed ocre rossa): zone 35 e 38



È interessante il confronto tra il rosso scuro della zona 39, il rosso della zona 40 ed il rosso chiaro della zona 41.

## •Zona 39

Presenza Fe, Hg ed S: miscela ocre rossa e cinabro

## •Zona 40

Presenza di Hg e Pb: Cinabro

## •Zona 41

Presenza di Pb, Hg: rosso chiaro ottenuto mescolando cinabro e biacca

# Pigmenti VERDI

Le zone di colore verde (2, 12, 19 e 44) sono caratterizzati principalmente dalla presenza di Cu: si tratta quindi probabilmente di malachite

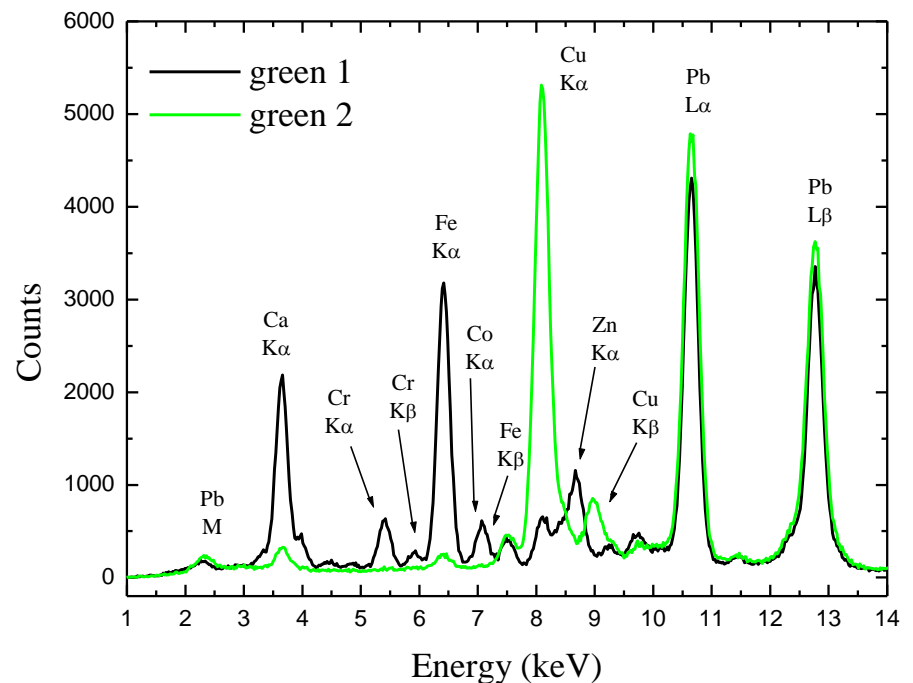


## Verde 1

Presenza di Fe (terra verde)

Tracce di Cr, Zn e Co: probabile presenza di ossido di cromo ( $\text{Cr}_2\text{O}_3$ ) e verde di cobalto ( $\text{CoO}$  n $\text{ZnO}$ ). Questi pigmenti, usati dal XIX secolo, confermano un intervento di restauro precedente al 1919.

La zona 1 manifesta un verde più scuro rispetto ai restanti: si tratta di una regione non trattata nel restauro dell'ICR del 1951 e perciò può conservare informazioni circa precedenti interventi.

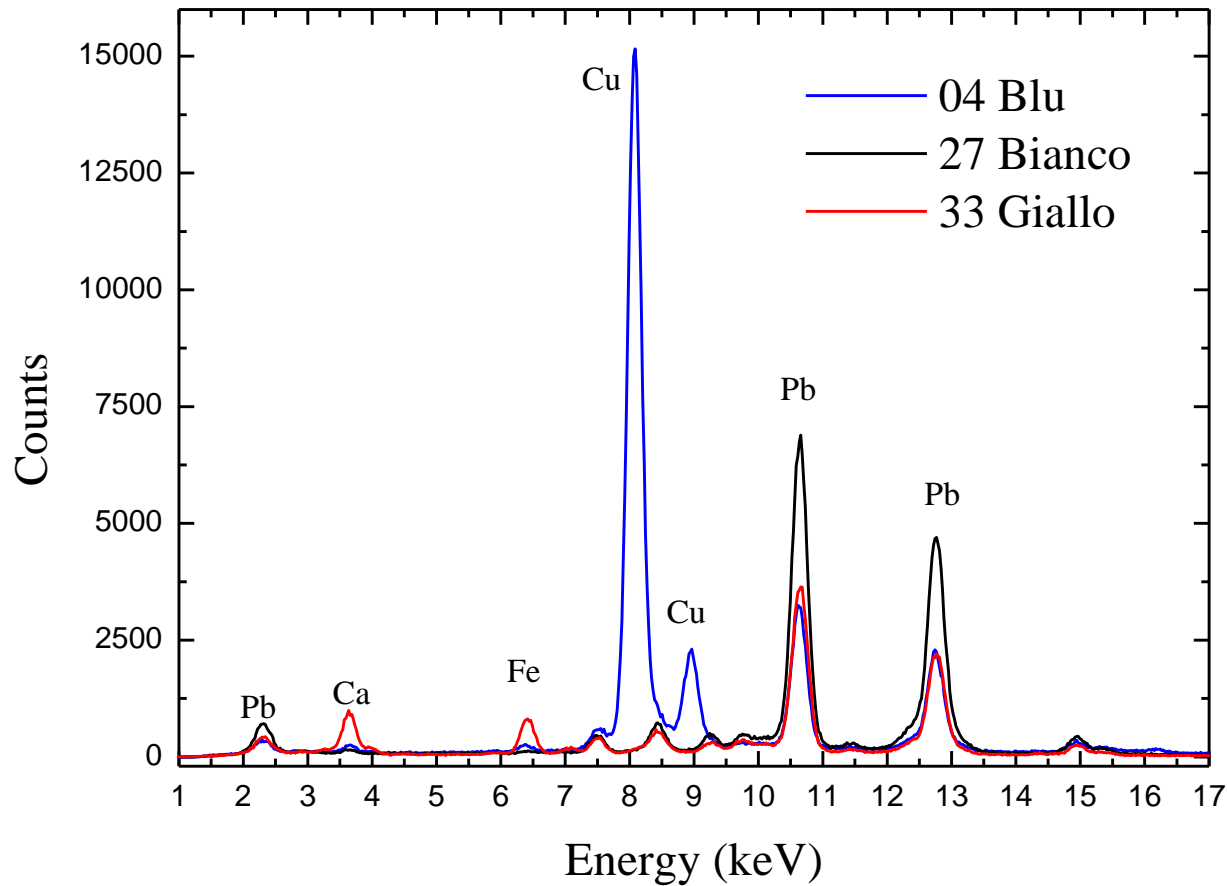


# ALTRI PIGMENTI

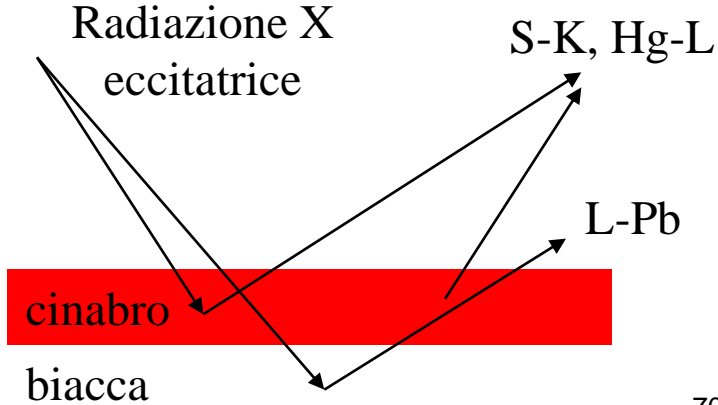
Pigmenti Blu: sono costituiti principalmente da Cu (azzurrite)

Pigmenti Bianchi: presenza di Pb (biacca)

Pigmenti Gialli: manifestano la presenza di Fe (ocra gialla)

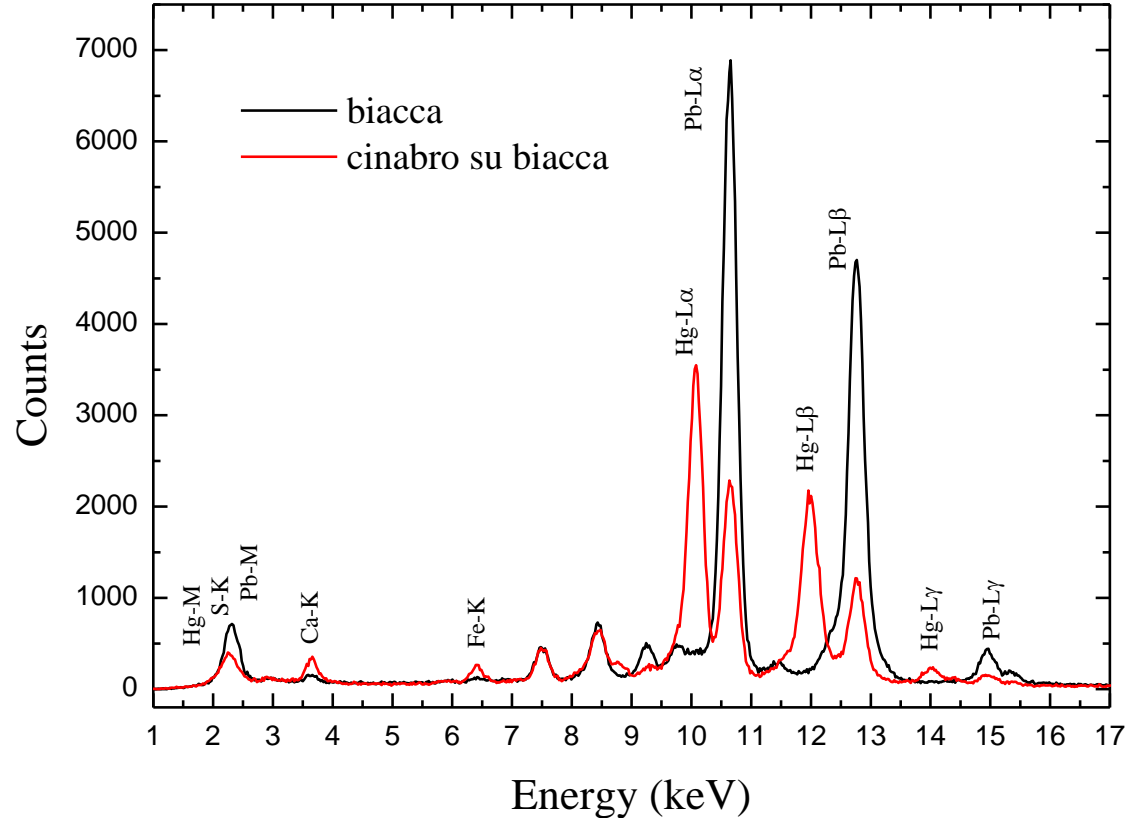


# STRATIGRAFIA DEI PIGMENTI



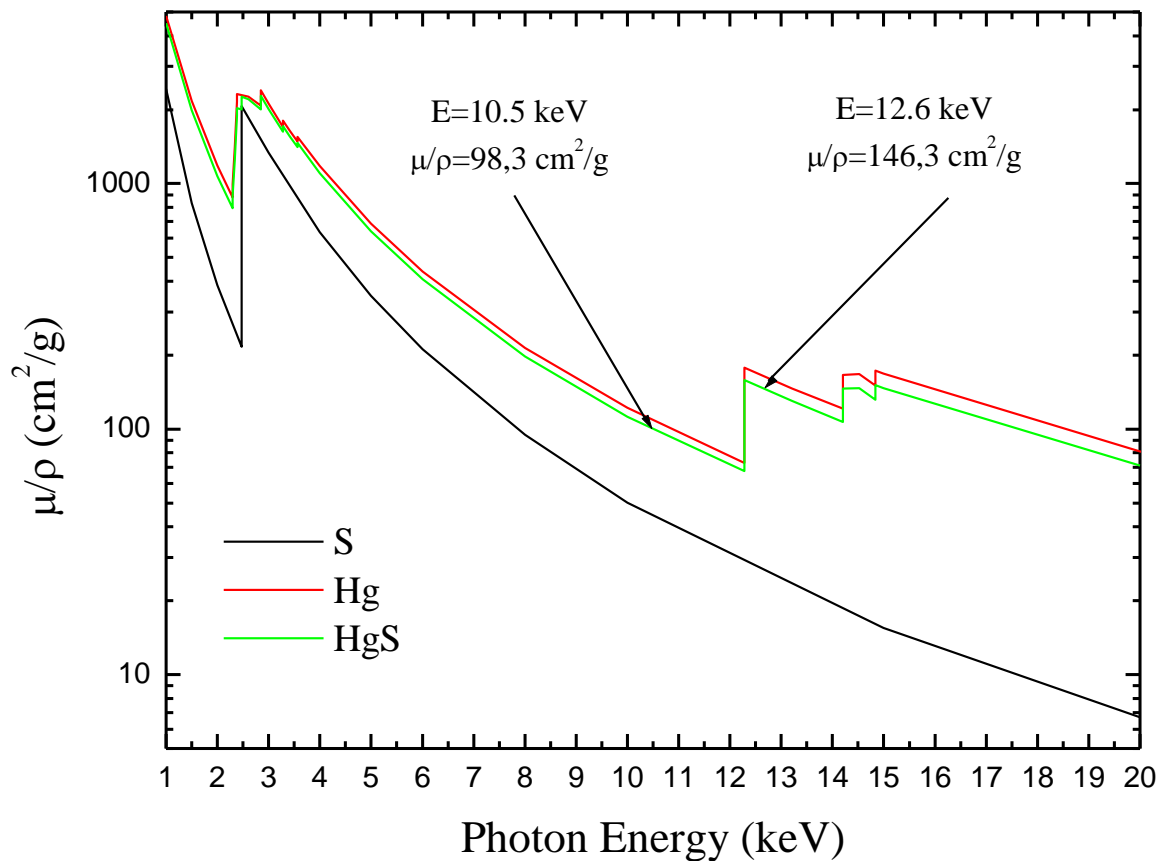
In presenza di cinabro su biacca (imprimitura) è possibile studiare la stratigrafia dei pigmenti.

Le radiazioni Pb-L sono assorbite, in maniera differente, dallo strato di cinabro sovrastante



Lo spessore del cinabro può essere valutato determinando il rapporto tra le linee Pb-L<sub>α</sub> e Pb-L<sub>β</sub>, che sono differentemente assorbite dal cinabro.

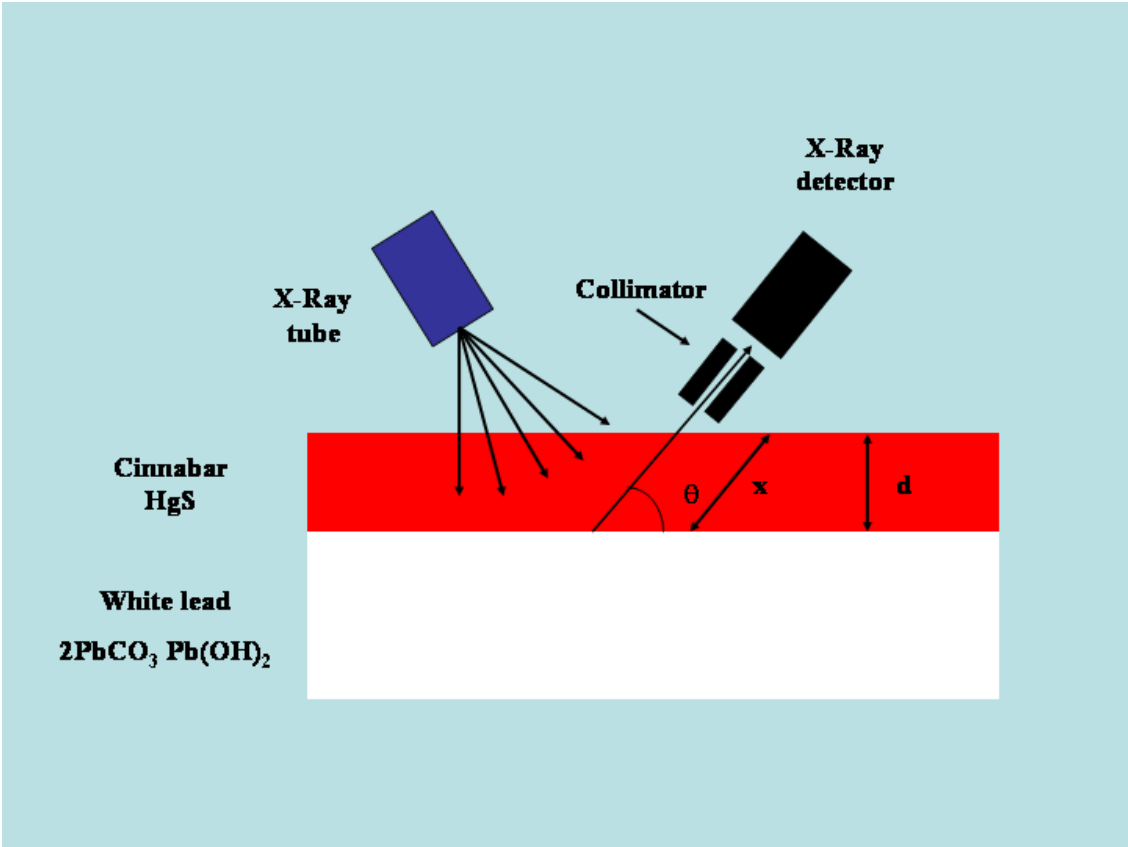
La radiazione Pb-L<sub>β</sub> (12.6 keV) è molto più assorbita della radiazione Pb-L<sub>α</sub> (10.5 keV) poiché i rispettivi coefficienti di assorbimento di massa sono  $\mu_{\beta}=146.3 \text{ cm}^2/\text{g}$  and  $\mu_{\alpha}=98.3 \text{ cm}^2/\text{g}$ .



$$I_{Ei} = (I_{Ei})_0 e^{-\frac{\mu_{Ei}}{\rho} \rho x}$$

**x**: percorso in  $\text{g}/\text{cm}^2$  della radiazione Pb- $L_\alpha$  ( $E_1=10.5 \text{ keV}$ ) and Pb- $L_\beta$  ( $E_2=12.6 \text{ keV}$ ) nel cinabro  
 **$I_0$**  e  **$I$** : intensità della radiazione rispettivamente prima e dopo lo strato di cinabro.  
**d**: spessore “equivalente” di cinabro

Il rapporto  $(I_{E1})_0/(I_{E2})_0$  è stata valutata analizzando un campione di biacca puro.



$$I_{E1} = (I_{E1})_0 e^{-\mu_{E1}x}, \quad I_{E2} = (I_{E2})_0 e^{-\mu_{E2}x}$$

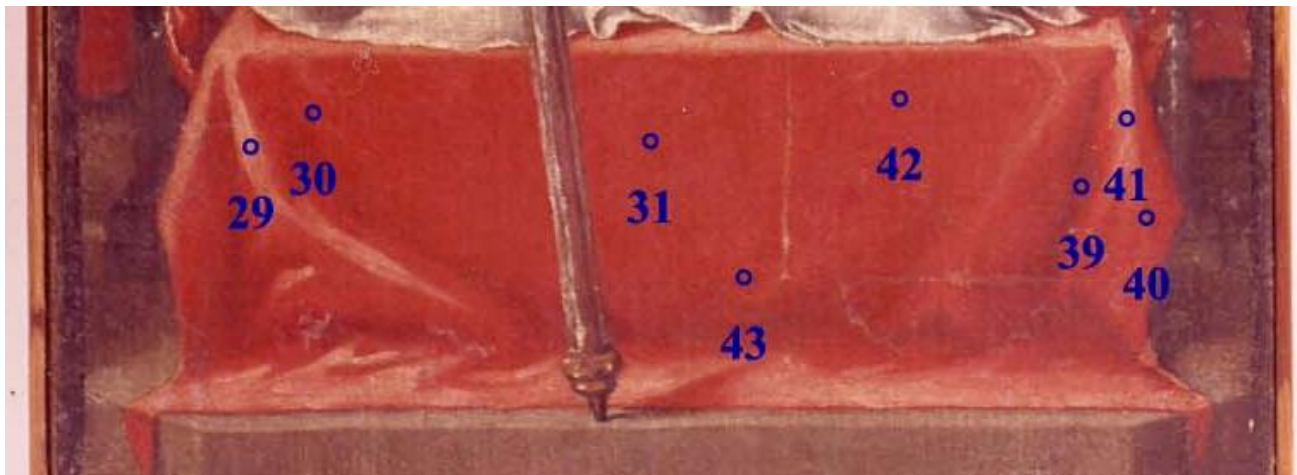
$$\frac{I_{E1}}{I_{E2}} = \frac{(I_{E1})_0}{(I_{E2})_0} e^{-(\mu_{E1}-\mu_{E2})x}$$

$$x = \frac{1}{\mu_{E1} - \mu_{E2}} \ln \frac{\frac{(I_{E1})_0}{I_{E1}}}{\frac{(I_{E2})_0}{I_{E2}}}$$

$$d = x \text{ sen } \theta$$

**“Spessori equivalenti”  
di cinabro**

<b>Zona</b>	<b>Spessore (<math>\mu\text{m}</math>)</b>
<b>20</b>	<b><math>3.8 \pm 0.5</math></b>
<b>30</b>	<b><math>6.8 \pm 1.1</math></b>
<b>31</b>	<b><math>8.3 \pm 0.5</math></b>
<b>32</b>	<b><math>6.0 \pm 1.0</math></b>
<b>39</b>	<b><math>5.0 \pm 0.8</math></b>
<b>40</b>	<b><math>5.7 \pm 0.4</math></b>
<b>42</b>	<b><math>7.6 \pm 1.0</math></b>
<b>43</b>	<b><math>7.9 \pm 1.7</math></b>



# CONCLUSIONI

Le misure, in maniera assolutamente non distruttiva e eseguite *in situ*, hanno permesso:

- sia di identificare i principali pigmenti pittorici usati dall'artista che svelare alcuni dettagli della tecnica pittorica (imprimitura, mescolanza dei pigmenti, ecc.);
- di accertare interventi di restauro non documentati;
- di valutare la stratigrafia dei pigmenti.

# Indagini per la conservazione e il restauro del Monumento bronzeo a Garibaldi e ai Mille in Quarto, Genova



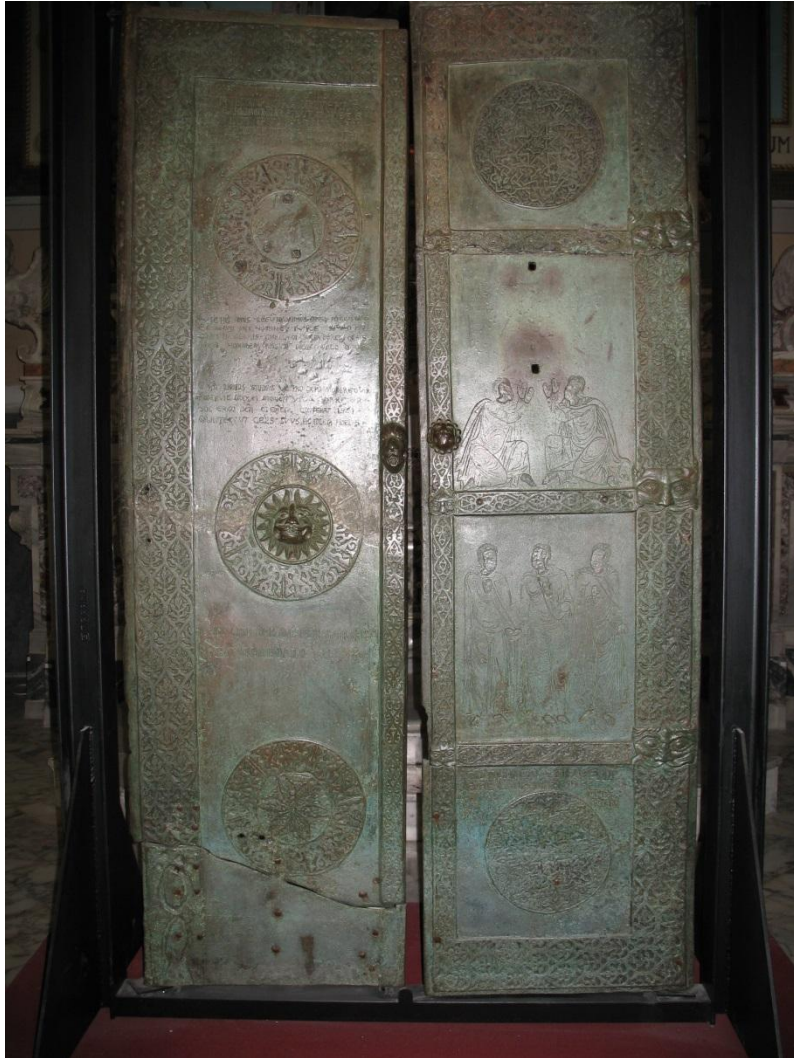
Gruppo bronzeo celebrante l'impresa dei Mille, fuso nel 1914, dello scultore Eugenio Baroni, sito in Quarto, a meno di cento metri dal mare

Scopi:

- Studio delle patine;
- Studio dei protettivi;
- Testare i processi di pulitura



# Le cinque porte bronzee medievali di Puglia



Monte Sant'Angelo - 1076

Canosa (Figura) - 1111

Trani - 1186

Troia (principale) - 1119

Troia (secondaria) - 1127

# Battistero di San Giovanni - Firenze





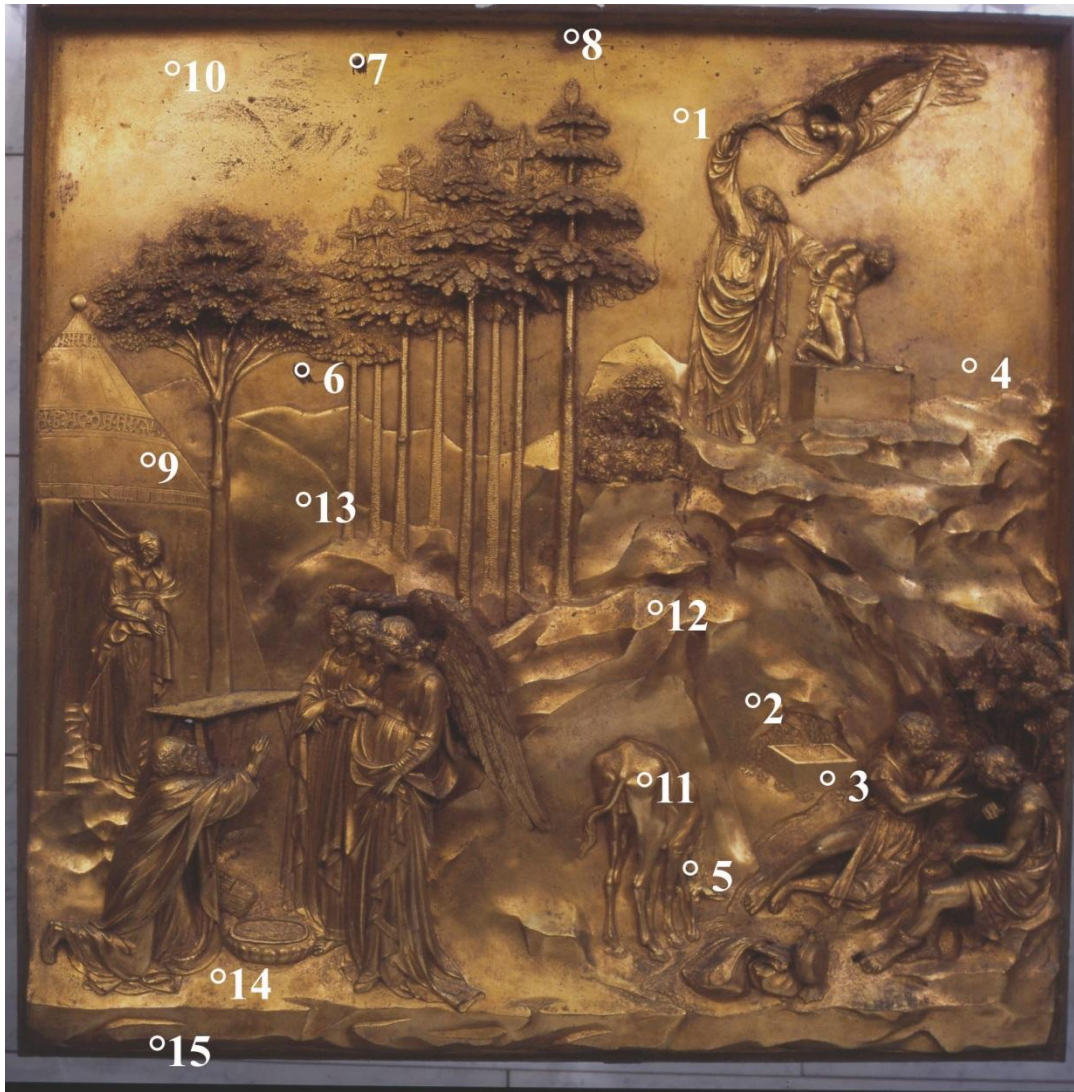
Porta del Paradiso – Firenze, Battistero di San Giovanni, porta est

Lorenzo Ghiberti, realizzata tra il 1426 e il 1452. Composta da 10 pannelli in bronzo ricoperti da amalgama d'oro. I riquadri riproducono scene dell'Antico Testamento. La porta originale attualmente è presso il “Museo dell'Opera del Duomo”

Scopo delle misure:

- Analisi della lega;
- Determinazione dello spessore del ricoprimento in oro.





## Riquadro analizzato

### “Abramo”

Regione	Spessore (µm)
1	1.8
2	1.6
3	1.4
4	2.6
5	--
6	--
7	--
8	--
9	4.5
10	3.5
11	4.4
12	1.1
13	2.9
14	2.0
15	--

# Le foglie d'oro nel '400 Fiorentino



Region	Total thickness (μm)	N. layers	Thickness (μm)
1	3.5	4	0.9
4	3.1	3	1.0
5	2.3	2	1.2
6	1.6	2	0.8
7	2.0	2	1.0
8	1.1	1	1.1
9	0.9	1	0.9
10	2.8	3	0.9
11	1.1	1	1.1

# I BRONZI DI RIACE

Il 16 agosto del 1972, nelle acque dello Jonio, a trecento metri da riva e otto metri di profondità, a ridosso della marina del comune di Riace, furono notate nella sabbia le sporgenze di due bronzi in seguito denominati “Bronzi di Riace”. Gli studiosi li associarono all’arte della cultura greca del V secolo a.C..

Furono in restauro presso la Soprintendenza di Reggio Calabria fino al 1975 e poi trasferiti presso il laboratori di restauro dell’*Opificio delle Pietre Dure* di Firenze dove furono analizzati e restaurati. I restauri proseguirono fino alla fine del 1980. Furono esposti per sei mesi a Firenze e riportati poi a Reggio Calabria.

Nel 1990 sono comparsi fenomeni di degrado: le statue sono quindi state svuotate dai resti delle terre di fusione.

Statua B



Statua A



Attualmente i Bronzi sono sottoposti ad una campagna di diagnostica al fine di valutare lo stato di conservazione ad opera dell'*Istituto Superiore per la Conservazione ed il Restauro* di Roma.

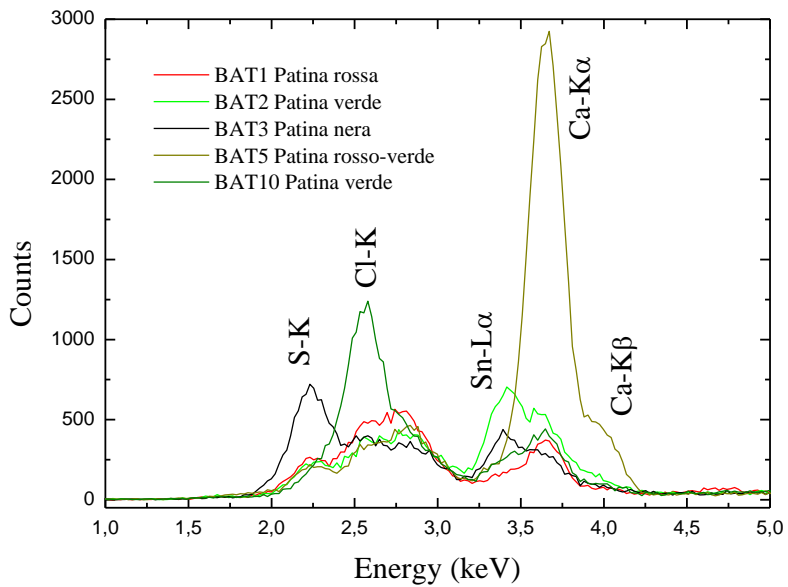


Il Prof. Maurizio MARABELLI dirige i lavori e il laboratorio di Archeometria dell'Università del Salento cura lo studio delle patine.

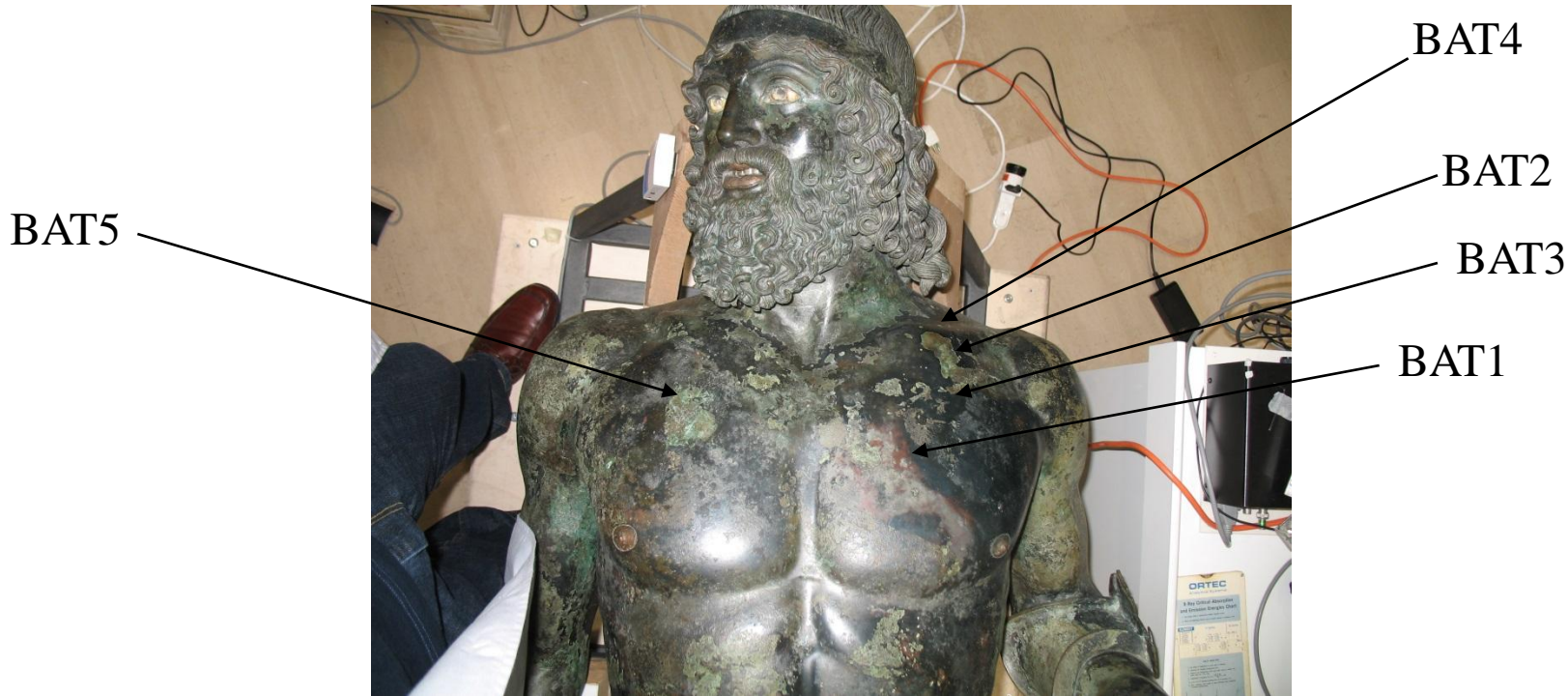
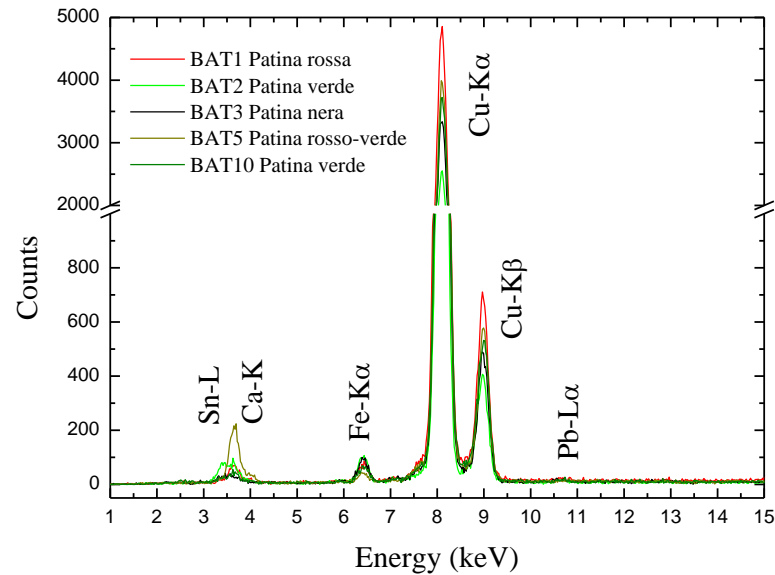
*..... patine nere, patine verdi, patine rosse, patine color bronzo, .....*



Bronzo A, Torace



Bronzo A, Torace



	<b>SALDATURE - Ordinati per punto di acquisizioni</b>								
<b>File</b>	<b>descrizione</b>	<b>S</b>	<b>Cl</b>	<b>Sn</b>	<b>Mn</b>	<b>Fe</b>	<b>Cu</b>	<b>Zn</b>	<b>Pb</b>
SBBD1	Bronzo B, braccio dx, tassello	3,9	2,2	9,0	<0,2	2,1	73,0	3,0	6,5
SBBD2	Bronzo B, braccio dx, saldatura sopra tassello	0,9	2,5	18,9	0,4	3,6	63,1	<1,0	6,4
SBBD3	Bronzo B, braccio dx, saldatura	2,4	2,5	29,3	0,5	4,4	48,1	2,4	9,5
SBBD4	Bronzo B, braccio dx, saldatura	<0,5	<1,5	27,2	0,8	7,3	44,7	2,0	6,7
SBBD5	Bronzo B, braccio dx aggiunto color bronzo	5,8	2,6	14,8	<0,2	1,7	51,9	5,0	18,0
SBBD6	Bronzo B, braccio dx, spalla color bronzo	<0,5	3,2	22,4	<0,2	1,4	65,2	3,7	3,9
SBBD7	Bronzo B, braccio dx, saldatura	<0,5	<1,5	22,5	0,6	4,4	59,2	3,5	9,6
SABS1	Bronzo A, braccio sx, saldatura	4,4	2,9	38,8	0,3	2,1	50,3	<1,0	<2,0
SABS2	Bronzo A, braccio sx, saldatura	3,2	3,2	33,7	<0,2	1,3	54,4	<1,0	<2,0
SABS3	Bronzo A, braccio sx, sopra saldatura	1,0	2,5	43,7	0,4	3,4	36,9	<1,0	<2,0
SABS4	Bronzo A, braccio sx, sotto saldatura	3,7	2,0	44,3	0,3	3,2	39,3	<1,0	<2,0

# TECNICHE FISICHE NON-DISTRUTTIVE NEL RESTAURO DEL RILIEVO IN CARTAPESTA “*MADONNA COL BAMBINO*” DI *JACOPO SANSOVINO*

Giovanni Buccolieri<sup>1</sup>, Francesco Adduci<sup>2</sup>, Alessandro Buccolieri<sup>1</sup>,  
Federica Carnevale<sup>1</sup>, Raffaele Casciaro<sup>3</sup>, Alfredo Castellano<sup>1</sup>, Davide Melica<sup>4</sup>, Lidiana  
Miotto<sup>5</sup>, Piero Quarta Colosso<sup>6</sup>

1 Università del Salento, Dip. di Scienza dei Materiali, via per Monteroni, 73100, Lecce E-mail: [giovanni.buccolieri@unile.it](mailto:giovanni.buccolieri@unile.it)

2 Università di Bari, Dip. di Fisica, via Amendola n. 173, 70125, Bari

3 Università del Salento, Dip. dei Beni delle Arti e della Storia, viale S. Nicola, 73100, Lecce

4 Libero professionista, via Ciardo n. 3, 73100, Lecce

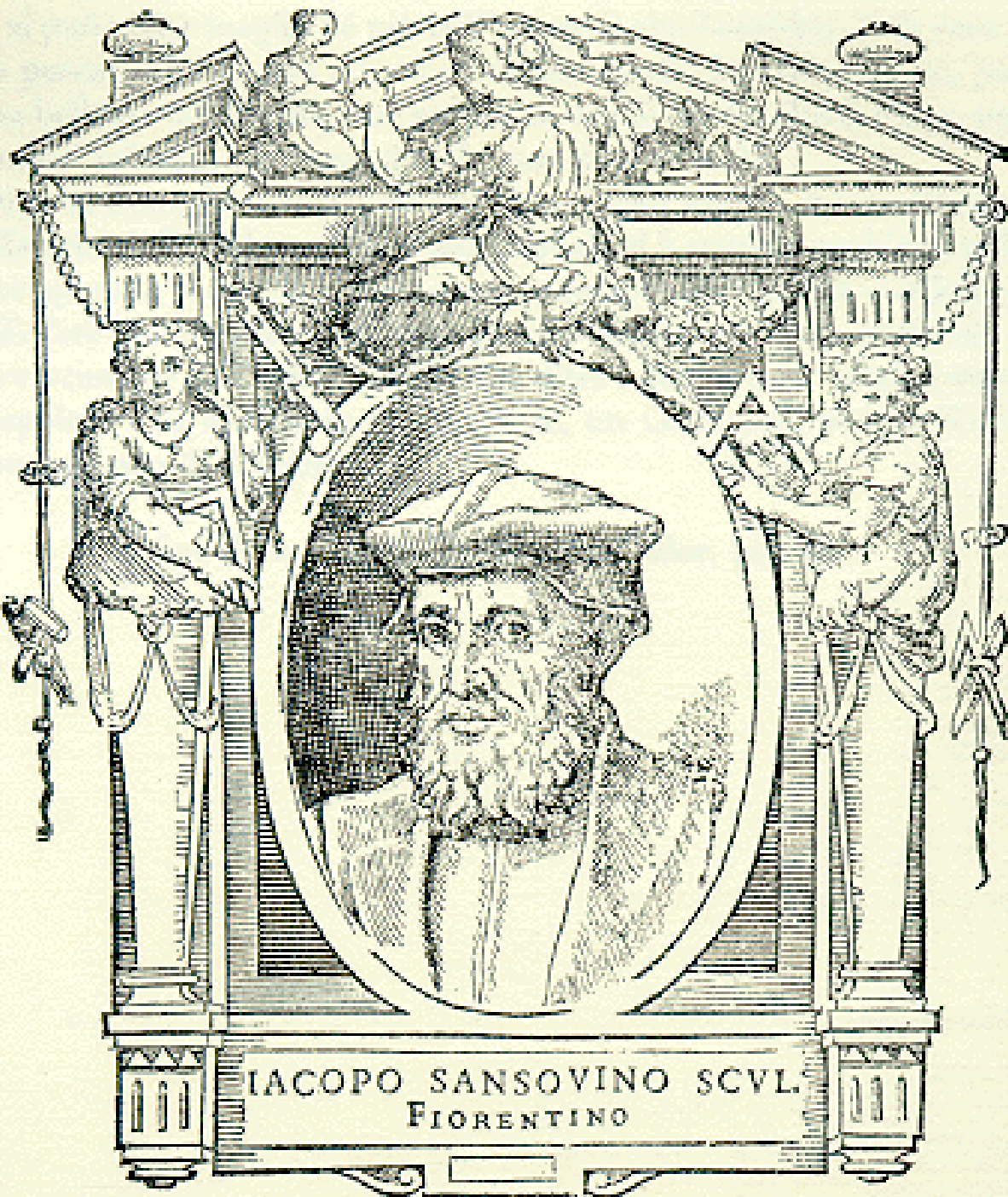
5 Centro Restauro Materiale Cartaceo, via Roberto Caracciolo n. 6, 73100, Lecce

6 Studio Radiologico Quarta Colosso, via Turati n. 15, 73100, Lecce

Un rilievo in cartapesta raffigurante una “Madonna col Bambino” (cartapesta macerata su tela, supporto ligneo 131x98 cm e 8.5 cm spessore) del Museo Nazionale di Belle Arti di Budapest è stato sottoposto a un intervento di restauro nel laboratorio del Museo Provinciale di Lecce a cura della dottoressa Lidiana Miotto dall'Ottobre al Dicembre 2007. Si tratta di un importante testimonianza dell'attività di Jacopo Tatti detto il Sansovino (Firenze 1486 - Venezia 1570), scultore e architetto nato a Firenze, ma attivo anche a Roma e a Venezia nella prima metà del XVI secolo.

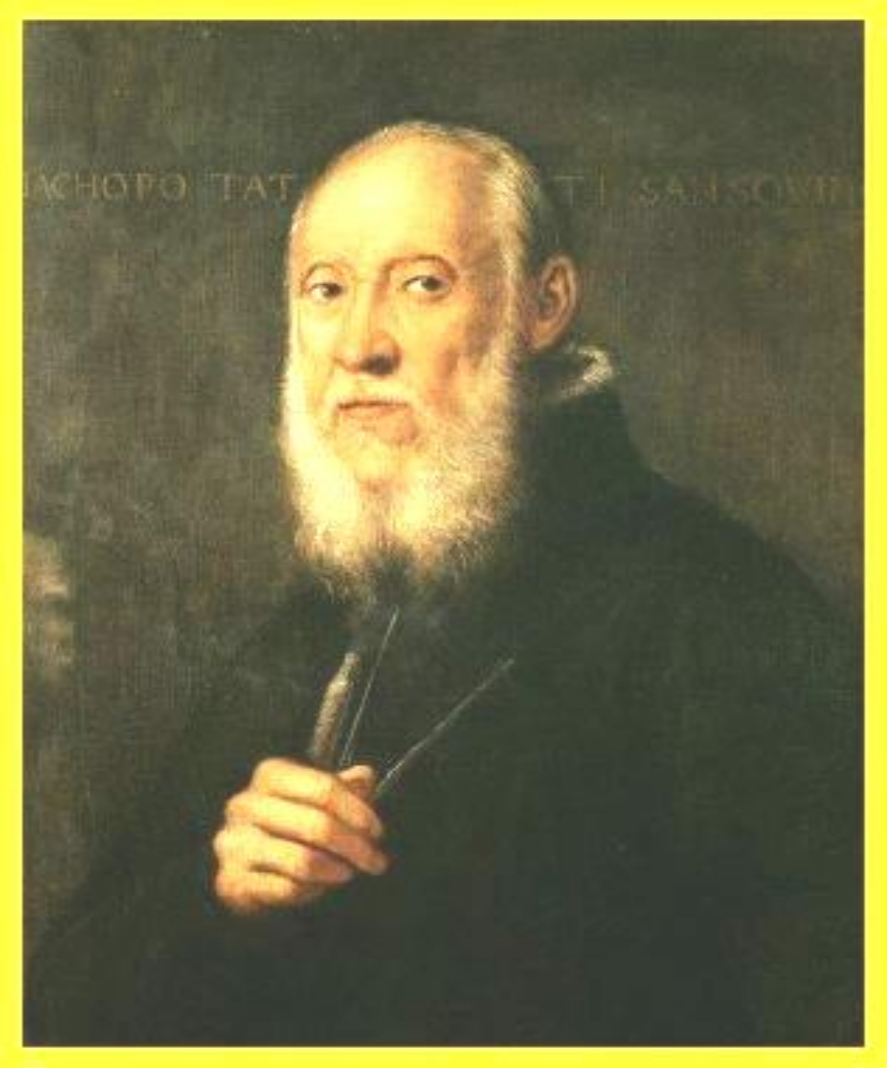
In questo lavoro saranno illustrati i risultati sperimentali delle analisi archeometriche e radiografiche eseguite in occasione del restauro, le quali forniscono importanti notizie sia **sulle procedure esecutive impiegate dall'artista per la realizzazione** che relative a **successivi restauri**. Inoltre sono state eseguite, prima, durante e dopo il restauro, anche diverse analisi in fluorescenza a raggi X in dispersione di energia e su microcampionamenti sono state eseguite analisi in microscopia ottica, microscopia elettronica, spettroscopia infrarossa micro FT-IR e diffrattometria a raggi X.





**Firenze, 1486**

**Venezia, 1570**

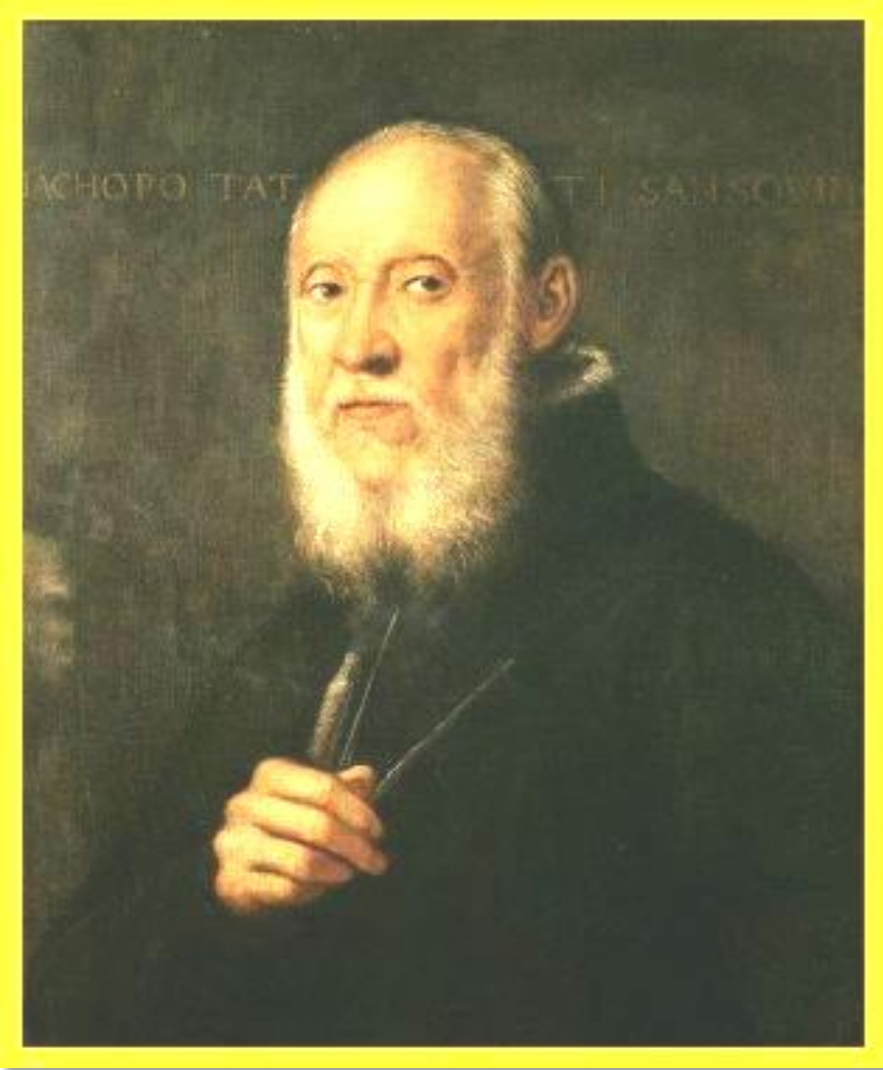


*“... ogni suo schizzo, o segno, o bozza ha sempre avuto una movenzia e fierezza che a pochi scoltori suole porgere la natura ...”*

**Vasari**



**Madonna del parto – Roma, 1518**

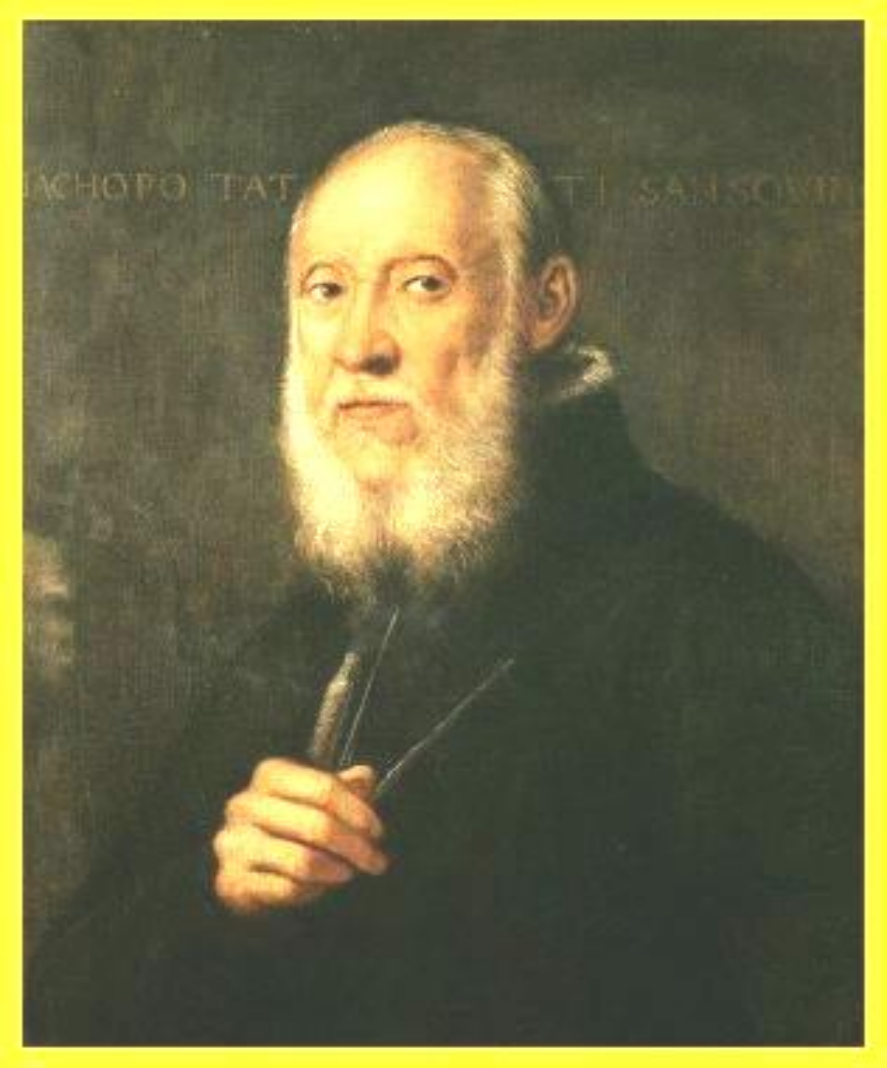


*“... ogni suo schizzo, o segno, o bozza  
ha sempre avuto una movenzia e  
fierezza che a pochi scoltori suole  
porgere la natura ...”*

**Vasari**

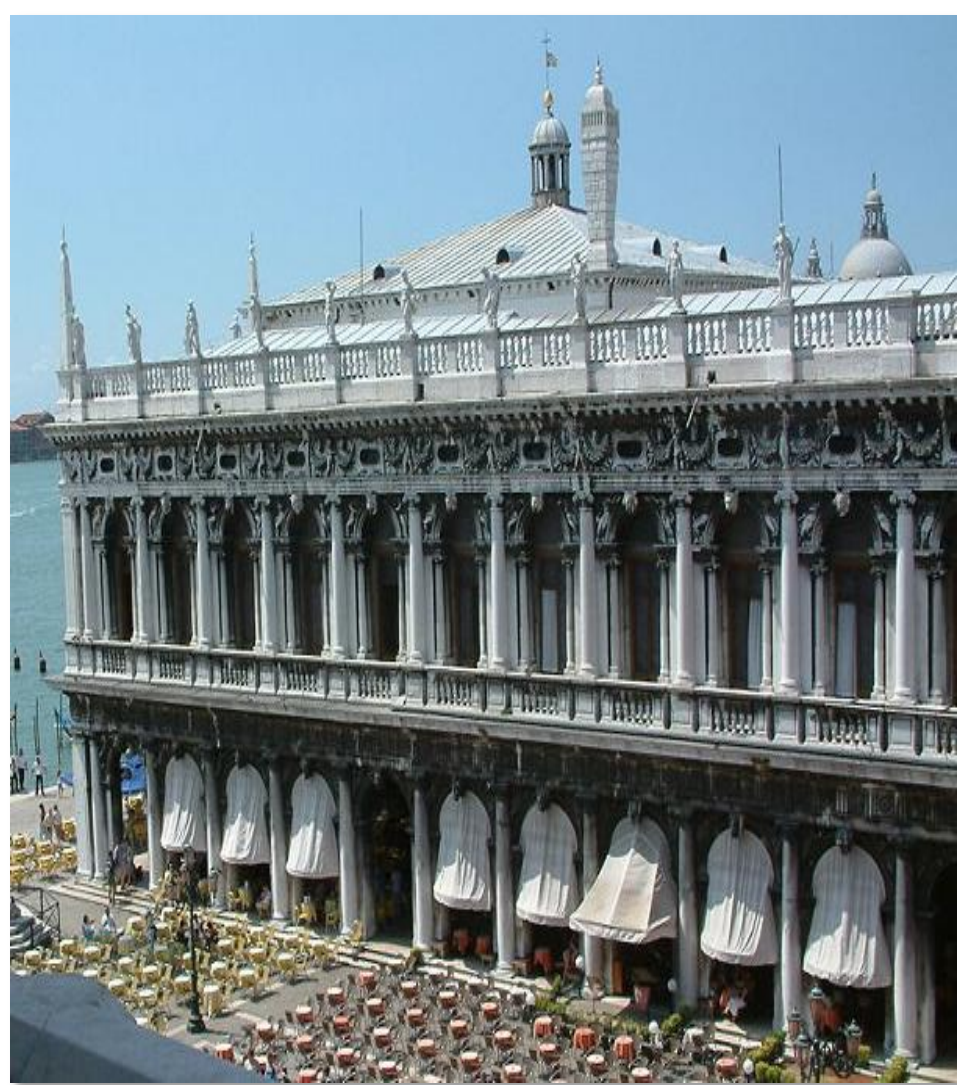


**Loggetta p.zza S. Marco  
Venezia, 1536-1560**

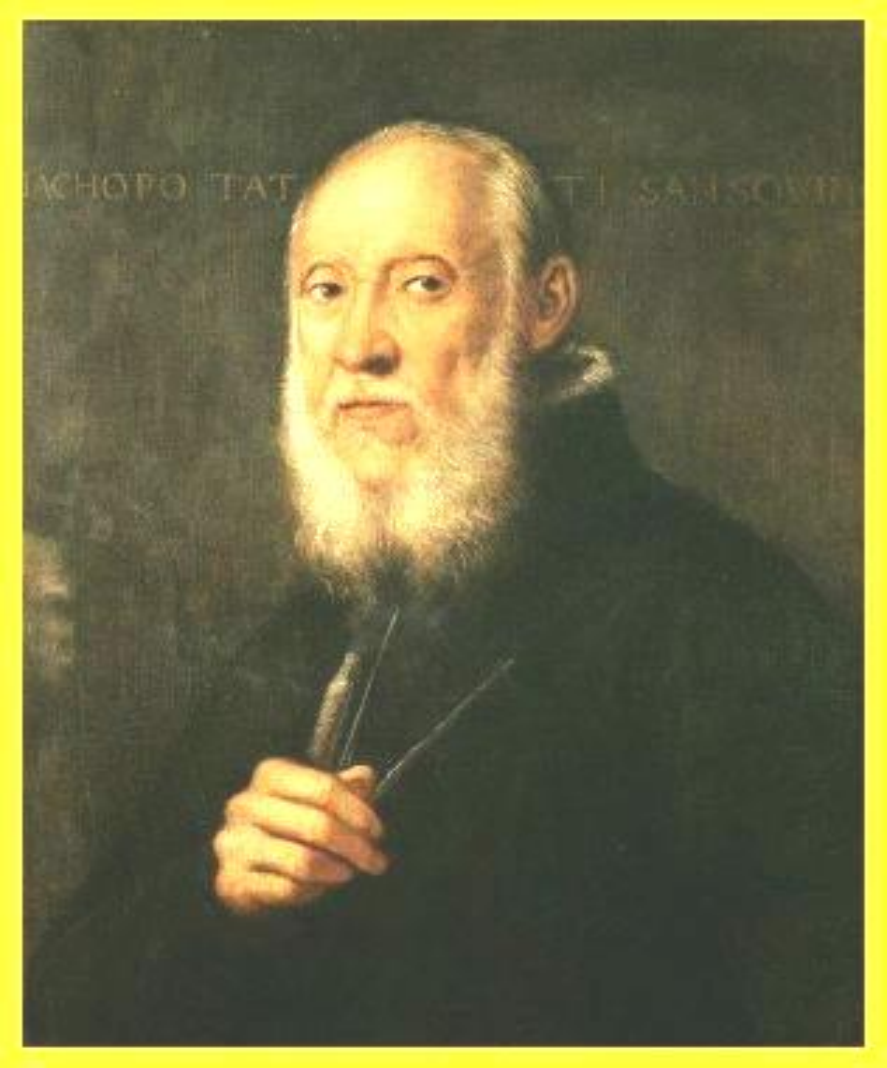


*“... ogni suo schizzo, o segno, o bozza  
ha sempre avuto una movenzia e  
fierezza che a pochi scoltori suole  
porgere la natura ...”*

**Vasari**



**Libreria Marciana  
Venezia, 1536-1560**



*“... ogni suo schizzo, o segno, o bozza  
ha sempre avuto una movenzia e  
fierezza che a pochi scoltori suole  
porgere la natura ...”*

**Vasari**



**Palazzo Corner  
Venezia, 1533-1566**

Del Sansovino sono noti due diversi modelli di “Madonna col Bambino” in cartapesta:

- uno dei quali risale al prototipo firmato dal maestro conservato nel Museo del Cenedese di Vittorio Veneto e noto in una quindicina di repliche sparse in diversi musei in Italia e all'estero;
- l'altro modello (tipo Pardelfell), cronologicamente precedente al primo, è invece noto soltanto in due versioni, quella in esame e quella del Bodemuseum di Berlino. Eseguiti entrambi a Venezia, in un torno di tempo compreso tra il 1520 e il 1530, i rilievi sono realizzati in tela ricoperta da uno strato di cartapesta macerata e fissati con chiodi ad un supporto di tavole di legno.

Jacopo Sansovino regalò un'opera in cartapesta a Pietro Aretino, che, a sua volta ne fece dono a Vittoria Farnese, la quale ne fu entusiasta.

L'Aretino così ne informa l'autore in una lettera:” *Il gran quadro di basso rilievo e di marmorea durezza composto, per volerlo sollevare fino al cielo con la lode, basta dir che da la mano di messer Iacopo ci venga...L'Illustrissima Vittoria Farnese...mi scrive che né in Roma né altrove mai se n'è visto un sì bello*” (P. Aretino, *Lettere*).

La notazione “*di marmorea durezza composto*” è messa in risalto per elogiare la riuscita mimesi della cartapesta nel marmo.

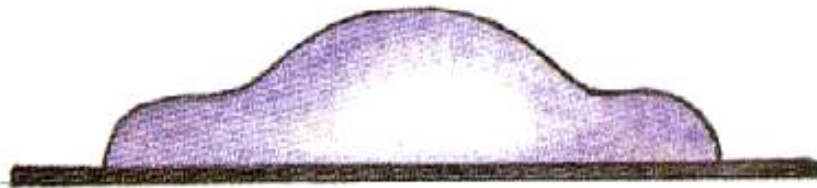


**Madonna tipo Pardelfell**

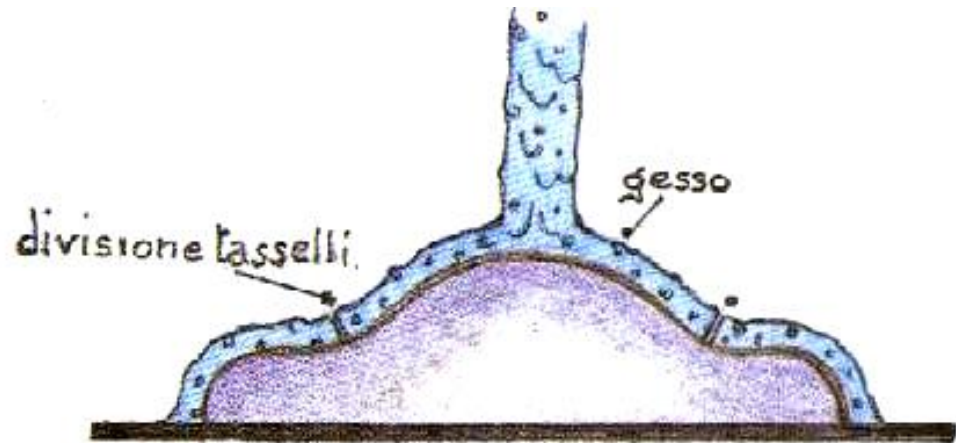


**Madonna tipo Vittorio Veneto**

# La Cartapesta

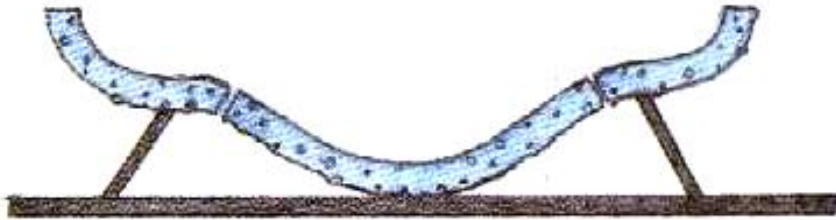


*forma positiva*

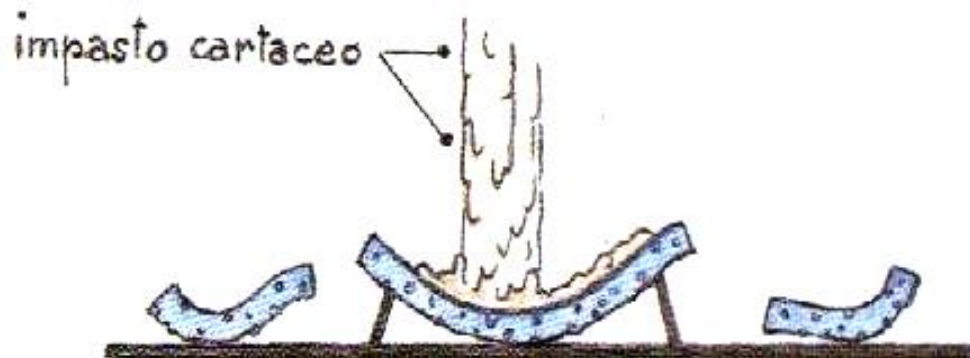


*realizzazione del calco o matrice*

# La Cartapesta

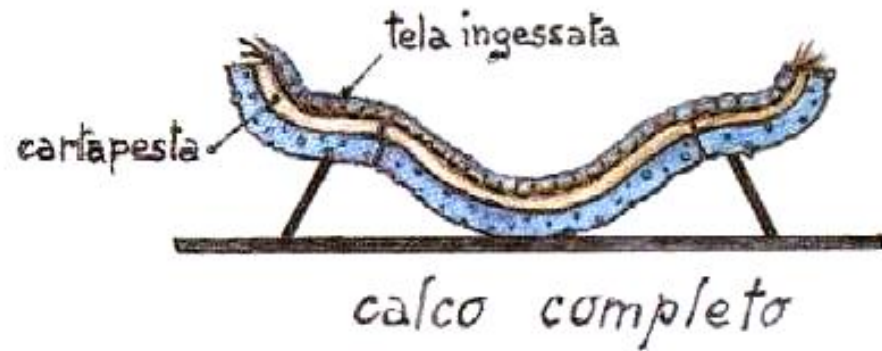


*matrice in gesso*

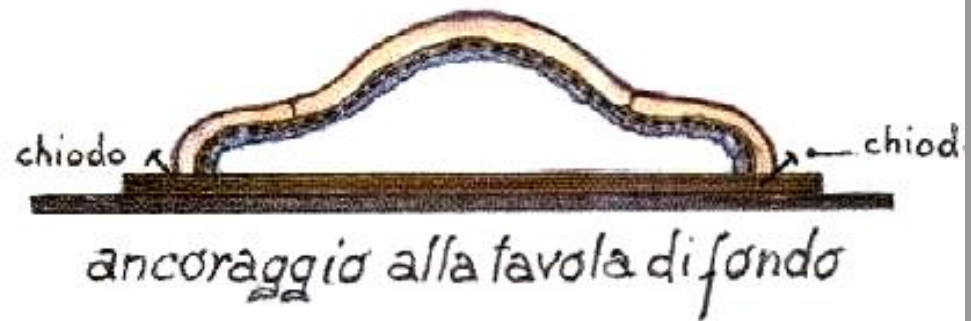


*preparazione calco in cartapesta*

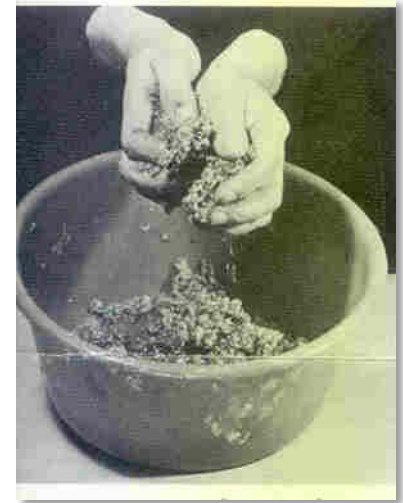
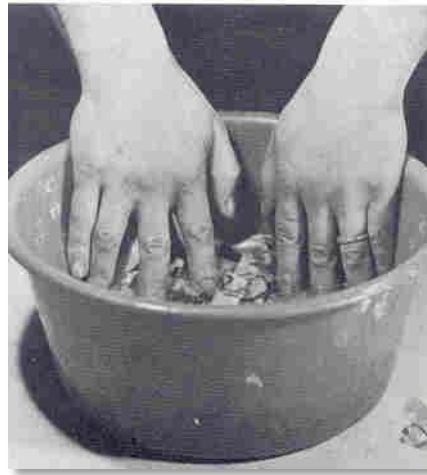
# La Cartapesta



# La Cartapesta



# La Cartapesta



***Ogni sorta di rottami di carta, tenuti per più giorni in macero in acqua chiara, poi benissimo pesti in mortaio, tanto che la macera carta sia ridotta quasi come un unguento. Con questa si fanno le maschere che si adoperano a Carnevale, e ogni sorta di figure, d'intero e non intero rilievo***

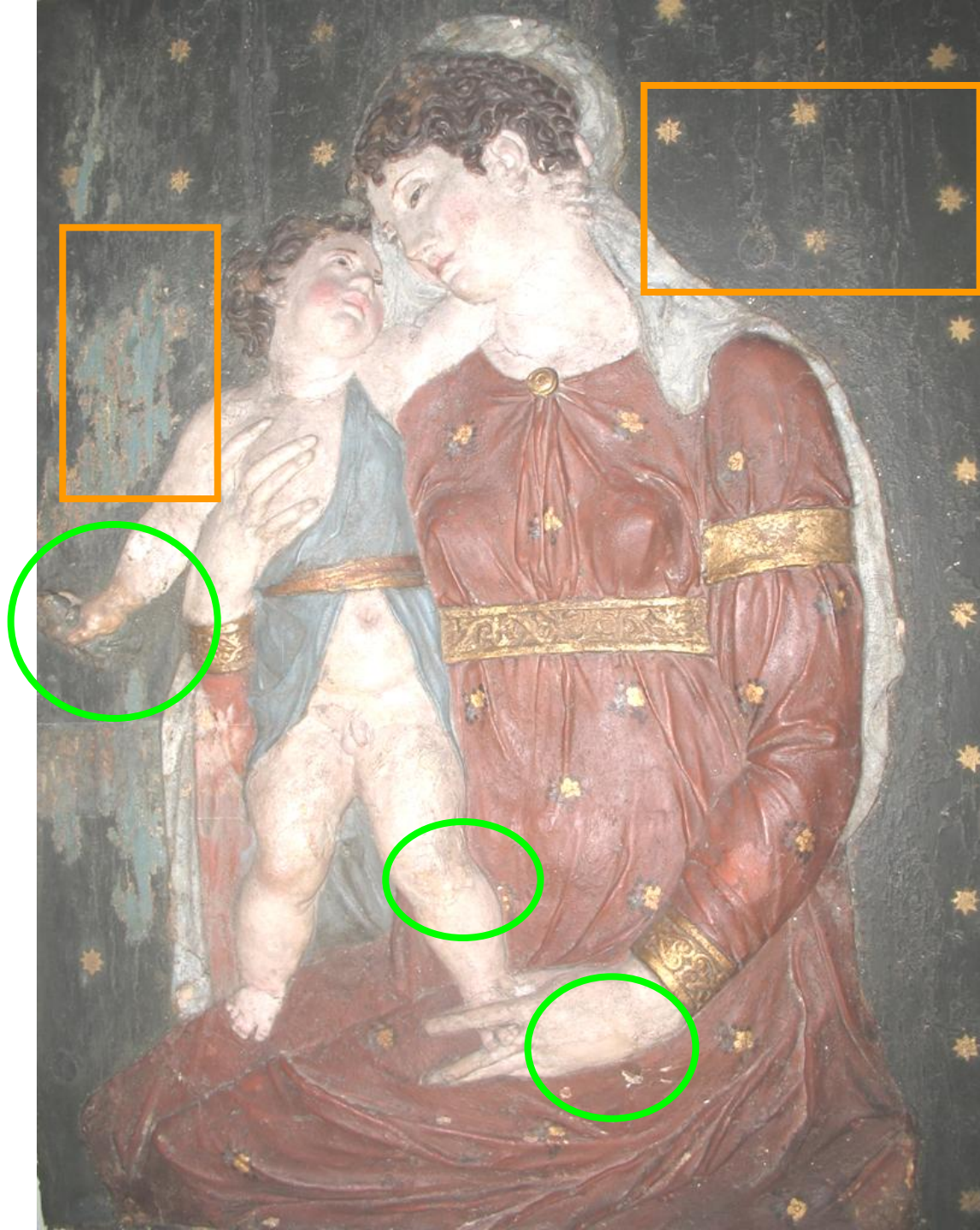


**F. Baldinucci, 1681**



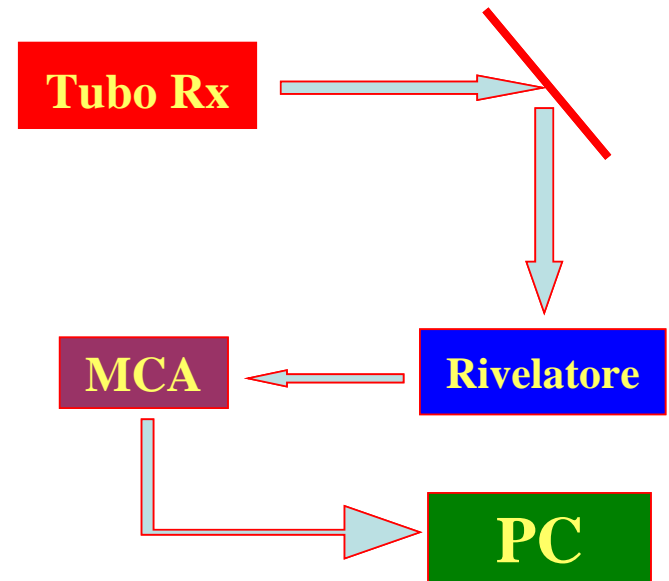
# La Cartapesta leccese





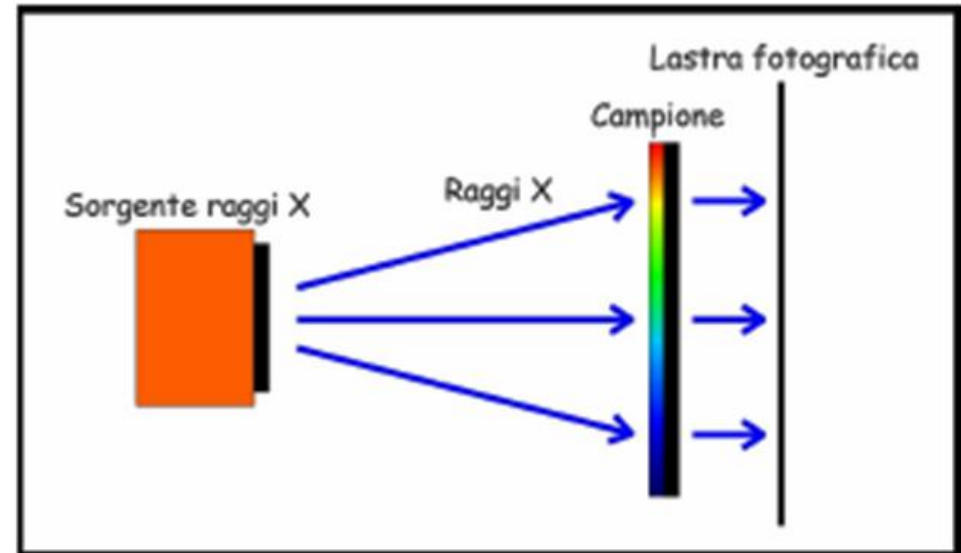
## Fluorescenza EDXRF:

- Riconoscimento elementi chimici dei pigmenti usati dall'artista



## Radiografia:

- Riconoscimento materiali diversi



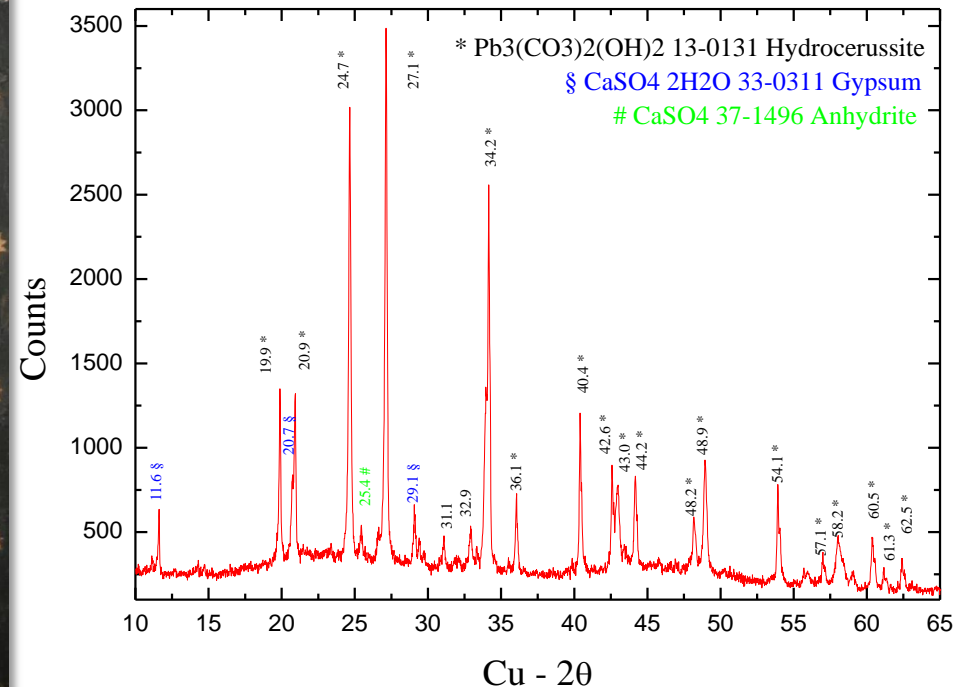
# Risultati sperimentali

## Sono state analizzate 43 regioni

La presenza di Pb su tutte le regioni indagate fa supporre che l'artista abbia impiegato bianco di Biacca come imprimitura.

Le polveri rimosse durante le puliture sono state raccolte ed analizzate in diffrazione a raggi X al fine di determinare i principali composti costituenti le polveri. Le misure hanno confermato la presenza di biacca, gesso e tracce di anidrite.

### Polvere

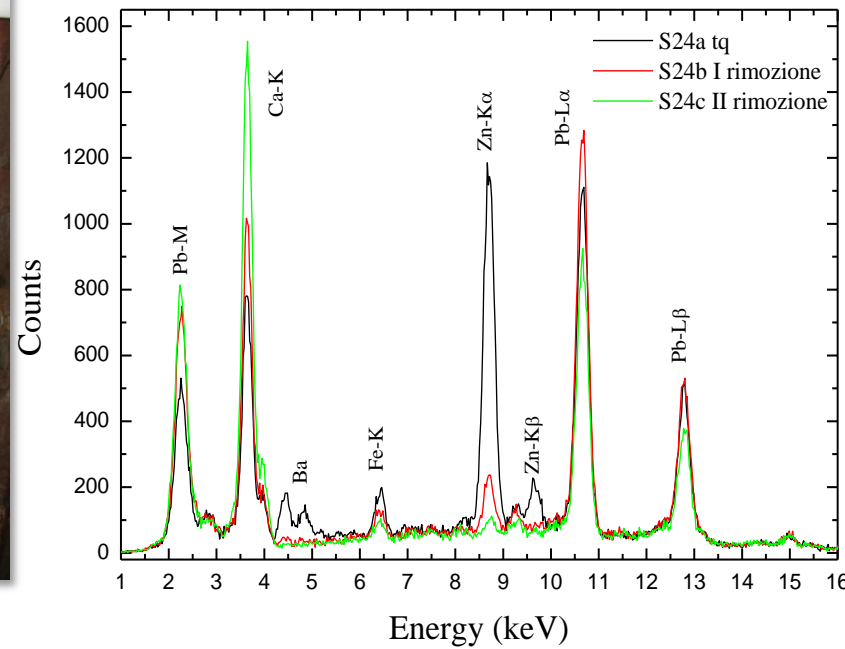


Cu - 2θ

# INCARNATI



Mano sx Madonna



	Ca	Ba	Fe	Zn	Pb
24a	II	III	Tr	II	I
24b	II	Tr	Tr	III	I
24c	I		Tr	Tr	II

## LEGENDA

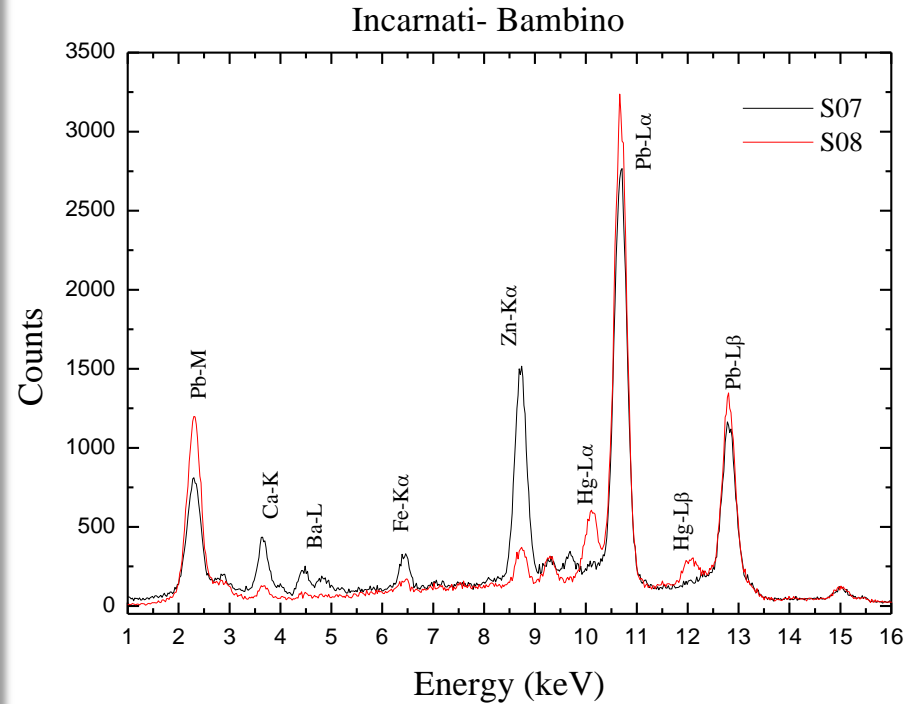
I: elemento maggioritario

II: elemento secondario

III: elemento minoritario

Tr: elemento in tracce

# INCARNATI



	Ca	Ba	Fe	Zn	Pb	Hg
07	III	Tr	Tr	II	I	
08				Tr	I	III

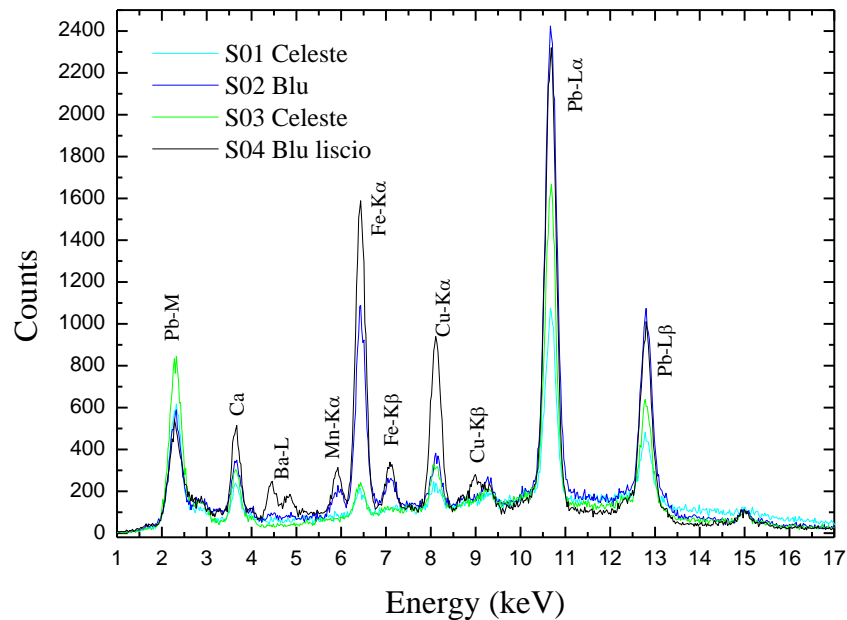
Sulla base delle evidenze sperimentali si è ipotizzato che l'artista abbia utilizzato, per gli incarnati, bianco di biacca e bianco San Giovanni ( $\text{CaCO}_3$ ) mescolati con modeste quantità di terra rossa resa evidente dalla presenza di tracce di Fe o cinabro ( $\text{HgS}$ ).

# BLU-CELESTE

Il blu scuro utilizzato come sfondo è caratterizzato dalla presenza di Pb e Fe come elementi principali: il segnale del Pb è probabilmente dovuto all'imprimitura mentre il Fe potrebbe indicare la presenza di blu di prussia ( $\text{Fe}_4[\text{Fe}(\text{CN})_6]_3 \cdot n\text{H}_2\text{O}$ ).



Fondo (Blu e Celeste)

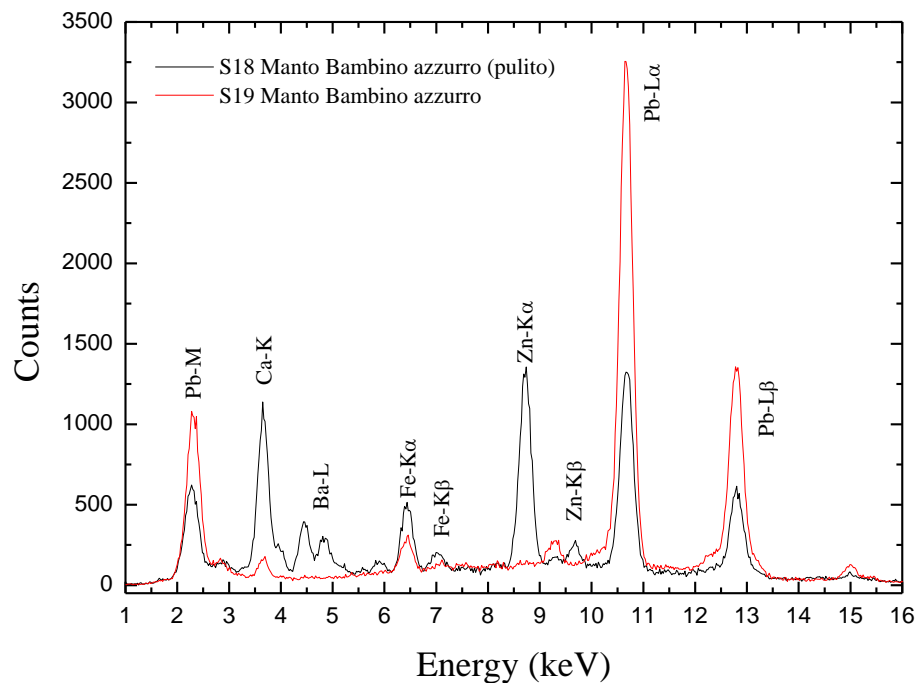


	Ca	Ba	Mn	Fe	Cu	Pb
01	III			Tr	Tr	I
02	III		Tr	II	III	I
03	III			Tr	III	I
04	II	III	III	II	II	I

Nella regione 4 è stato evidenziato Cu, Ba e Mn: la presenza di questi elementi, distribuiti non uniformemente, provano che lo sfondo ha subito, nel corso degli anni, diversi rifacimenti.

# BLU-CELESTE

Il celeste del manto del Bambino manifesta la presenza di Pb (imprimitura) e Fe dovuto probabilmente alla presenza di blu di prussia.



	Ca	Ba	Fe	Zn	Pb
18	II	III	III	I	II
19	Tr		Tr		I

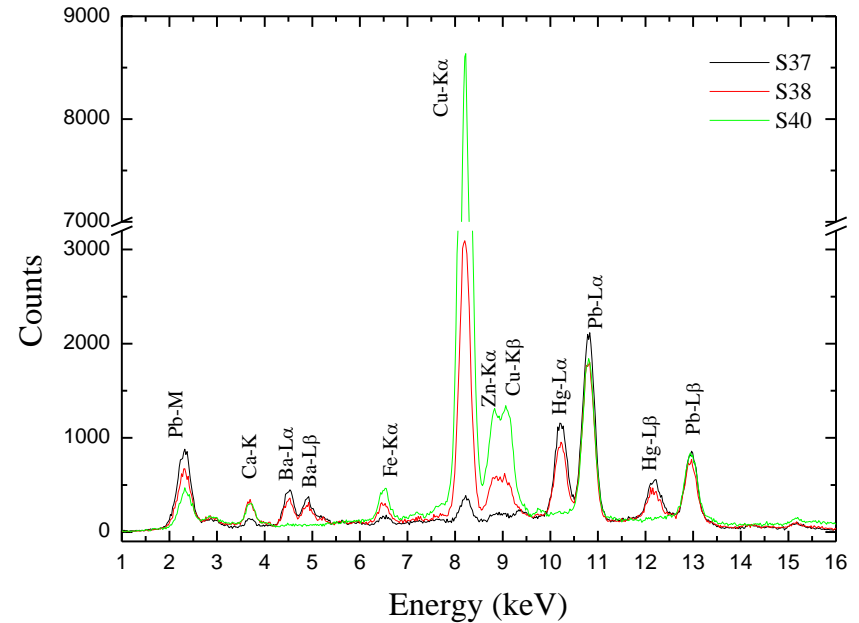
Nella regione 18 sono evidenti i segnali di Zn, Ca e Ba: lo Zn può essere dovuto alla presenza di bianco di zinco (ZnO). Tale pigmento, utilizzato a partire dalla fine del 1700, conferma la presenza di pigmenti aggiunti durante interventi di restauro. Il Ba, presente insieme allo S, è dovuto alla presenza di barite ( $\text{BaSO}_4$ ) utilizzata probabilmente come sbiancante.

# GIALLI + SOSPETTO ORO

Le analisi hanno identificato come elementi principali Pb (imprimitura) e Fe: quest'ultimo può essere dovuto alla presenza di ocra gialla ( $\text{Fe}(\text{OH})_3$ ).



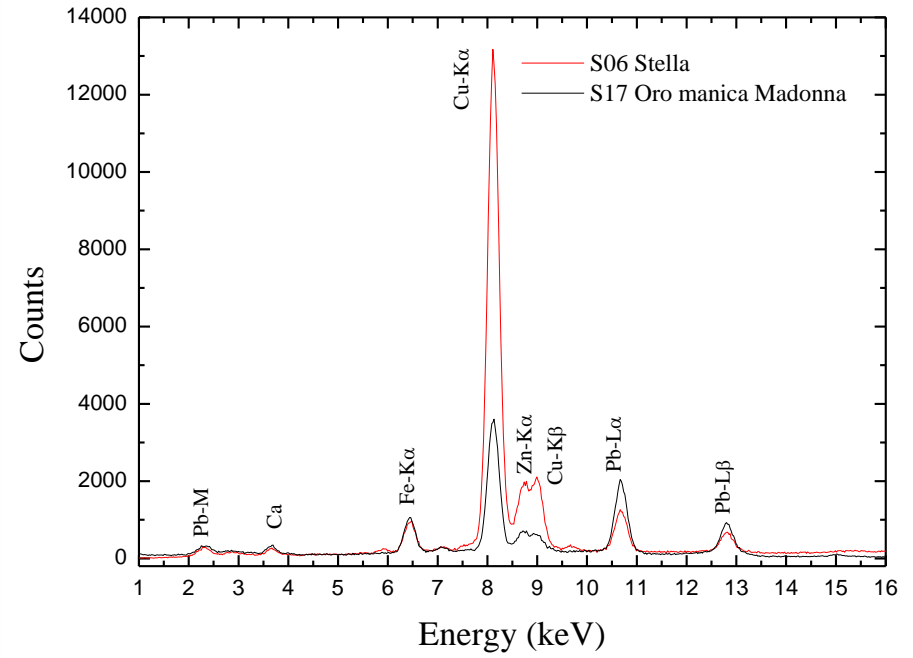
Cinta Bambino



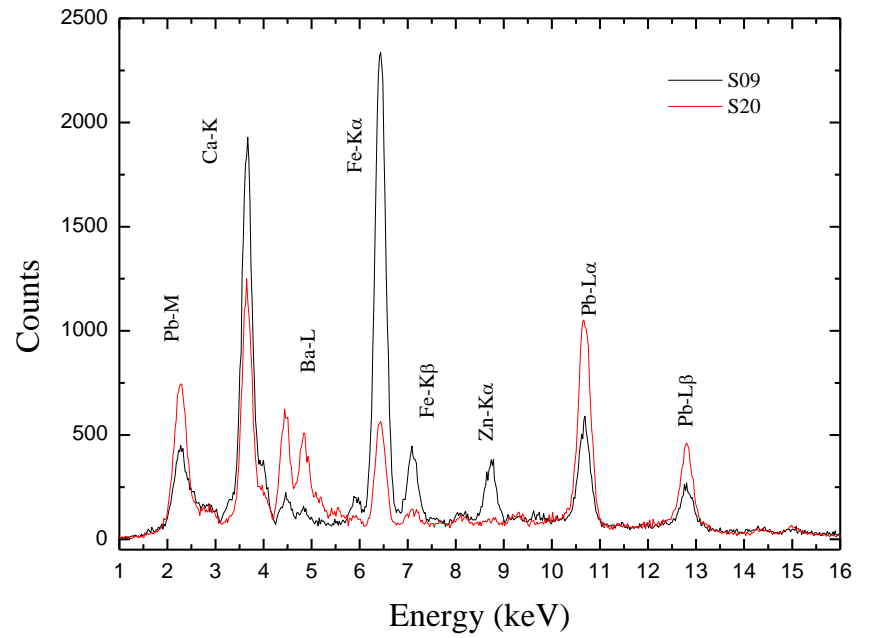
	Ca	Ba	Fe	Cu	Zn	Pb	Hg
37	Tr	III				I	II
38	Tr	III	Tr	I	III	II	II
40	Tr		III	I	II	II	

La cinta del Bambino evidenzia delle regioni di colore rosso (regioni 37 e 38) caratterizzati dalla presenza di Hg e S: si tratta probabilmente di cinabro ( $\text{HgS}$ ). La regione 40 manifesta notevoli quantità di rame probabilmente dovuto alla presenza, nei pigmenti, di frammenti di lamine in rame utilizzati per ottenere il falso oro.

# SOSPETTO ORO

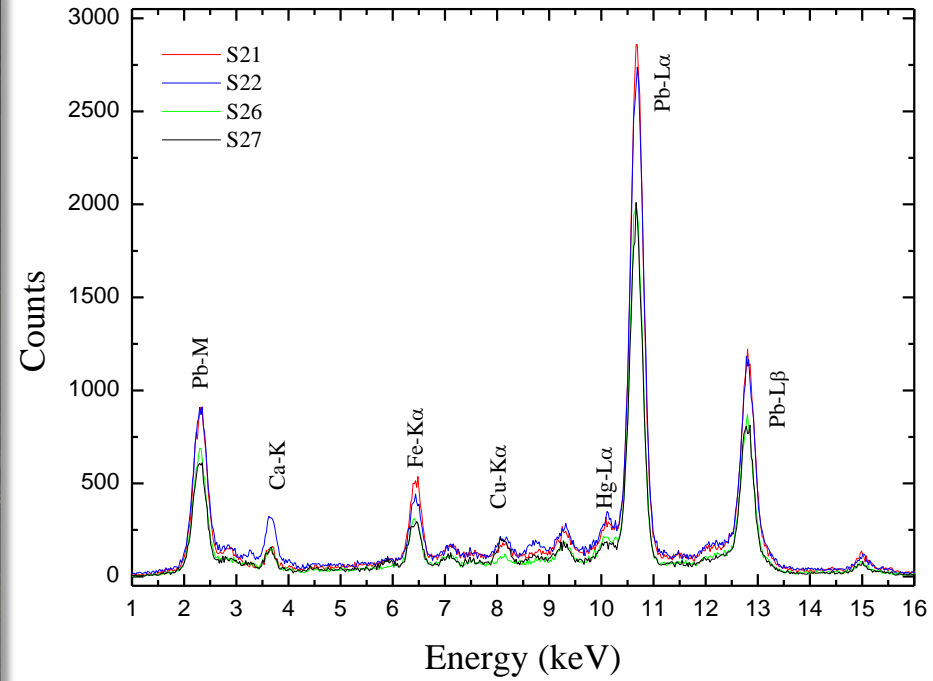


	Ca	Fe	Cu	Zn	Pb
06	Tr	III	I	III	III
17	Tr	III	I	Tr	III



	Ca	Ba	Fe	Pb	Zn
09	I	Tr	I	II	Tr
20	I	III	III	II	

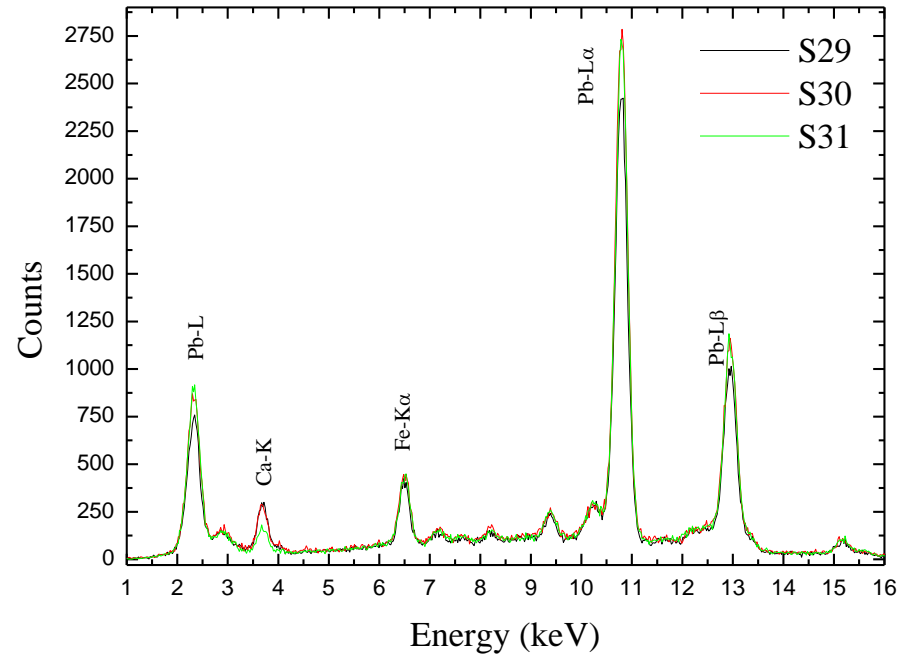
# ROSSI



	Ca	Fe	Cu	Pb
21		III	Tr	I
22	III	III	Tr	I
26	Tr	III	Tr	I
27	Tr	III	Tr	I



Manto Madonna



	Ca	Fe	Cu	Pb
29	Tr	III	Tr	I
30	Tr	III	Tr	I
31	Tr	III	Tr	I

La presenza di segnali molto intensi di Pb fa ipotizzare che sia stato utilizzato del minio ( $Pb_3O_4$ ) e non ocre rosse ( $Fe_2O_3$ ) in quanto il Fe è presente soltanto in tracce.

# La tavolozza del Sansovino

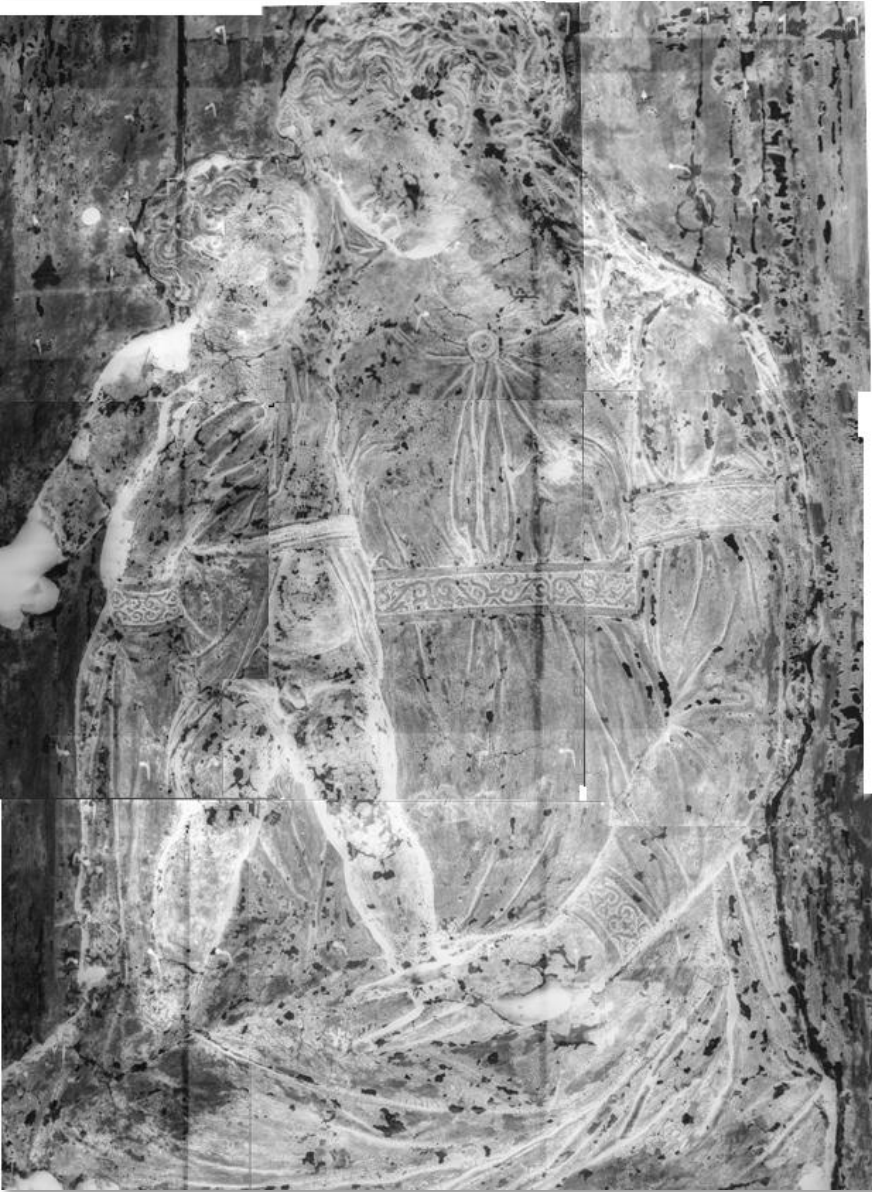
- *bianco di biacca*  $2\text{PbCO}_3 \cdot \text{Pb}(\text{OH})_2$
- *ocra rossa*  $\text{Fe}_2\text{O}_3$
- *bianco di San Giovanni*  $\text{CaCO}_3$
- *cinabro o vermiglione*  $\text{HgS}$
- *azzurrite*  $2\text{CuCO}_3 \cdot \text{Cu}(\text{OH})_2$
- *ocra gialla*  $\text{Fe}_2\text{O}_3 \cdot \text{H}_2\text{O}$
- *malachite*  $\text{CuCO}_3 \cdot \text{Cu}(\text{OH})_2$
- *minio*  $\text{Pb}_3\text{O}_4$

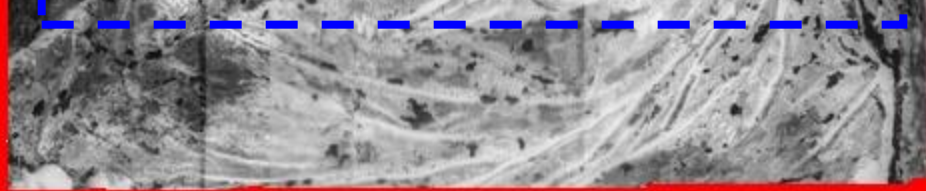
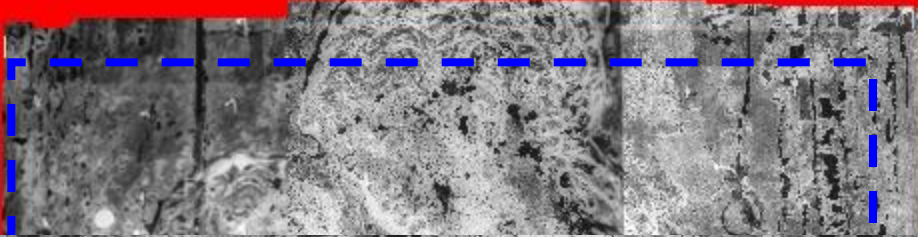


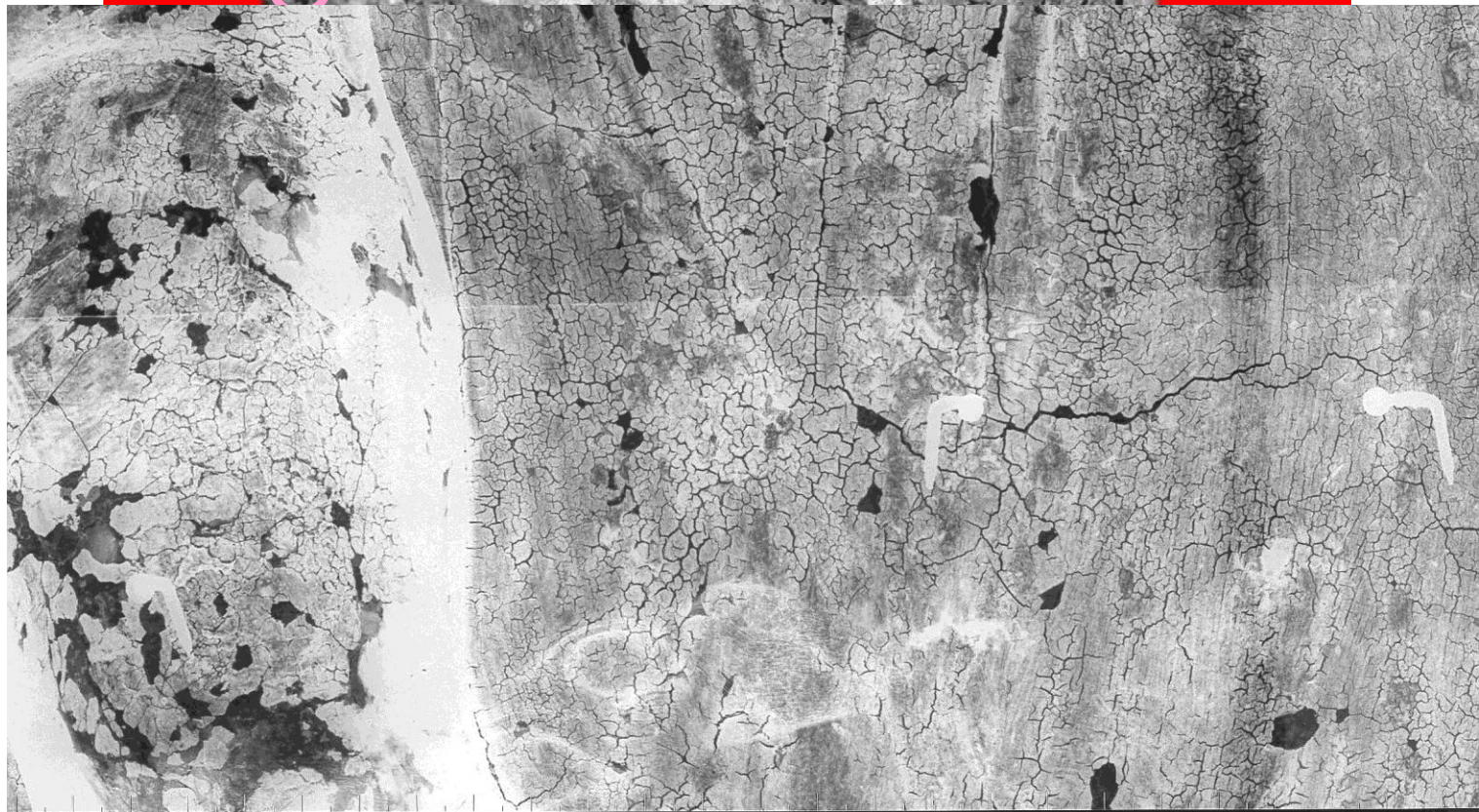
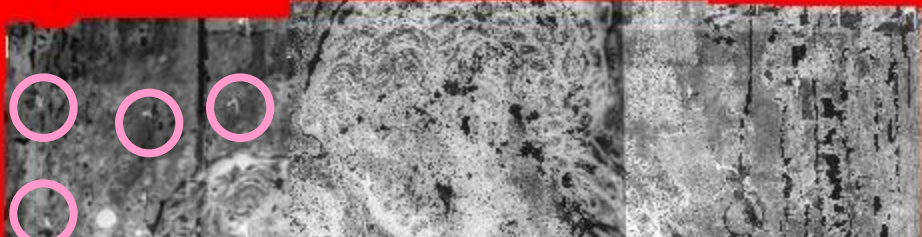
## Pigmenti postumi

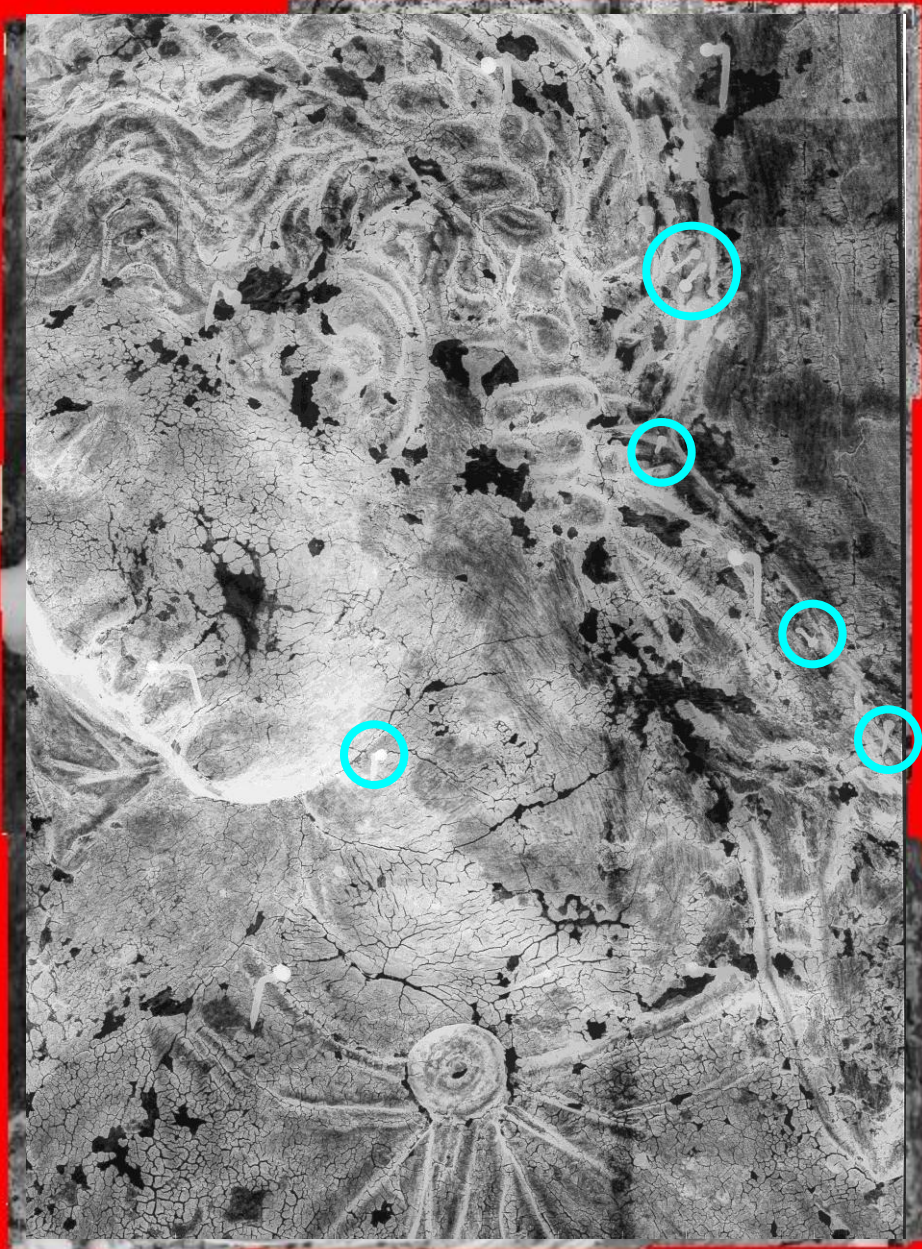
- *bianco di zinco*  $\text{ZnO}$
- *bianco di bario*  $\text{BaSO}_4$
- *blu di manganese*  $\text{BaMnO}_4 + \text{BaSO}_4$
- *blu di Prussia*  $\text{Fe}_4[\text{Fe}(\text{CN})_6]_3$

# Indagini radiografiche





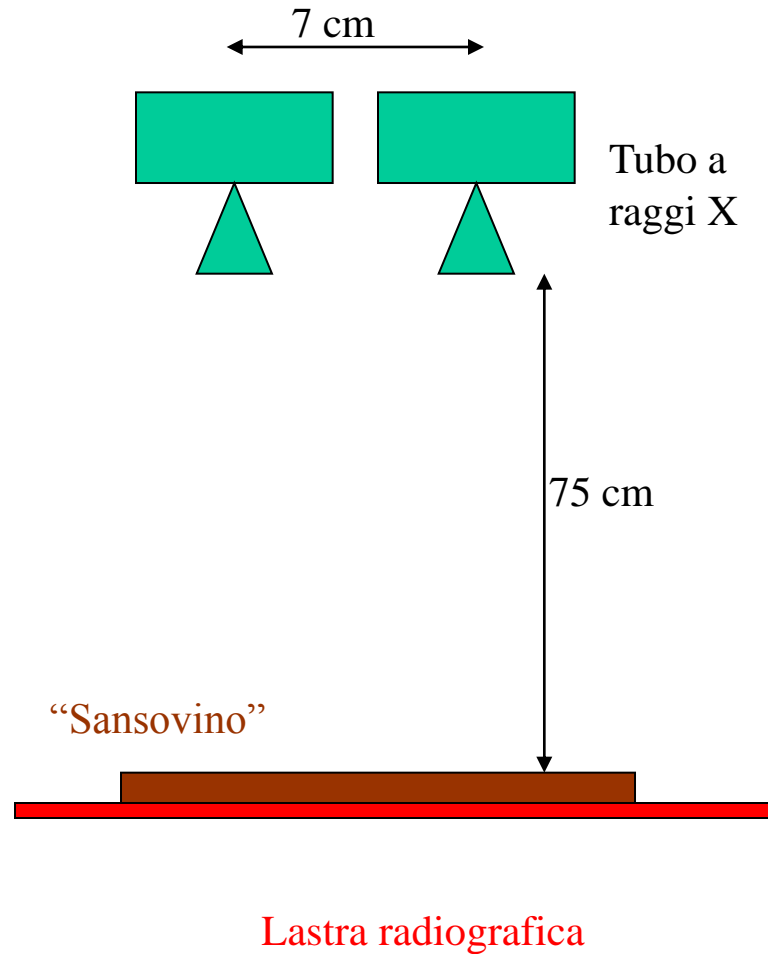
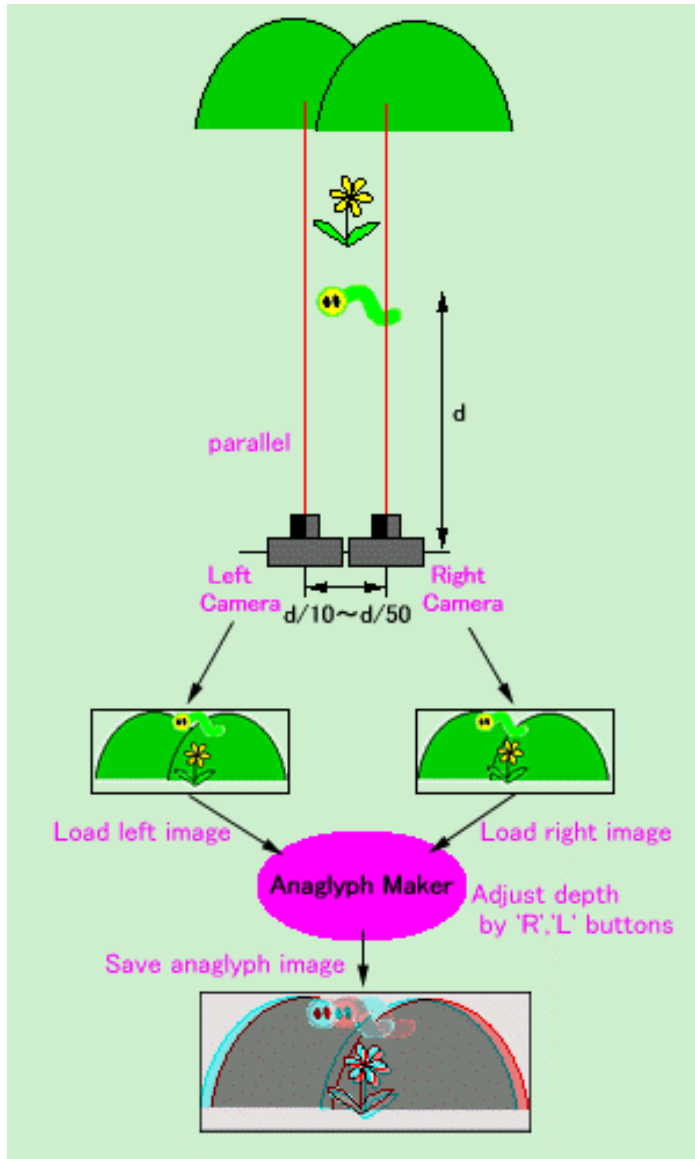


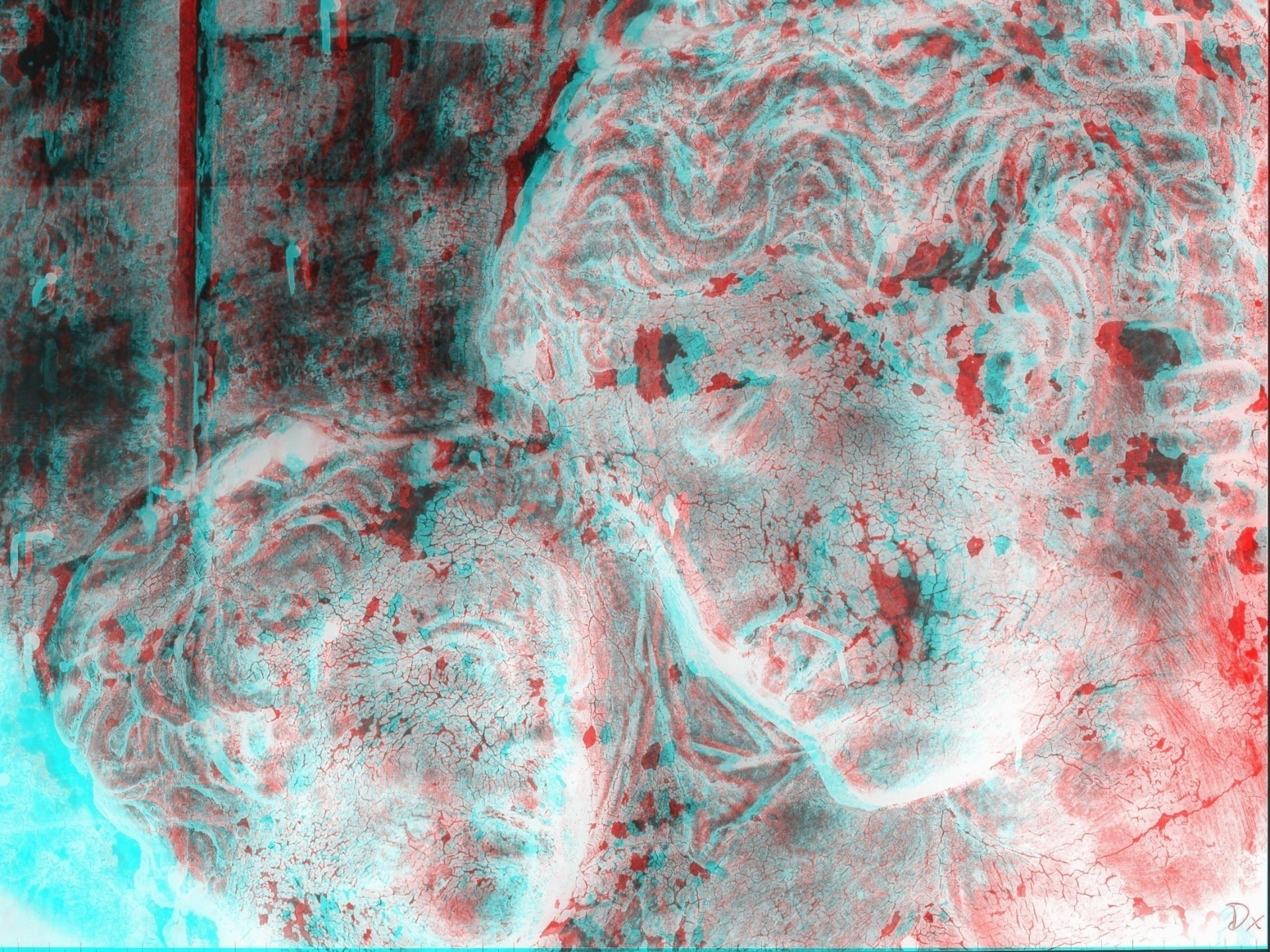


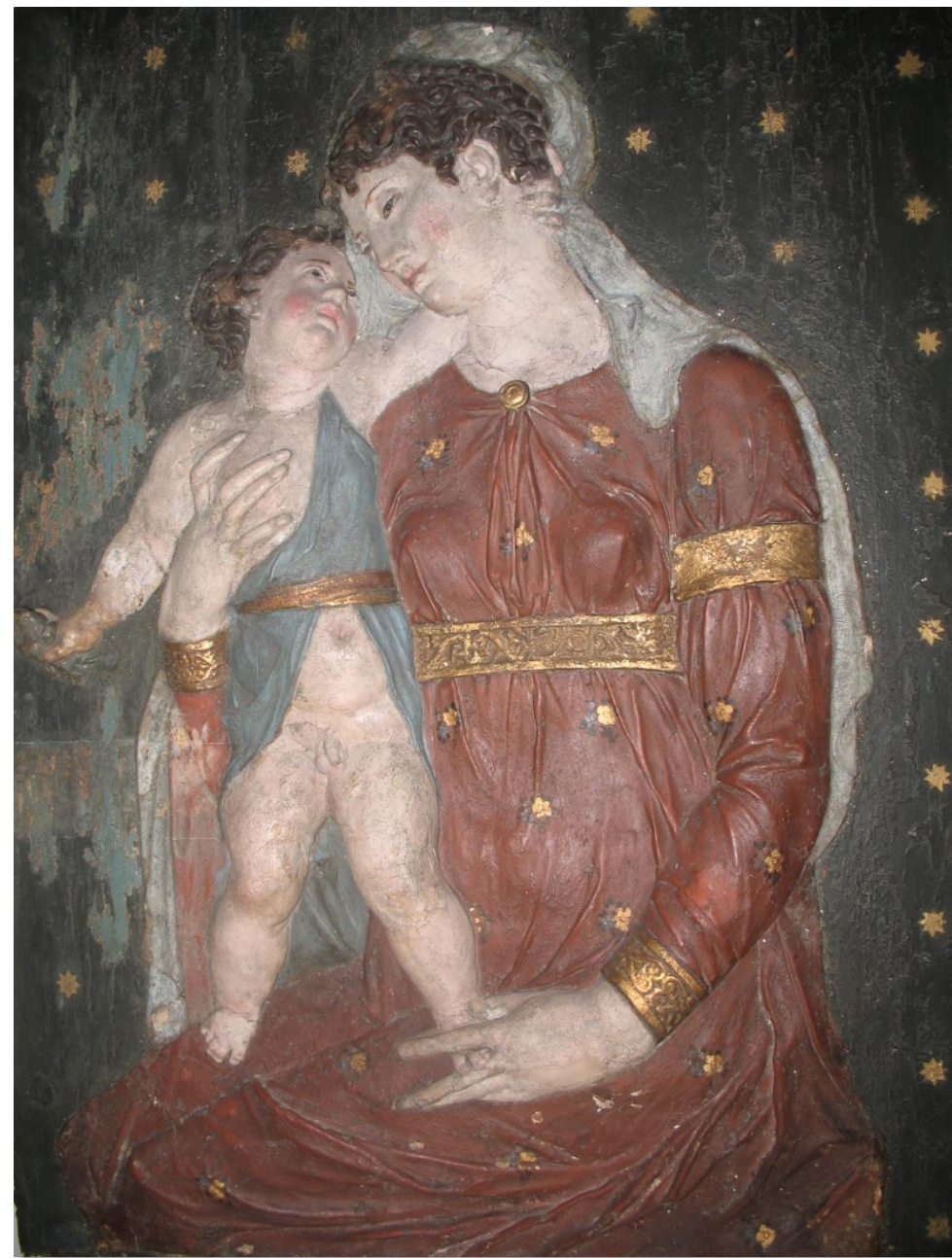


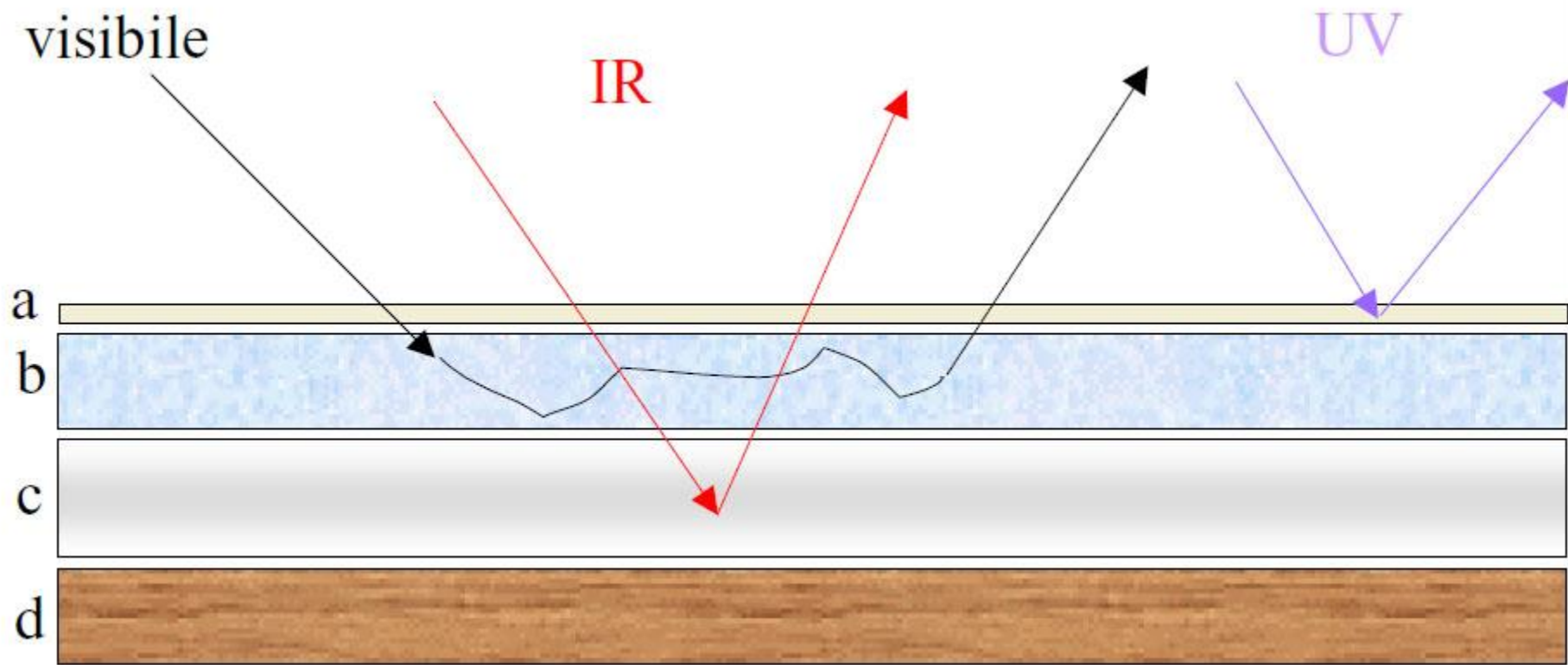


# La realizzazione di immagini radiografiche 3d











*Anonimo*

*Ritratto del Card. Mazarino*

*Olio su tela XVII sec.*

*Restaurato e ridipinto nella  
prima metà del 900*

**Visibile**

**IR**



<b>Elemento</b>	<b>Simbolo</b>	<b>Energia (keV)</b>
Zolfo	S	2.3
Cloro	Cl	2.6
Argon	Ar	2.9
Calcio	Ca	3.7 - 4.0
Titanio	Ti	4.5 - 4.9
Cromo	Cr	5.4 - 6.0
Manganese	Mn	5.9 - 6.5
Ferro	Fe	6.4 - 7.0
Cobalto	Co	6.9 - 7.6
Nichel	Ni	7.5 - 8.3
Rame	Cu	8.0 - 8.9
Zinco	Zn	8.6 - 9.6
Arsenico	As	10.5 - 11.7
Mercurio	Hg	10.0 - 11.8
Piombo	Pb	2.4 - 10.5 - 12.6
Argento	Ag	2.9 - 22.2
Stagno	Sn	3.4 - 3.7 - 25.3
Oro	Au	9.7 - 11.4

**Righe di emissione di  
alcuni elementi**

TABLE A.II. – *Principal K and M X-ray energies (keV) - part 1*

$Z$	Element	$K_{\alpha 1}$	$K_{\alpha 2}$	$K_{\beta 1}$	$K_{\beta 2}$	$K_{ab}$	$M_{\alpha 1}$	$M_{\beta 2}$
11	Na	1.04	–	1.067	–	1.08	–	–
12	Mg	1.25	–	1.29	–	1.30	–	–
13	Al	1.49	1.49	1.55	–	1.56	–	–
14	Si	1.74	1.74	1.83	–	1.84	–	–
15	P	2.01	2.01	2.14	–	2.14	–	–
16	S	2.31	2.31	2.46	–	2.47	–	–
17	Cl	2.62	2.62	2.81	–	2.82	–	–
18	Ar	2.96	2.96	3.19	–	3.20	–	–
19	K	3.31	3.31	3.59	–	3.61	–	–
20	Ca	3.69	3.69	4.01	–	4.04	–	–
21	Sc	4.09	4.09	4.46	–	4.50	–	–
22	Ti	4.51	4.50	4.93	–	4.96	–	–
23	V	4.95	4.94	5.43	–	5.46	–	–
24	Cr	5.41	5.40	5.95	–	5.99	–	–
25	Mn	5.90	5.89	6.49	–	6.54	–	–
26	Fe	6.40	6.39	7.06	–	7.11	–	–
27	Co	6.93	6.91	7.65	–	7.71	–	–
28	Ni	7.48	7.46	8.26	8.33	8.33	–	–
29	Cu	8.05	8.03	8.90	8.98	8.98	–	–
30	Zn	8.64	8.61	9.57	9.66	9.66	–	–
31	Ga	9.25	9.23	10.26	10.36	10.37	–	–
32	Ge	9.88	9.85	10.98	11.10	11.10	–	–
33	As	10.54	10.51	11.72	11.86	11.86	–	–
34	Se	11.22	11.18	12.49	12.65	12.65	–	–
35	Br	11.92	11.88	13.29	13.46	13.47	–	–
36	Kr	12.65	12.60	14.11	14.31	14.32	–	–
37	Rb	13.39	13.34	14.96	15.18	15.20	–	–
38	Sr	14.16	14.10	15.83	16.08	16.11	–	–
39	Y	14.96	14.88	16.74	17.01	17.04	–	–
40	Zr	15.77	15.69	17.67	17.97	18.00	–	–
41	Nb	16.61	16.52	18.62	18.95	18.99	–	–
42	Mo	17.48	17.37	19.61	19.96	20.00	–	–
43	Tc	18.41	18.33	20.58	21.01	21.05	–	–
44	Ru	19.28	19.15	21.65	22.07	22.12	–	–
45	Rh	20.21	20.07	22.72	23.17	23.22	–	–
46	Pd	21.17	21.02	23.82	24.30	24.35	–	–
47	Ag	22.16	21.99	24.94	25.45	25.52	–	–
48	Cd	23.17	22.98	26.09	26.64	26.71	–	–
49	In	24.21	24.00	27.27	27.86	27.93	–	–
50	Sn	25.27	25.04	28.48	29.11	29.19	–	–
51	Sb	26.36	26.11	29.72	30.39	30.49	–	–
52	Te	27.47	27.20	30.99	31.70	31.81	–	–
53	I	28.61	28.31	32.29	33.02	33.16	–	–
54	Xe	29.80	29.48	33.64	34.45	34.58	–	–
55	Cs	30.97	30.62	34.98	35.82	35.96	–	–
56	Ba	32.19	31.81	36.38	37.25	37.41	–	–
57	La	33.44	33.03	37.80	38.73	38.93	–	–

TABLE A.II. - *Principal K and M X-ray energies (keV) - part 2*

$Z$	Element	$K_{\alpha 1}$	$K_{\alpha 2}$	$K_{\beta 1}$	$K_{\beta 2}$	$K_{ab}$	$M_{\alpha 1}$	$M_{\beta 2}$
58	Ce	34.72	34.28	39.25	40.23	40.45	-	-
59	Pr	36.02	35.55	40.75	41.77	42.00	-	-
60	Nd	37.36	36.84	42.27	43.30	43.57	-	-
61	Pm	38.65	38.16	43.94	44.95	45.21	-	-
62	Sm	40.12	39.52	45.40	46.55	46.85	-	-
63	Eu	41.53	40.88	47.03	48.24	48.51	-	-
64	Gd	42.98	42.28	48.72	49.96	50.23	-	-
65	Tb	44.47	43.74	50.39	51.74	52.00	-	-
66	Dy	45.98	45.19	52.18	53.49	53.79	-	-
67	Ho	47.53	46.69	53.93	55.29	55.61	-	-
68	Er	49.10	48.20	55.69	57.09	57.48	-	-
69	Tm	50.73	49.76	57.58	58.97	59.33	-	-
70	Yb	52.36	51.33	59.35	60.96	61.30	1.52	1.57
71	Lu	54.06	52.96	61.28	62.95	63.30	1.58	1.63
72	Hf	55.76	54.58	63.21	64.94	65.31	1.64	1.70
73	Ta	57.52	56.27	65.21	67.00	67.40	1.71	1.77
74	W	59.31	57.97	67.23	69.09	69.51	1.77	1.83
75	Re	61.13	59.71	69.30	71.22	71.66	1.84	1.91
76	Os	62.99	61.48	71.40	73.39	73.86	1.91	1.98
77	Ir	64.89	63.28	73.55	75.60	76.10	1.98	2.05
78	Pt	66.82	65.11	75.74	77.87	78.38	2.05	2.13
79	Au	68.79	66.98	77.97	80.16	80.71	2.12	2.20
80	Hg	70.82	68.89	80.26	82.53	83.11	2.19	2.28
81	Tl	72.86	70.82	82.56	84.90	85.52	2.27	2.36
82	Pb	74.96	72.79	84.92	87.34	88.00	2.35	2.44
83	Bi	77.10	74.80	87.33	89.83	90.52	2.42	2.53
92	U	98.43	94.65	111.29	114.55	115.59	3.17	3.34
95	Am	106.35	101.93	120.16	123.71	124.89	3.50	3.71
98	Cf	114.75	109.60	129.54	133.38	134.68	3.89	4.10

TABLE A.III. - *Principal L X-ray energies (keV) - part 1*

$Z$	Element	$L_{\alpha 1}$	$L_{\alpha 2}$	$L_{\beta 1}$	$L_{\beta 2}$	$L_{\beta 3}$	$L_{\gamma 1}$	$L_{\gamma 3}$	$L_t$	$L_\eta$
37	Rb	1.69	1.69	1.75	-	1.83	1.86	-	1.48	1.54
38	Sr	1.81	1.80	1.87	-	1.95	2.00	-	1.58	1.65
39	Y	1.92	1.92	1.99	-	2.07	2.15	-	1.68	1.76
40	Zr	2.04	2.04	2.12	2.22	2.20	2.30	-	1.79	1.88
41	Nb	2.17	2.16	2.26	2.37	2.33	2.46	-	1.90	2.00
42	Mo	2.29	2.29	2.39	2.52	2.47	2.62	-	2.01	2.12

TABLE A.III. – *Principal L X-ray energies (keV) - part 2*

Z	Element	$L_{\alpha 1}$	$L_{\alpha 2}$	$L_{\beta 1}$	$L_{\beta 2}$	$L_{\beta 3}$	$L_{\gamma 1}$	$L_{\gamma 3}$	$L_I$	$L_{\eta}$
43	Tc	2.42	2.42	2.54	2.67	2.62	2.79	–	2.13	2.25
44	Ru	2.56	2.55	2.68	2.83	2.76	2.96	–	2.25	2.38
45	Rh	2.70	2.69	2.83	3.00	2.91	3.14	–	2.38	2.52
46	Pd	2.84	2.83	2.99	3.17	3.07	3.33	–	2.50	2.66
47	Ag	2.98	2.98	3.15	3.35	3.23	3.52	3.75	2.63	2.81
48	Cd	3.13	3.13	3.32	3.53	3.40	3.72	3.75	2.77	2.96
49	In	3.29	3.28	3.49	3.71	3.57	3.92	4.16	2.90	3.11
50	Sn	3.44	3.43	3.66	3.90	3.75	4.13	4.38	3.04	3.27
51	Sb	3.60	3.59	3.84	4.10	3.93	4.35	4.60	3.19	3.44
52	Te	3.77	3.76	4.03	4.30	4.12	4.57	4.83	3.36	3.60
53	I	3.94	3.92	4.22	4.51	4.31	4.80	5.06	3.48	3.78
54	Xe	4.11	4.10	4.42	4.72	4.51	5.04	5.30	3.64	3.96
55	Cs	4.29	4.27	4.62	4.93	4.72	5.28	5.55	3.79	4.14
56	Ba	4.46	4.45	4.83	5.16	4.93	5.53	5.81	3.95	4.33
57	La	4.65	4.63	5.04	5.38	5.14	5.79	6.07	4.12	4.52
58	Ce	4.84	4.82	5.26	5.61	5.36	6.05	6.34	4.29	4.73
59	Pr	5.03	5.01	5.49	5.85	5.59	6.32	6.61	4.45	4.93
60	Nd	5.23	5.21	5.72	5.09	5.83	6.60	6.90	4.63	5.14
61	Pm	5.43	5.41	5.96	6.34	6.07	6.89	7.19	4.81	5.36
62	Sm	5.63	5.61	6.20	6.59	6.32	7.18	7.48	4.99	5.59
63	Eu	5.84	5.82	6.45	6.84	6.57	7.48	7.79	5.18	5.82
64	Gd	6.06	6.02	6.71	7.10	6.83	7.78	8.10	5.36	6.05
65	Tb	6.27	6.24	6.98	7.36	7.09	8.10	8.42	5.55	6.28
66	Dy	6.49	6.46	7.25	7.63	7.37	8.42	8.75	5.74	6.53
67	Ho	6.72	6.68	7.52	7.91	7.65	8.75	9.09	5.94	6.79
68	Er	6.95	6.90	7.81	8.19	7.94	9.09	9.43	6.15	7.06
69	Tm	7.18	7.13	8.10	8.47	8.23	9.42	9.79	6.34	7.31
70	Yb	7.41	7.37	8.40	8.76	8.53	9.78	10.14	6.54	7.58
71	Lu	7.65	7.60	8.71	9.05	8.84	10.14	10.51	6.75	7.86
72	Hf	7.90	7.84	9.02	9.35	9.16	10.51	10.89	6.96	8.14
73	Ta	8.14	8.09	9.34	9.65	9.49	10.89	11.28	7.17	8.43
74	W	8.40	8.33	9.67	9.96	9.83	11.23	11.53	7.40	8.73
75	Re	8.65	8.58	10.01	10.27	10.16	11.68	12.08	7.60	9.03
76	Os	8.91	8.84	10.35	10.60	10.51	12.09	12.50	7.82	9.33
77	Ir	9.17	9.10	10.71	10.92	10.87	12.51	12.92	8.04	9.65
78	Pt	9.44	9.36	11.07	11.25	11.23	12.94	13.36	8.27	9.97
79	Au	9.71	9.63	11.44	11.58	11.61	13.38	13.81	8.49	10.31
80	Hg	9.99	9.90	11.82	11.92	11.99	13.83	14.26	8.72	10.65
81	Tl	10.27	10.17	12.21	12.27	12.39	14.29	14.73	8.95	10.99
82	Pb	10.55	10.45	12.61	12.62	12.79	14.76	15.21	9.18	11.35
83	Bi	10.84	10.73	13.02	12.98	13.21	15.24	15.71	9.42	11.71
92	U	13.61	13.44	17.22	16.42	17.45	20.16	20.71	11.62	15.40
95	Am	14.62	14.41	18.85	17.68	19.11	22.07	22.64	12.38	16.82
98	Cf	15.66	15.42	20.62	18.98	20.90	24.19	24.73	13.15	18.35